

TÓPICOS DE DINÂMICA NÃO-LINEAR

Celso P. Pescce

1996

TÓPICOS DE DINÂMICA NÃO-LINEAR

I. ASPECTOS TOPOLOGICOS

1. Trajetórias de fase

O teorema de estabilidade de Liapunov permite, na maioria das vezes, estabelecer critérios de estabilidade para sistemas não-lineares e permitir a sua associação linearizados, estudando seu comportamento na vizinhança de seus pontos singulares.

Considere o sistema linear:

$$\dot{x} = ax + bx + c \quad (1)$$

com solução

$$x = f(t, x_0, y_0) \quad (2)$$

$$y = \dot{x} = g(t, x_0, y_0)$$

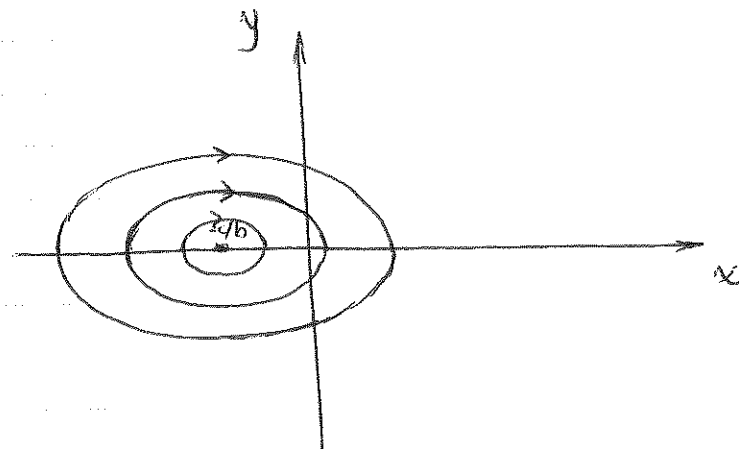
Eliminando a variável t de (2) escrevemos

$$F(x, y, x_0, y_0) = 0 \quad (3)$$

que representa uma curva no plano (x, y) :

PLANO DE FASE.

As coordenadas do PLANO DE FASE são a posição e a velocidade do sistema. A equação (3) define as curvas integrais ou trajetórias do sistema.



VELOCIDADE DE PASE : $\dot{u} = \dot{x}_f + \dot{y}_f = \dot{x}_i + \dot{y}_j \quad (4)$

VELOCIDADE DE FASE NULA \Leftrightarrow PONTO FIXO, OU CRÍTICO, OU DE EQUILÍBRIO

Em geral

$$\dot{x} = X(x, y) \quad (5)$$

$$\dot{y} = Y(x, y)$$

(sistemas dinâmicos autônomos a um grau de liberdade)

Amin:

$$\frac{dy}{dx} = \frac{Y(x, y)}{X(x, y)} = G(x, y) \quad (6)$$

que define a tangente (inclinação) da trajetória de fase por (x, y) .

Fornecendo umas de trajetórias de fase, independentemente do tempo.

MÉTODOS NUMÉRICOS: \rightarrow (6)

MÉTODOS ANALÍTICOS: \rightarrow (5)

Ponto Singular:

$$(x_0, y_0) : X(x_0, y_0) = Y(x_0, y_0) = 0 \quad (?)$$

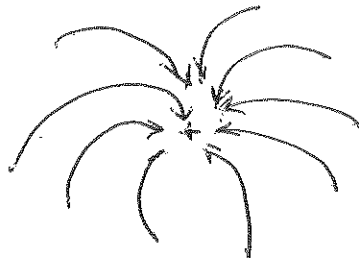
Ponto Ordinário: $\forall (x, y) : X(x, y) \neq 0 \text{ ou } Y(x, y) \neq 0$

$G(x, y)$ se (x_0, y_0) é singular e, obviamente,
indeterminada.

Teo. de Cauchy: \exists I unica solução correspondente a um par (x_0, y_0) de c.i.
nas infinitas das quais $X(x, y) \neq Y(x, y)$ são analíticas.

i.e. "um ponto singular é isolado",
i.e., nenhuma outra trajetória passa por
um ponto singular.

Uma trajetória pode, no máximo, tender
a um ponto singular, levando um tempo
infinito para atingi-lo.



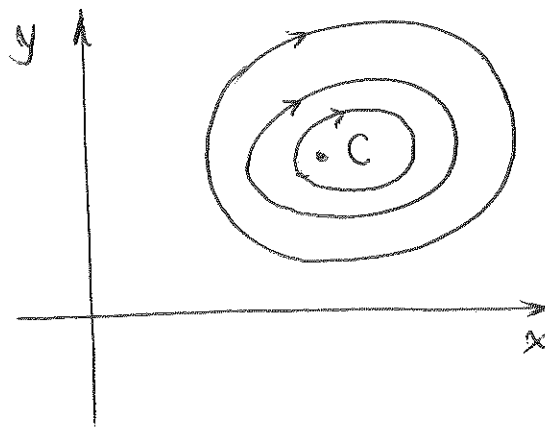
Um P.S. é uma trajetória degenerada.

As demais trajetórias, constituídas por
pontos ordinários, são ditas projetos.

2. Clasificación de Puntos Singulares

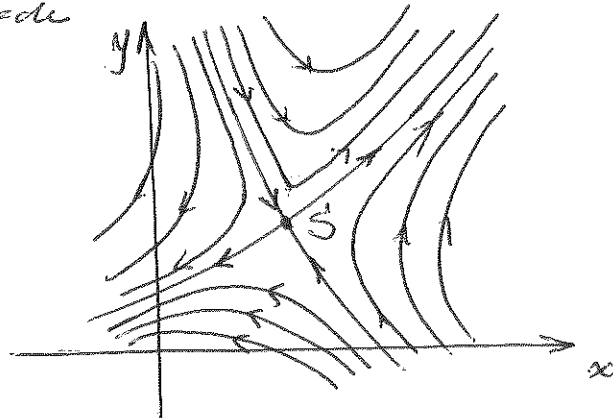
(i) Centro . (C)

- (a) las trayectorias en su vecindad son fechadas e inducen a singularidad.
- (b) existe un conjunto continuo de trayectorias en una vecindad de un centro.



(ii) Punto de Silla (S) (*)

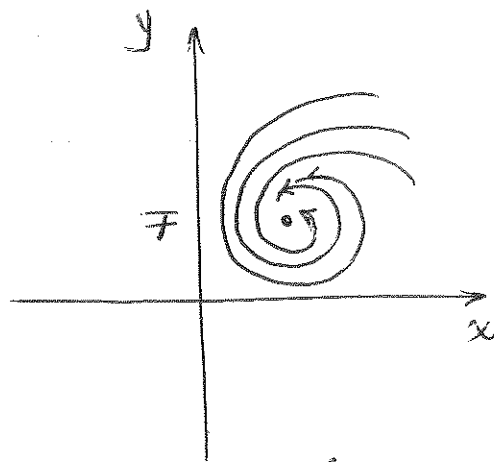
- (a) existen dos separatrices que parten (emergen) del punto singular.
- (b) las trayectorias definidas por separatrices constan conjuntos continuos de trayectorias en vecindad de singularidad.



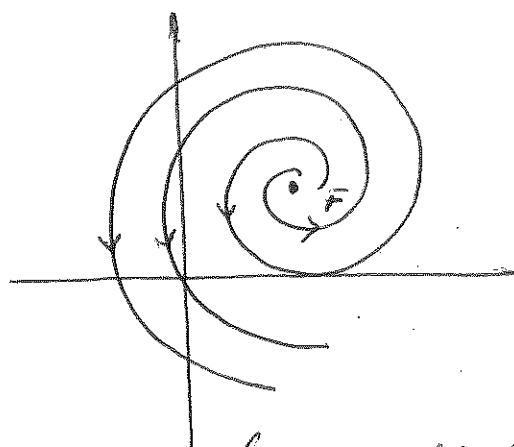
(*) "saddle point" o punto "hiperbólico"

(iii) Foco (F)

- (a) um conjunto contínuo de trajetórias tende a um foco em uma direção limitada.
- (b) deslocar os focos crea um clausurado toroidalmente.



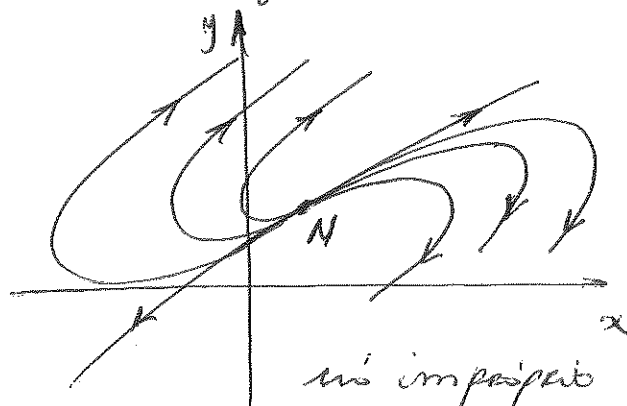
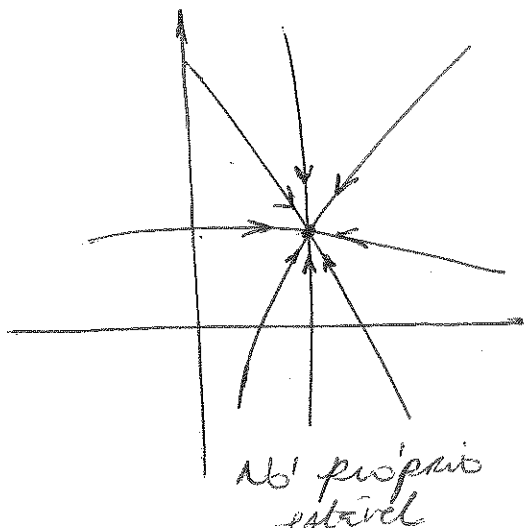
foco estavel



foco instavel.

(iv) Nós ou Nodos (N)

- (a) cada trajetória tende ao nô segundo uma direção bem definida que pode, eventualmente, ser unica para todos os trajetórios.
- (b) nô proprias : dado uma direção qualquer existe uma trajetória que tende ao nô com aquela direção

nô improprio
instávelnô proprio
estável

Exemplo : sistema linear

$$\dot{x} = ax + by$$

$$\dot{y} = cx + dy$$

$$D = ad - bc \neq 0$$

$$\text{P.S.} \rightarrow (x, y) = (0, 0)$$

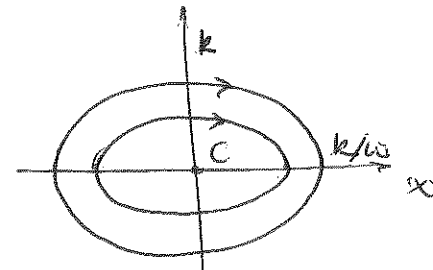
$$\frac{dy}{dx} = \frac{cx + dy}{ax + by}$$

(i) $\dot{x} = y$ (orbitas lineares)
 $\dot{y} = -\omega^2 x$, $\omega^2 > 0$ (uma sinuskade)

$(x, y) = (0, 0)$ é centro :

$$\frac{dy}{dx} = -\frac{\omega^2 x}{y}$$

$$y dy = -\omega^2 x dx$$



$y^2 + \omega^2 x^2 = k^2$: elipse de centro na origem

ou $\frac{y^2}{\omega^2 k^2} + x^2 = 1$: $(\text{semi-eixo})^2 = k^2 \cdot k^2/\omega^2$

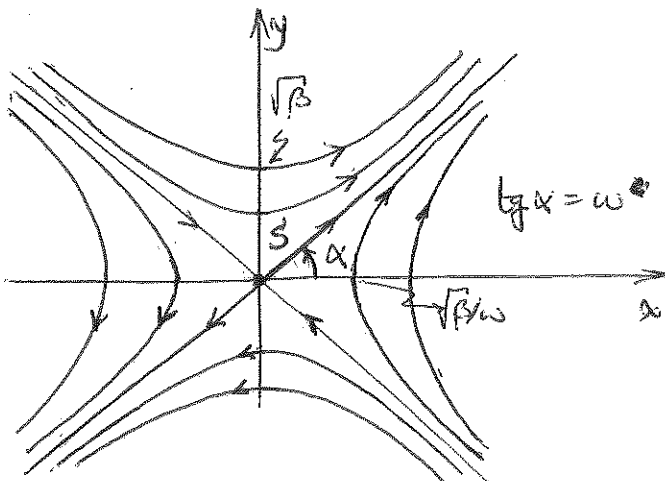
(ii) $\dot{x} = y$
 $\dot{y} = \omega^2 x$, $\omega^2 > 0$

$(x, y) = (0, 0)$ é ponto de sela

$$\frac{dy}{dx} = \frac{\omega^2 x}{y} = G(x, y) = \frac{Y(x, y)}{X(x, y)}$$

$$y^2/2 = \omega^2 x^2/2 + C \rightarrow y^2/2 - \omega^2 x^2/2 = C \rightarrow \frac{y^2}{\beta} - \frac{x^2}{\beta/\omega^2} = 1$$

$$\frac{y^2}{\beta} - \frac{x^2}{\beta/\omega^2} = 1 \quad \text{hyperbolae}$$



$$x \rightarrow 0 \Rightarrow \frac{dy}{dx} \rightarrow 0 \\ y \neq 0 \quad \frac{dy}{dx}$$

$$y^2 \rightarrow \beta \infty; y \rightarrow \pm \sqrt{\beta}$$

$$y \rightarrow 0 \Rightarrow \frac{dy}{dx} \rightarrow \infty \\ x \neq 0$$

1. quadrant: $y \neq 0, x \rightarrow 0^+ : \frac{dy}{dx} \rightarrow 0^+, y \rightarrow +\sqrt{\beta}$

$x \neq 0, y \rightarrow 0^+ : \frac{dy}{dx} \rightarrow +\infty, x \rightarrow \sqrt{\beta}/\omega$

2. quadrant: $y \neq 0, x \rightarrow 0^- : \frac{dy}{dx} \rightarrow 0^-, y \rightarrow -\sqrt{\beta}$

$x \neq 0, y \rightarrow 0^- : \frac{dy}{dx} \rightarrow -\infty, x \rightarrow -\sqrt{\beta}/\omega$

3. quadrant: $y \neq 0, x \rightarrow 0^- : \frac{dy}{dx} \rightarrow 0^+, y \rightarrow -\sqrt{\beta}$

$x \neq 0, y \rightarrow 0^- : \frac{dy}{dx} \rightarrow +\infty, x \rightarrow -\sqrt{\beta}/\omega$

4. quadrant: $y \neq 0, x \rightarrow 0^+ : \frac{dy}{dx} \rightarrow 0^-, y \rightarrow -\sqrt{\beta}$

$x \neq 0, y \rightarrow 0^+ : \frac{dy}{dx} \rightarrow -\infty, x \rightarrow +\sqrt{\beta}/\omega$

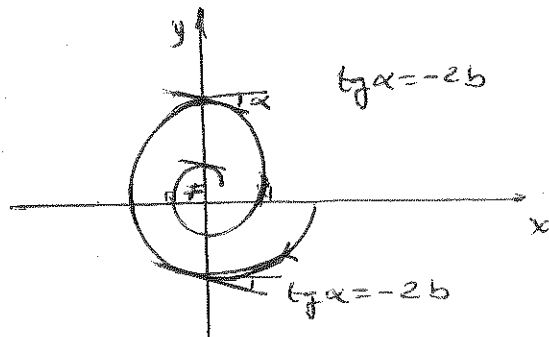
$$\beta \rightarrow 0 \Rightarrow y^2 = \omega^2 x^2 \Rightarrow y \approx \omega x$$

$$(iii) \quad \ddot{x} = y \\ \ddot{y} = -\omega^2 x - 2b y$$

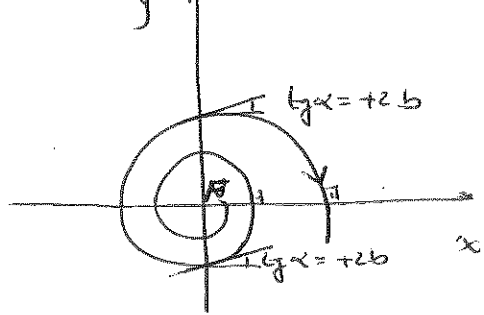
(oscillante Lahnungen entnomm
"ausweichen")

$$\frac{dy}{dx} = -\frac{\omega^2 x + 2b y}{y} = -\frac{\omega^2 x}{y} - 2b$$

(a) $b^2 - \omega^2 < 0$ (solen der durchdringende "ausweichen")



$$b > 0$$



$$(\bar{x}, \bar{y}) = (0,0) \text{ e' FOCO} \quad b < 0$$

1. Quadrant: $(x, y > 0)$

$$x \neq 0, y \rightarrow 0^+$$

$$\frac{dy}{dx} \rightarrow -\infty$$

$$\frac{dy}{dx} \rightarrow -\infty$$

2. Quadrant: $(x < 0, y > 0)$

$$y \neq 0, x \rightarrow 0^-$$

$$\frac{dy}{dx} \rightarrow 0^+ - 2b = -2b < 0$$

$$\frac{dy}{dx} \rightarrow 0^+ - 2b > 0$$

3. Quadrant: $(x < 0, y < 0)$

$$x \neq 0, y \rightarrow 0^-$$

$$\frac{dy}{dx} \rightarrow -\infty$$

$$\frac{dy}{dx} \rightarrow -\infty$$

4. Quadrant: $(x > 0, y < 0)$

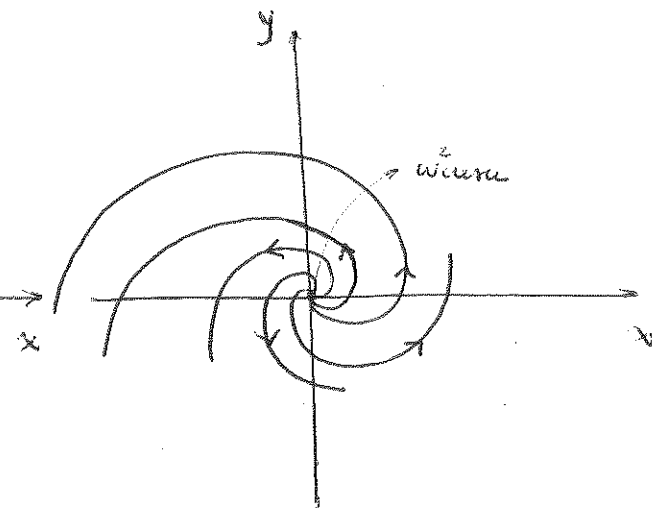
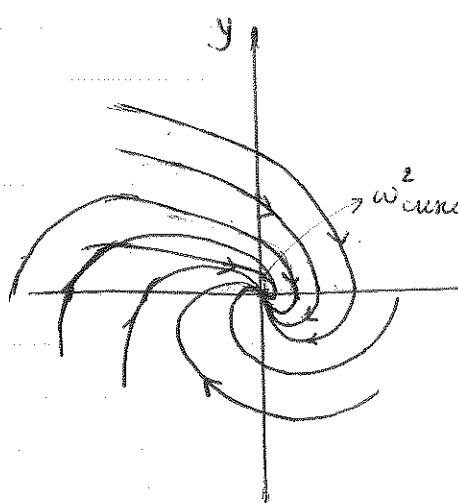
$$y \neq 0, x \rightarrow 0^+$$

$$\frac{dy}{dx} \rightarrow 0^+ - 2b = -2b$$

$$\frac{dy}{dx} \rightarrow 0^+ - 2b > 0$$

(b) $b^2 - \omega^2 > 0$ (soluciones exponenciales)

$(\bar{x}, \bar{y}) = (0, 0)$ e' no'



$$b > 0$$

O: no estable

$$b < 0$$

O: no instable

1º cuadrante $x, y > 0$

$$x \neq 0, y \rightarrow 0^+ \quad \frac{dy}{dx} \rightarrow -\infty^-$$

$$y \neq 0, x \rightarrow 0^+ \quad \frac{dy}{dx} \rightarrow 0^- - 2b < 0$$

$$x \neq 0, y \rightarrow 0^+ \quad \frac{dy}{dx} \rightarrow -\infty^- \quad y \neq 0, x \rightarrow 0^+ \quad \frac{dy}{dx} \rightarrow 0^- - 2b > 0$$

2º cuadrante $x < 0, y > 0$

$$x \neq 0, y \rightarrow 0^+ \quad \frac{dy}{dx} \rightarrow +\infty^+$$

$$y \neq 0, x \rightarrow 0^+ \quad \frac{dy}{dx} \rightarrow 0^+ - 2b < 0$$

$$x \neq 0, y \rightarrow 0^+ \quad \frac{dy}{dx} \rightarrow +\infty^+ \quad y \neq 0, x \rightarrow 0^+ \quad \frac{dy}{dx} \rightarrow 0^+ - 2b > 0$$

3º cuadrante $x < 0, y < 0$

$$x \neq 0, y \rightarrow 0^- \quad \frac{dy}{dx} \rightarrow -\infty^-$$

$$y \neq 0, x \rightarrow 0^- \quad \frac{dy}{dx} \rightarrow 0^- - 2b < 0$$

$$x \neq 0, y \rightarrow 0^- \quad \frac{dy}{dx} \rightarrow -\infty^+ \quad y \neq 0, x \rightarrow 0^- \quad \frac{dy}{dx} \rightarrow 0^- - 2b > 0$$

4º cuadrante $x > 0, y < 0$

$$x \neq 0, y \rightarrow 0^- \quad \frac{dy}{dx} \rightarrow +\infty^-$$

$$y \neq 0, x \rightarrow 0^+ \quad \frac{dy}{dx} \rightarrow 0^+ - 2b < 0$$

$$x \neq 0, y \rightarrow 0^- \quad \frac{dy}{dx} \rightarrow +\infty^+ \quad y \neq 0, x \rightarrow 0^+ \quad \frac{dy}{dx} \rightarrow 0^+ - 2b > 0$$

3. Isoclinas

Em todos os pontos ordenados, a família paramétrica
(em a)

$$G(x,y) = \frac{y(x,y)}{x(x,y)} = \frac{dy}{dx} = a \quad (8)$$

pode ser construída.

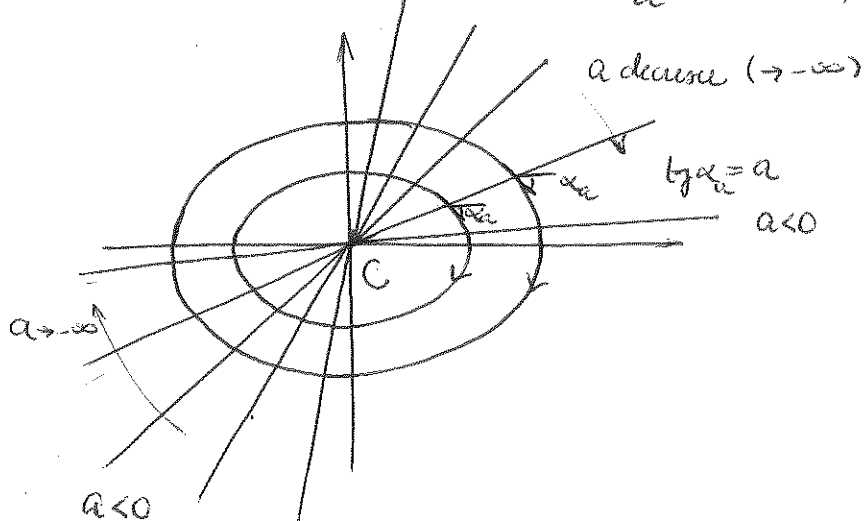
As trajetórias integráveis são curvas com
inclinações constantes igual a a.

Exemplo (3.i) oscilante linear não-autônoma

$$G(x,y) = \frac{dy}{dx} = -\omega^2 \frac{x}{y} = a, \text{ origem: centro}$$

$$\frac{y^2}{\rho^2} + \frac{x^2}{\frac{\rho^2}{\omega^2}} = 1 \quad \text{trajetórias elípticas}$$

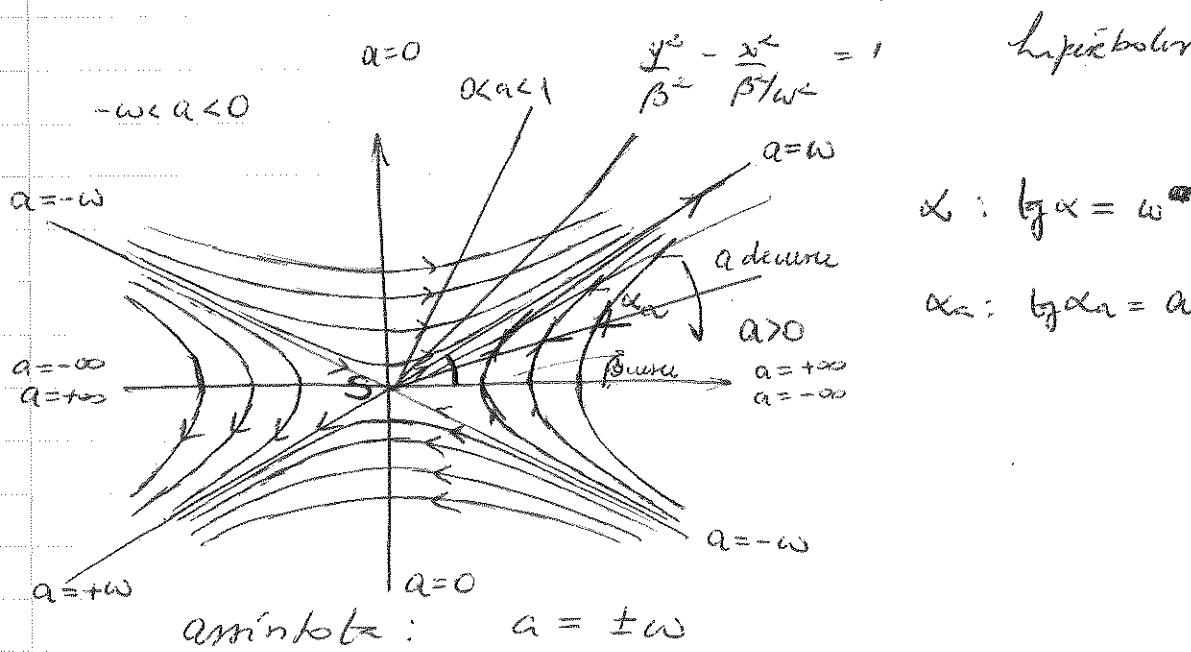
$$G(x,y) = a \Rightarrow y = -\frac{\omega^2}{a} x \quad \text{família de retas}$$



Sugestão: faça os riscos para os exemplos
(ii), (iii)

Example (3.ii)

$$G(u, y) = \frac{dy}{du} = \frac{\omega^2 x}{y} = a \text{ : where } y = \frac{\omega^2}{a} x$$



$$\mathcal{L} : ly = \omega^2 : a = \omega$$

$$\alpha_2 : ly \alpha_2 = a$$

4. Trajetórias de fase de Sistemas Conservativos

Sistemas conservativos à um grau de liberdade:

$$\ddot{x} = f(x) \quad (9)$$

$f(x) \in \mathbb{R}$, analítica

Integral primeira de energia:

$$\dot{x} \ddot{x} = \dot{x} f(x)$$

$$\frac{1}{2} \frac{d(\dot{x}^2)}{dt} = \dot{x} f(x)$$

$$d(\dot{x}^2) = 2 \dot{x} f(x) dt$$

$$d\dot{x}^2 = 2 f(x) dx$$

$$y^2 = 2 \int f(x) dx + E$$

definindo

$$\sqrt{v(x)} = -f(x)$$

tal que $\int f(x) dx = \sqrt{v(x)}$

temos:

$$\frac{1}{2} y^2 + \sqrt{v(x)} = E \quad (10)$$

E' portanto, possivel construir a totalidade das curvas no 'plano de fase'.

E e' um parâmetro (no caso a energia mecânica total do sistema).

A velocidade de fase e' dada por:

$$v^2 = \dot{x}^2 + \dot{y}^2 = x^2 + f^2(x) = y^2/f^2(x)$$

$$v^2 = y^2 + f^2(x) \quad (11)$$

Propriedades:

- (a) as trajetórias interceptam o eixo x em ângulos retos.

de fato, $\frac{dy}{dx} = \frac{dy/dt}{dx/dt} = \frac{\ddot{x}}{\dot{y}} = \frac{f(x)}{y}$

$$\lim_{y \rightarrow 0} \frac{dy}{dx} = \infty$$

(b) as trajetórias de fase tem tangentes horizontais nos pontos de zero da $f(x)$ a menos que, nesses pontos, não abacaxem o eixo x .

de fato: seja \bar{x}_i t.q. $f(\bar{x}_i) = 0$

$$\text{assim } \left. \frac{dy}{dx} \right|_{x_i} = 0, \text{ desde que abacaxe o eixo } x \text{ em } x_i$$

(c) O teorema de Cauchy se aplica em todos os pontos exceto $(x_i, 0)$ para os quais $f'(x_i) = 0$ (ponto que $\frac{dy}{dx}$ não está definido)

(d) Os pontos singulares correspondem aos pontos de equilíbrio e nela a velocidade de fase é nula.

De fato: $f(x) = -V'(x)$ e se

$f(\bar{x}) = 0$ e $y = y_0 = 0$, $\dot{x} = 0 \Rightarrow$ ponto de equilíbrio, para $\dot{y} = 0$ ou seja.

$$v^2 = y^2 + f'(x) = 0 \quad x \in D \text{ se } y = \dot{x} = 0 \text{ e } f(x) = 0$$

portanto $\frac{dy}{dx} = \frac{f(x)}{y}$ e $f(x) = 0$ e $y = 0$

definem os pontos singulares do sistema.

(e) Os movimentos possíveis são restritos à condição

$$E - V(x) \geq 0$$

De fato: de (10):

$$y^2 = 2(E - V(x))$$

que operam forças elásticas maiores que $E - V(x) > 0$.

(f) Nos pontos de equilíbrio $V(x)$ tem um extremo.

A fato: seja $x = \bar{x}_i$ t.p. $f(\bar{x}_i) = 0$

os pontos de equilíbrio localizam-se sempre nos nts $y > 0$ e portanto

$$\mathbf{P}_i = (\bar{x}_i, 0)$$

$$\text{porém } f(x) = -V'(x)$$

e portanto $V'(\bar{x}_i) = 0 \Rightarrow V(x)$ tem ~~um~~ extremos nos pontos de equilíbrio.

Obs: Do ponto de vista da mecânica analítica $\mathcal{L} = T - V$

$$\frac{d}{dt} \frac{\partial \mathcal{L}}{\partial \dot{q}^j} - \frac{\partial \mathcal{L}}{\partial q^j} = 0 \quad (\text{eq. de Euler-Lagrange})$$

$$\text{Se } T = \frac{1}{2} \dot{x}^2 + \frac{1}{2} \dot{y}^2 \quad \text{e} \quad V(x) = -f(x)$$

$$\frac{\partial T}{\partial \dot{y}} = 0 \quad \text{e} \quad \frac{\partial V}{\partial \dot{y}} = 0$$

assim:

$$\frac{\partial \mathcal{L}}{\partial \dot{x}} = \frac{\partial \mathcal{L}}{\partial \dot{y}} = \frac{\partial T}{\partial \dot{y}} \quad \text{e} \quad \frac{\partial \mathcal{L}}{\partial x} = -\frac{\partial V}{\partial x}$$

$$\frac{d}{dt} \left(\frac{\partial T}{\partial \dot{y}} \right) + \frac{\partial V}{\partial x} = 0$$

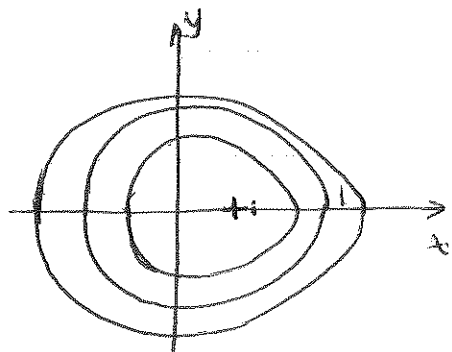
equilíbrio implica em $\frac{\partial V}{\partial x} = -V'(x)$

(g) As trajetórias deixa simétricas em relação ao eixo x .

A fato:

$$y^2 = 2(E - V(x))$$

Logo $y = \pm \sqrt{2(E - V(x))}$



fazendo par em relação a y

Como $\frac{dy}{dx} = \infty$ em $y=0$ entre dependerá

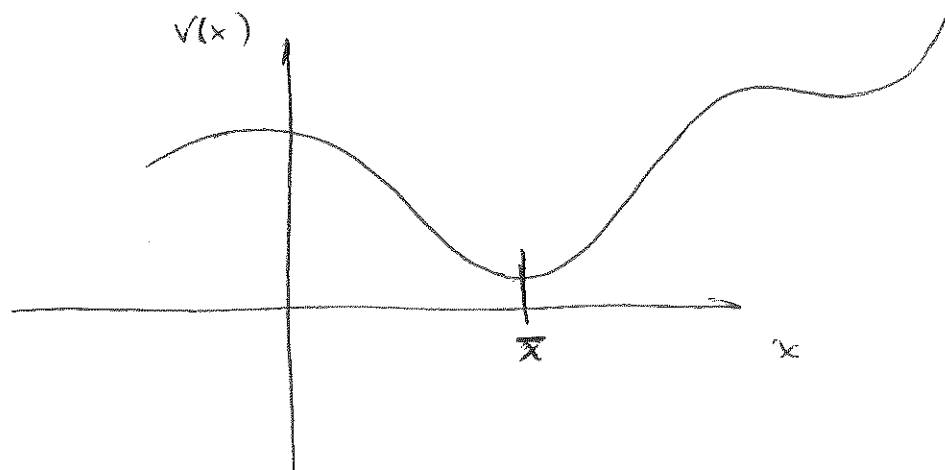
que as trajetórias são necessariamente fechadas.

Além disso é uma consequência imediata da conservação de energia.

(h) Se $V(x)$ tem em $x=\bar{x}$ um mínimo isolado $(\bar{x}, 0)$ é um centro.

A fato: $V'(x)=0 \rightarrow$ implica em equilíbrio

e $V''(x) > 0$ implica em $V(x)$ ter um mínimo isolado.



$$V'(\bar{x}) = 0$$

$$\ddot{x} = f(x) = -V'(x)$$

$$\ddot{x}|_{x=\bar{x}} \leq f(\bar{x}) + f'(\bar{x})(x-\bar{x}) = f(\bar{x}) - V''(\bar{x})(x-\bar{x})$$

$$\therefore \text{localmente } (x \approx \bar{x}) \\ \ddot{x} \approx -V''(\bar{x})(x - \bar{x})$$

$$\begin{array}{lll} \text{Se } x > \bar{x}, & \ddot{x} < 0 \text{ se } V''(\bar{x}) > 0 \\ & \ddot{x} > 0 \text{ se } V''(\bar{x}) < 0 \end{array}$$

Ejemplo 1 : péndulo simple

$$\ddot{\theta} + \frac{g}{l} \sin \theta = 0$$

1^a integral de energía:

$$\dot{\theta} \ddot{\theta} + \frac{1}{2} \frac{g}{l} \sin \theta = 0$$

$$\frac{1}{2} \frac{d(\dot{\theta}^2)}{dt} = -\frac{1}{2} \frac{g}{l} \sin \theta$$

$$\int d\dot{\theta}^2 = -2 \int \frac{g}{l} \sin \theta \frac{d\theta}{dt} dt$$

$$\dot{\theta}^2 = -2 \int \frac{g}{l} \sin \theta d\theta$$

$$\frac{1}{2} \dot{\theta}^2 = E - V(\theta) \quad V(\theta) = \int \frac{g}{l} \sin \theta d\theta = -\frac{g}{l} \cos \theta$$

$$\frac{1}{2} \dot{\theta}^2 = E + \frac{g}{l} \cos \theta$$

$$\text{an } \frac{1}{2} \dot{\theta}^2 = \omega^2 (\cos \theta + 1)$$

$$\text{entonces } \omega^2 = \frac{g}{l} \quad \text{e } \lambda = \frac{E}{\omega^2} = \frac{El}{g}$$

Note: (i) $E - V(\theta) \geq 0 \Rightarrow E \geq -g/l$ caso com horário
 $\dot{\theta}^2 < 0$ (caso horizontal mais)

(ii) Se $-g/l < E < g/l$ as trajetórias são fechadas em torno dos centros:
 $C_i = (2n\pi; 0)$

$$\text{ponto } \dot{\theta}^2 = 2\omega^2 (\cos\theta + 1) \quad |\lambda| < 1$$

e $\dot{\theta} = 0$ para $\theta = \arccos(-1) \Rightarrow$ as trajetórias curvam o eixo θ (pontos em ângulo reto) e são fechadas desde a simetria (confrente (g)) ($2\pi\dot{\theta}$) = $-2\omega^2 \sin\theta$

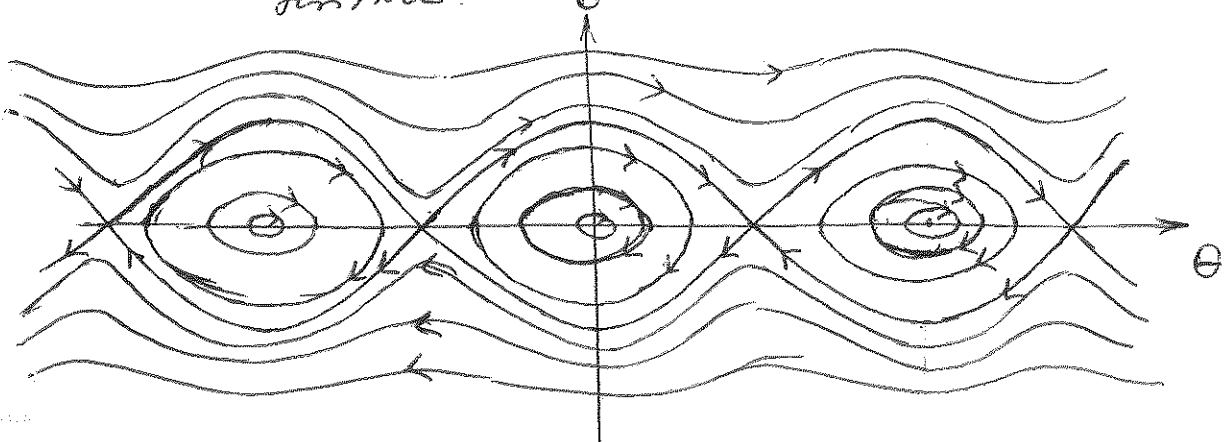
(iii) Se $E = g/l$ ($\lambda = 1$) temos a equação das separatrices:

$$\dot{\theta}^2 = 2\omega^2 (\cos\theta + 1)$$

e temos $\dot{\theta} = 0$ apenas se $\theta = (2n+1)\pi$,
 $n=0, \pm 1, \pm 2, \dots$, pontos de folha (S) = $((2n+1)\pi; 0)$

as trajetórias tendem aos pontos de folha

(iv) Se $E > g/l$ ($\lambda > 1$), mas existe θ para que $\dot{\theta} = 0$. Neste caso o pêndulo faz órfãos continuamente (ponto com velocidade regular que volta em torno de uma órbita) em um ou outros sentidos.



Retornando à análise mais geral do problema de sistemas conservativos com um grande de liberdade, verificamos que, se

$$y^2 = \lambda [E - V(x)] \quad , \quad E - V(x) > 0$$

então $\frac{dx}{dt} = \dot{x} = y = \pm \sqrt{2(E-V(x))}$ (12)

que implica em

$$dt = \pm \frac{dx}{\sqrt{2(E-V(x))}}$$

ou seja

$$t = \pm \int_{x_0}^x \frac{dx}{\sqrt{2(E-V(x))}} + t_0 \quad (13)$$

(em geral $t_0 = 0$, sem perda de generalidade)

Voltando os problemas de finitos, no entanto, no caso $|\lambda| < 1$ vemos imediatamente que se $\dot{\theta} = 0 \Rightarrow$

$$\cos \theta_0 = -\lambda \Rightarrow \theta_0 = \pm \arccos(-\lambda) = \mp \arcs(\lambda)$$

$|\theta_0| = \arcs(\lambda)$ é portanto a amplitude de variação do ângulo.

O período de variação pode ser escrito então,

$$T = 4 \int_0^{\theta_0} \frac{d\theta}{\sqrt{2(E-V(\theta))}} = 4 \int_0^{\theta_0} \frac{d\theta}{\sqrt{2(E+\frac{1}{2}\lambda \cos \theta)}}$$

ou seja

$$T = 4 \int_0^{\theta_0} \frac{d\theta}{\sqrt{2g(\lambda + \omega\theta)}} = \frac{4}{\sqrt{2}} \sqrt{\frac{L}{g}} \int_0^{\theta_0} \frac{d\theta}{\sqrt{L(\lambda + \omega\theta)}}$$

mas $\lambda = -\omega\theta_0$ logo

$$T = \frac{4}{\sqrt{2}} \sqrt{\frac{L}{g}} \int_0^{\theta_0} \frac{d\theta}{\sqrt{\omega\theta - \omega\theta_0}}, \text{ Leibniz}$$

onde que $T_L = 2\pi\sqrt{\frac{L}{g}}$ é o período natural do pendulo-linear.

$$T = \frac{2}{\pi} \frac{T_L}{\sqrt{2}} \int_0^{\theta_0} \frac{d\theta}{\sqrt{\omega\theta - \omega\theta_0}}$$

mas fazendo $\sin \frac{\theta}{2} = \sin \frac{\theta_0}{2} \cdot \operatorname{sen} \beta$

temos

$$T = \frac{2}{\pi} \frac{T_L}{\sqrt{2}} \int_0^{\pi/2} \frac{d\beta}{\sqrt{1 - \kappa^2 \sin^2 \frac{\theta_0}{2} \sin^2 \beta}} \quad (*) \quad \text{faz } \kappa \text{ constante}$$

integral eliptica completa de 1ª espécie.

É notável, como se observa, que T aumenta à medida que θ_0 aumenta.

(*) \rightarrow

Exemplo 2 : oscilador cúbico

$$\ddot{x} = f(x) = -(\alpha x + \beta x^3), \quad \alpha > 0$$

Com $y = \dot{x}$ é integral primeira de energia fixa:

$$y^2 = 2(E - V(x))$$

$$\text{onde } V(x) = -f(x) = -(\alpha x + \beta x^3)$$

ou seja

$$V(x) = -\frac{\alpha}{2}x^2 - \frac{\beta}{4}x^4$$

$$y^2 = 2(E - \frac{\alpha}{2}x^2 - \frac{\beta}{4}x^4) = 2E - \frac{\alpha}{2}x^2 - \frac{\beta}{2}x^4$$

Fazendo $\dot{x} = y = 0$, $x = a$

$$\frac{\beta}{2}a^4 + \alpha a^2 - 2E = 0$$

$$a^2 = -\frac{\alpha \pm \sqrt{\alpha^2 + 4\beta E}}{\beta} \quad (\text{apenas } +)$$

é a frequência da oscilação e amplitude do deslocamento, obviamente restrita ao caso em que

$$\alpha^2 + 4\beta E > 0$$

$$\text{i.e. } 4\beta E > -\alpha^2 \Rightarrow -4\beta E < \alpha^2 \Rightarrow -\beta < \frac{\alpha^2}{4E} (\star)$$

Se $\beta > 0$: "hard spring"

$\beta < 0$: "soft spring"

(i) Se $\beta > 0$: condiz. (*) sempre soddisfatta

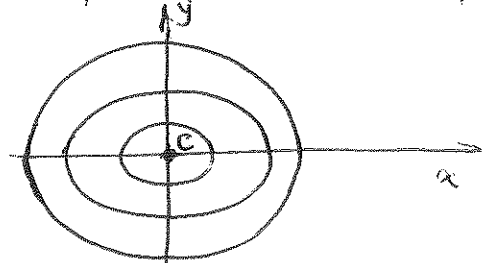
(ii) Se $\beta < 0$: condiz. (**) soddisfatta se

$|\beta| < \alpha^2/4E$, con controvalori nel luogo
geometrico delle soluzioni.

$$(i) \beta > 0 \quad f(x) = 0 \Rightarrow \bar{x} = 0 \quad \text{su} \quad \beta x^2 + \alpha = 0 \Rightarrow \bar{x} = \pm i\sqrt{\frac{\alpha}{\beta}}$$

$\bar{x} = 0$: c' è unica (C)

$$\frac{dy}{dx} = -\frac{\alpha x + \beta x^3}{y}$$



notare che la tangente c' è superiore infinita su $y=0$.

$$(ii) \beta < 0 \quad \therefore f \text{ parabola} \quad -\beta = p^2 :$$

$$\therefore y^2 = 2E - \alpha x^2 + \frac{p^2}{2} x^4 \quad \text{su}$$

$$y^2 + \alpha x^2 - \frac{p^2}{2} x^4 = 2E$$

Se $|\beta| = p^2 = \frac{\alpha^2}{4E}$: seghettate

$$y_s^2 + \alpha x^2 - \frac{\alpha^2}{4E} \frac{x^4}{2} = 2E_s$$

$$y_s^2 + \alpha \left(x^2 - \frac{\alpha}{2E_s} x^4 \right) = 2E_s$$

$$\text{punti di soluz.} \quad \bar{x} = \pm \sqrt{\frac{\alpha}{\beta}} = \pm \sqrt{\frac{4E_s}{\alpha^2}} = \pm 2\sqrt{\frac{E_s}{\alpha}}$$

$$E_s = -\frac{1}{2} \frac{\alpha^2}{4\beta}$$

$$E_s = \frac{1}{4} \frac{\alpha^2}{\beta^2}$$

Mas logo $y_s = 0$, $x = x_s = \bar{x} = \pm 2\sqrt{\frac{E}{\alpha}}$

$$\alpha (x^2 - \frac{\alpha}{8E} \bar{x}^4) = 2E_s$$

$$\alpha \left(4 \frac{E_s}{\alpha} - \frac{16}{8E} \frac{E_s^2}{\alpha^2} \right) = 2E_s$$

$$\alpha \left(4 \frac{E_s}{\alpha} - 2 \frac{E_s}{\alpha} \right) = 2E_s$$

$$2E_s = 2E_s \quad \text{e isto' significa!}$$

Se fizermos $x_0 = 0$ em y_s calculemos

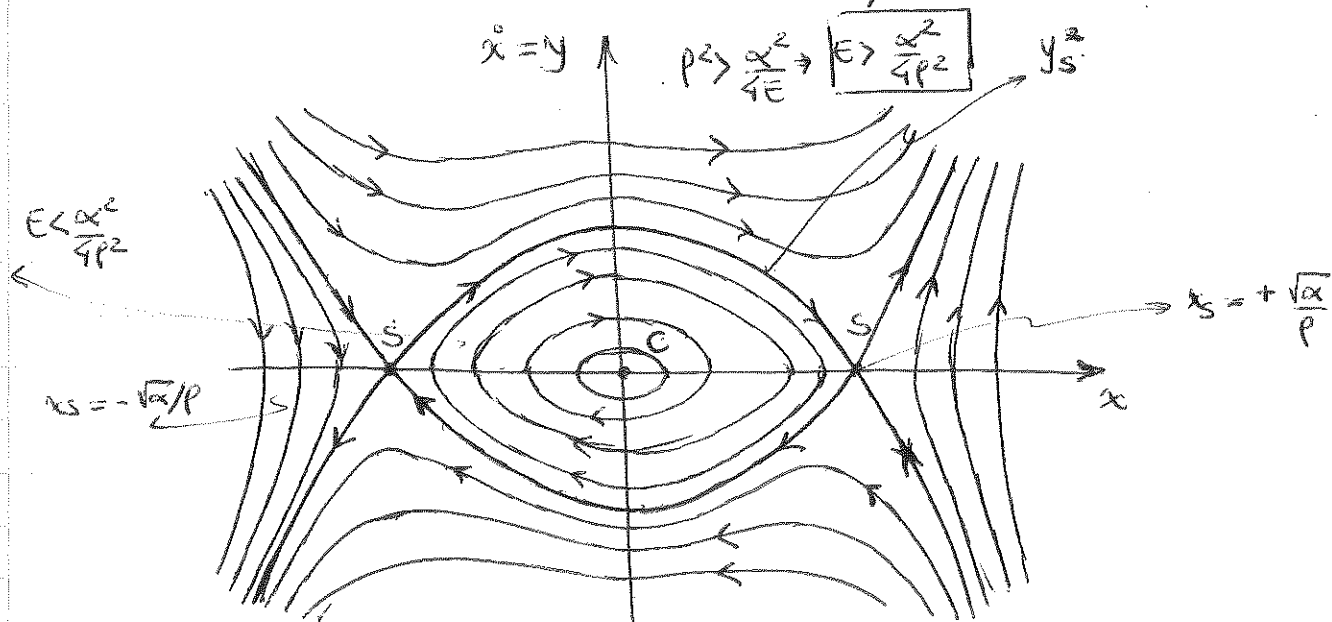
$$y_s^2 = 2E_{s0}$$

$$y_{s0}^2 = \dot{x}_{s0}^2 = 2 \frac{1}{2} \frac{\alpha^2}{4P^2} = \frac{\alpha^2}{2P^2}$$

logo

$$y_{s0} = \dot{x}_{s0} = \frac{1}{\sqrt{2}} \frac{\alpha}{P}$$

e' a "velocidade de escape".



A equação de energia fica portanto da seguinte forma

$$y_s^2 = 2E_s - \alpha \left(x^2 - \frac{\alpha x^4}{8E_s} \right)$$

$$y_s^2 = \frac{1}{2} \frac{\alpha^2}{p^2} - \alpha \left(x^2 - \frac{\alpha x^4}{\frac{8\alpha^2}{4} p^2} \right)$$

$$y_s^2 = \frac{1}{2} \frac{\alpha^2}{p^2} - \alpha \left(x^2 - \frac{p^2}{\alpha^2} \frac{\alpha x^4}{2} \right)$$

$$\boxed{y_s^2 = -\alpha x^2 + \frac{p^2 x^4}{2} - \frac{1}{2} \frac{\alpha^2}{p^2}}$$

O período de oscilação para uma vez fica

$$T = 4 \int_0^a \frac{dx}{\sqrt{2(E - V(x))}} = 4 \int_0^a \frac{dx}{\sqrt{2(E - \alpha x^2 - \frac{\beta x^4}{2})}}$$

$$= 4 \int_0^a \frac{dx}{\sqrt{2E - \alpha x^2 - \frac{\beta x^4}{2}}}$$

mas como α^2 é razão de $2E - (\alpha x^2 + \beta x^4) = 0$, podemos escrever:

$$2E - (\alpha x^2 + \beta x^4) = \frac{\beta}{2} (a^2 - x^2)(b^2 + x^2)$$

com

$$\frac{\beta}{2} (-b^2 + a^2) = -\alpha \quad \text{ou} \quad \beta b^2 = \beta a^2 + 2\alpha$$

tomando agora $a = a \cos \theta$

$$2E - (\alpha x^2 + \beta x^4/2) = \frac{\beta}{2} (a^2 - x^2)(b^2 + x^2) = \frac{\beta}{2} a^2 (1 - \cos^2 \theta) (b^2 + a^2 \cos^2 \theta) =$$

$$\Rightarrow dx = a \cos \theta d\theta$$

$$\frac{dx}{\sqrt{\frac{2E - \alpha x^2 - \beta x^4}{2}}} = \frac{d\cos \theta d\theta}{dx \cos \theta \sqrt{\frac{\beta}{2} (b^2 + a^2 \sin^2 \theta)}} =$$

$$= \frac{d\theta}{\sqrt{\frac{\beta a^2 + 2\alpha + \beta a^2 \cos^2 \theta}{2}}} = \sqrt{2} \frac{d\theta}{\sqrt{\beta a^2 + 2\alpha + \beta a^2 \cos^2 \theta}}$$

$$\therefore T = 4\sqrt{2} \int_0^{\pi/2} \frac{d\theta}{\sqrt{2\alpha + \beta a^2(1 + \cos^2 \theta)}}$$

$$\text{Se } \beta = 0 \rightarrow \text{oscilação linear } T_L = \frac{4\sqrt{2}}{\sqrt{2\alpha}} \pi/2$$

$$T_L = \frac{2\pi}{\sqrt{\alpha}}$$

Se $\beta \neq 0$ o período depende da amplitude de oscilação

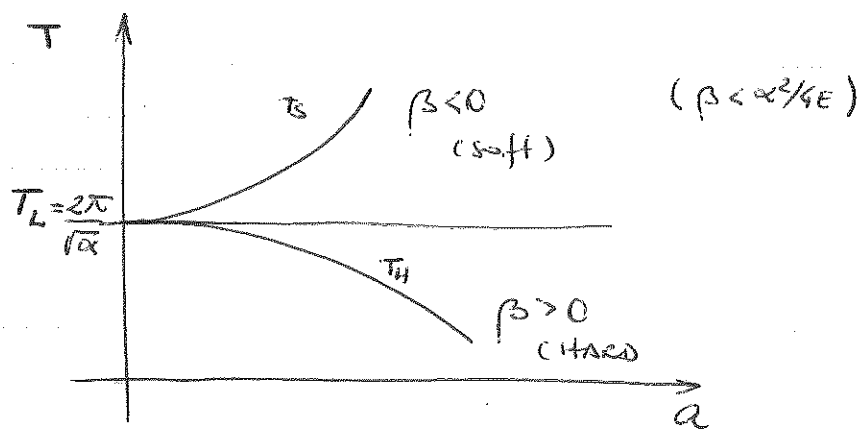
(i) $\beta > 0$: "hard spring"

$$T_H < T_L$$

(ii) $\beta < 0$: soft spring

$$T_S > T_L$$

Note que se $|\beta| > \frac{\alpha^2}{4E}$ não há trajetórias fechadas e expressão do período perde o significado



5. Sistemas conservativo funções de um parâmetro

Seja um sistema parameterizado em μ

$$\ddot{x} = f(x, \mu) = -\frac{\partial V}{\partial x} \quad (14)$$

No entanto, se $V(x)$ é um minimo em (*) um círculo $x = \bar{x}_j$, o equilíbrio é estável, e instável se $V''(\bar{x}_j)$ for um extremo positivo não-mínimo.

$$f(x) = -\frac{\partial V}{\partial x} \text{ é suporta } C'$$

A "topologia" do espaço de fase, ou seja a estrutura topológica é dependente dos parâmetros μ .

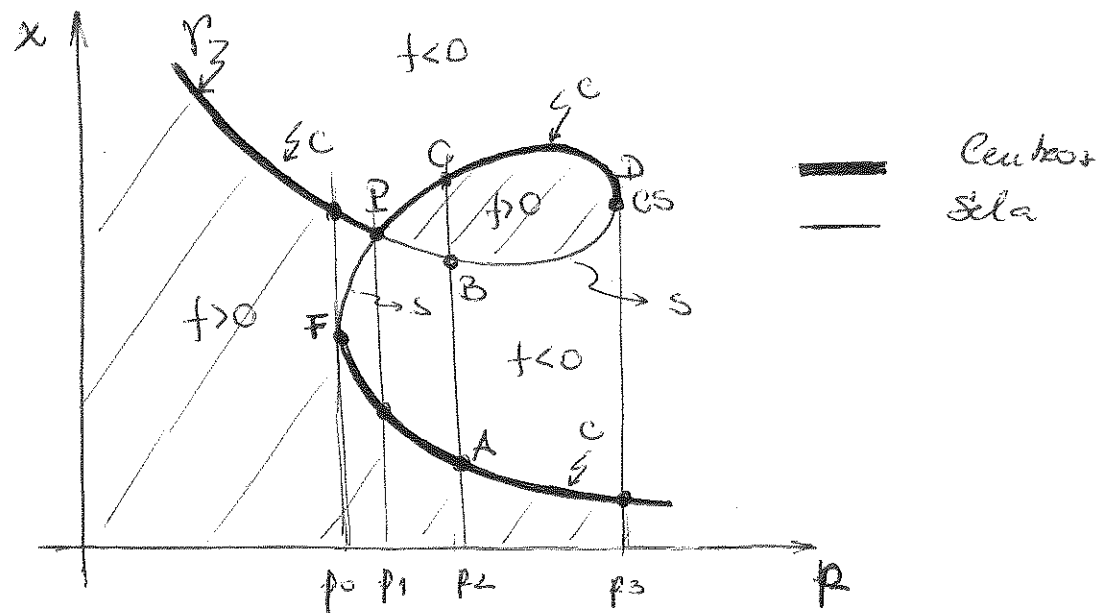
Os valores ordinários de μ são aquelas correspondentes a trajetórias de mesma família. (exemplo conjunto de trajetórias fechadas no interior de um círculo: círculo de trajetórias). Uma variação contínua de μ faz uma variação contínua de trajetórias sem mudanças radicais na estrutura topológica.

(*) vale apenas para 1 grau de liberdade (pontos my. isolados)

Podem existir valores p_i dos parâmetros p para os quais a estrutura topológica muda bruscamente: são os valores críticos.

Torções = condições definidas dos pontos de equilíbrio

$$f(x, p) = -\frac{\partial V}{\partial x} = 0 \quad (15)$$



CS - centro-sela ou cuspide $V_{xx}=0$ (instável)

C - $V_{xx} > 0$ ($f_x < 0$) - centros (estável)

S - $V_{xx} < 0$ ($f_x > 0$) - sela (instável)

Logo:

$$f(x, p) = 0$$

define os pontos singulares

$$f_x(x, p)$$

define a estabilidade

Tornando (15) e diferenciando em relação a P :

$$df = f_x dx + f_p dp$$

$$\frac{df}{dp} = f_x \frac{dx}{dp} + f_p$$

$$\frac{dx}{dp} = \frac{1}{f_x} \left(\frac{df}{dp} - f_p \right)$$

mas $f(x, p) = 0$ é a função analítica, então:

$$\frac{dx}{dp} = -\frac{f_p}{f_x}$$

No ponto C-S (um círculo e um ponto de solos colidem dentro do jato = uma cuspide) temos $f_x(x_S, p_S) = \frac{\partial f}{\partial x}(x_S, p_S) = 0$ e portanto a tangente é vertical.

Isto significa que $f(x, p) = 0$ tem um zero duplo em (x_S, p_S) .

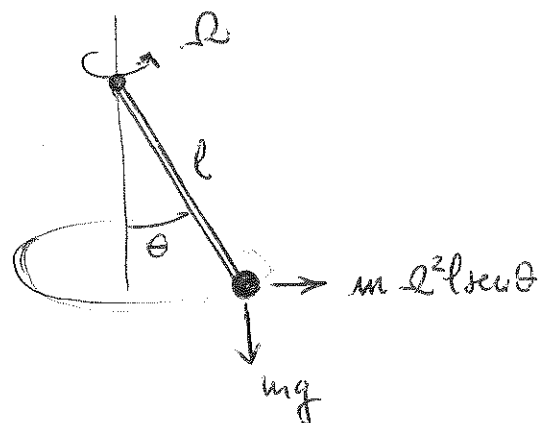
Em $P \equiv (x_0, p_0)$ tanto f_x quanto f_p se anulam

Critério de Poincaré

"Se a região no qual $f(x, p) > 0$ estiver aberta de um $f(x, p) = 0$, o equilíbrio é instável. Se estiver acima de curva, o equilíbrio é instável."

"Os pontos de equilíbrio em sistemas consecutivos sempre aparecem deslocados nos pares e o deslocamento sempre resulta da atração central de um centro com um ponto de sol".

Exemplo 1: pendulo isofônico



$$ml^2 \ddot{\theta} - ml^2 l^2 (\cos \theta - \rho) \operatorname{sen} \theta = 0 \quad (\text{E.D.O. univ. relativa})$$

$$\rho = \frac{g}{l^2} \quad \text{notar que} \quad \rho = \frac{\omega_0^2}{l^2} \quad \omega_0^2 = \frac{g}{l}$$

ou

$$\ddot{\theta} - l^2 (\cos \theta - \rho) \operatorname{sen} \theta = 0$$

$$\text{sgz} \quad \omega = \dot{\theta} = \frac{d\theta}{dt}$$

$$\frac{d\omega}{dt} = \ddot{\theta} = l^2 (\cos \theta - \rho) \operatorname{sen} \theta$$

$$\frac{d\omega}{d\theta} = \frac{l^2 (\cos \theta - \rho)}{\omega} = f(\theta, \rho, l) = f(\theta, \rho)$$

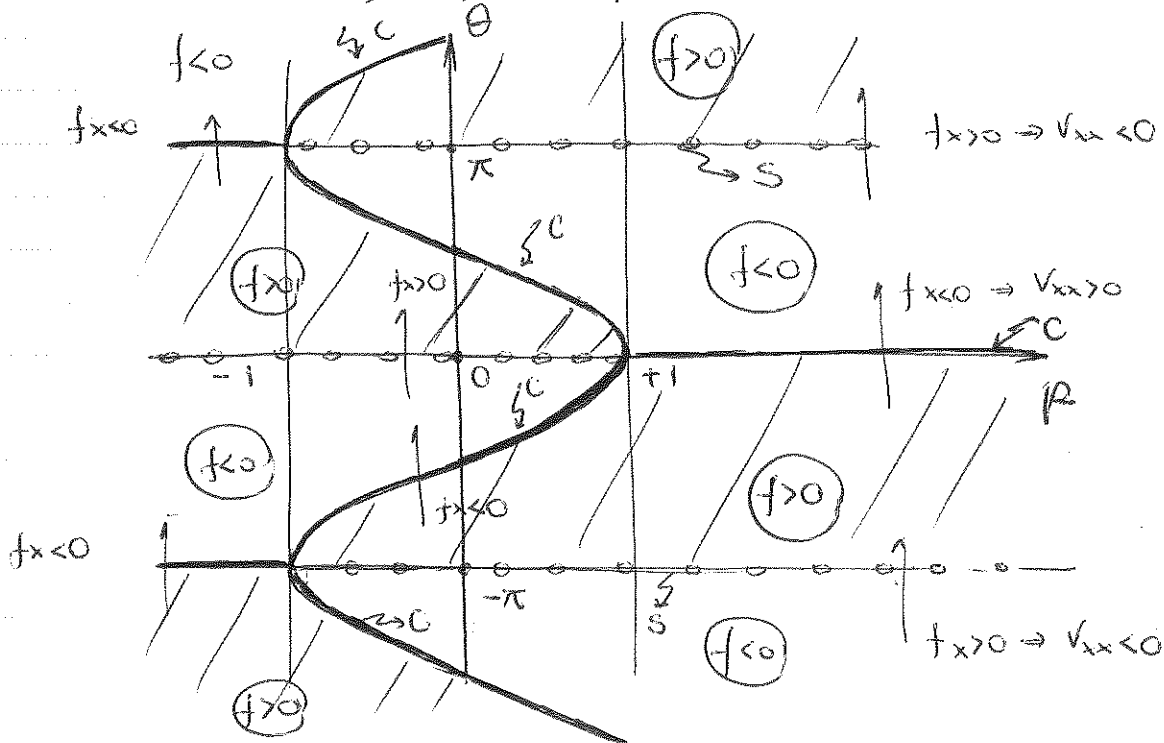
$$\frac{d\omega}{d\theta} = \frac{\omega_0^2}{\omega} \frac{l}{\rho} (\cos \theta - \rho) \operatorname{sen} \theta$$

Pontos de equilíbrio dados por:

$$f(\theta, p) = 0 \quad \text{ou seja}$$

$$\theta = 0, \pm\pi, \text{ ecos } p$$

(na realidade $\pm\pi$)



Integral de energia:

$$\frac{1}{2} \omega^2 - \Omega^2 \left\{ \frac{1}{2} \sin^2 \theta + p \cos \theta \right\} = E$$

separando passa por $(\theta = \pm\pi; \omega = 0)$ e
 $(\theta = 0, \omega = 0)$ (ponto de rela)

$$\therefore \omega_s^2 = \Omega^2 [\sin^2 \theta + 2 p (\omega \theta \pm 1)]$$

OBS: na realidade $p > 0$ é frequentemente constante.

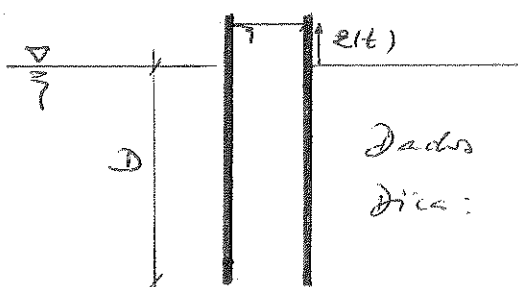
LISTA DE EXERCÍCIOS #01

1. ESBOCAR AS TRAJETÓRIAS DE FASE DO PÊNDULO ESPHERICO LIGADO PELA E.D.O.

$$\ddot{\theta} - \Omega^2 (\cos\theta - R) \sin\theta = 0 \quad ; \quad \rho = g/\Omega^2 R$$

para $\rho: \langle 1, -1, 0, +1, >+1$

2. Um ponto material de peso mg move-se num arco sobre uma parábola $z = \frac{x^2}{2g}$ fixa com velocidade angular Ω em torno do eixo vertical z. Sendo o parâmetro $\rho = \frac{g}{\Omega^2} - \frac{x^2}{2}$, estude a estrutura topológica do movimento.
3. PROBLEMA 2, Ferrari & Linton da Prado, pg. 56 -
4. PROBLEMA 10, F. & C-P., pg. 61
5. PROBLEMA 11, F. & C-P., pg. 61
6. Um tubo aberto é fixo em uma plataforma e mergulhado com comprimento D. O raio do tubo é R. Escava a E.D.O. para descobrir o movimento da coluna líquida dentro do tubo. Considere apenas o sistema autônomo. Descreva as singularidades e estude a estrutura topológica do movimento. Desenvolva todo e qualquer dispositivo, menos aquela associada à formação de ondas de superfície.



Dados g, D, R, ρ

Dica: modele o movimento da coluna líquida através de umas gran de liberdade $z(t)$.

Determine também as frequências naturais do sistema limitado.

II. ASPECTOS TÔPOLOGICOS E ESTABILIDADE

1. Estabilidade segundo Liapunov.

- estabilidade de pontos de equilíbrio - sistemas conservativos

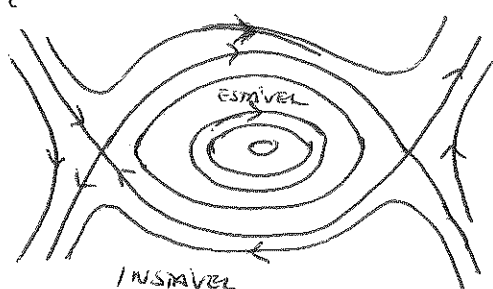
Características essenciais (ver, p. ex., oscilações cílicas autônomas)

- (a) trajetórias podem tender a pontos singulares tanto para $t \rightarrow +\infty$, quanto $t \rightarrow -\infty$;
- (b) trajetórias podem ser fechadas, correspondendo a movimentos periódicos, envolvendo centros;
- (c) trajetórias podem se dirigir ou irrum do infinito.

Critério de Estabilidade de Liapunov.

Um movimento, definido por $x(t, x_0, y_0)$ e $y(t, x_0, y_0)$ é estável se, para qualquer $\epsilon > 0$, existe um outro, $\delta > 0$, tal que se $|x_0 - x_0| \leq \delta$ e $|y_0 - y_0| \leq \delta$ se verificam então $|x(t, x_0, y_0) - x(t, \bar{x}_0, \bar{y}_0)| \leq \epsilon$ e $|y(t, x_0, y_0) - y(t, \bar{x}_0, \bar{y}_0)| \leq \epsilon$ para todos t .

Este definição equivale à continuidade uniforme da solução $x(t, x_0, y_0)$ e $y(t, x_0, y_0)$ em relação às condições iniciais (x_0, y_0) .



2. Estabilidade Linear e Classificação dos
Pontos de Equilíbrio.

Considere

$$\begin{aligned}\dot{x} &= ax + by = f(x, y) = X(x, y) \\ \dot{y} &= cx + dy = g(x, y) = Y(x, y)\end{aligned}$$

$(\bar{x}, \bar{y}) = (0, 0)$ é ponto singular (de equilíbrio).

Com $x(t) = x_0 e^{\lambda t}$, $y(t) = y_0 e^{\lambda t}$ temos

$$\begin{aligned}(a-\lambda)x_0 + by_0 &= 0 \\ cx_0 + (d-\lambda)y_0 &= 0\end{aligned}$$

que tem solução não trivial se e só se

$$\det \begin{bmatrix} a-\lambda & b \\ c & d-\lambda \end{bmatrix} = 0$$

Alternativamente, definindo

$$\underline{x} = (x, y)$$

$$\text{tal que } A = \begin{bmatrix} a & b \\ c & d \end{bmatrix} = J = \begin{bmatrix} f_x & f_y \\ g_x & g_y \end{bmatrix}$$

obtemos:

$$\dot{\underline{x}}(t) = A \underline{x} = J \underline{x}$$

Se

$$\underline{x}(t) = \underline{x}_0 e^{\lambda t}$$

$$(J - \lambda I) \underline{x}_0 = 0$$

1 se os auto-valores λ_1 e λ_2 os auto-vetores associados.

No caso bidimensional λ_1 e λ_2 as raízes do polinômio característico

$$(a-\lambda)(d-\lambda) - bc = 0$$

e definem a estabilidade do ponto fixo $(0,0)$.

Exercícios:

$$\lambda_i = \operatorname{Re}(\lambda_i) + i\operatorname{Im}(\lambda_i) = \alpha_i + i\beta_i$$

então

$$x_i(t) = e^{\alpha_i t} e^{i\beta_i t} x_{i0}$$

Se $\alpha_i < 0$: $x_i(t) \rightarrow 0$, $t \rightarrow \infty$

$\alpha_i > 0$: $x_i(t) \rightarrow \infty$, $t \rightarrow \infty$

- Se $\operatorname{Re}\lambda_i = \alpha_i$ for para todos i o equilíbrio é dito hiperbólico. (não degenerado)

(a) $\operatorname{Re}\lambda_i = \alpha_i < 0$, todos i : estabilidade assintótica

(b) $\operatorname{Re}\lambda_i = \alpha_i > 0$, pelo menos: instabilidade

$\forall i$

- Se $\operatorname{Re}\lambda_i = 0$: equilíbrios ditos elípticos (ou degenerados)

No caso linear $x(t)$ permanece nas vizinhanças do ponto de equilíbrio: centres.

Classificação dos Pontos de Equilíbrio ($n=2$)

(i)

$$\frac{dy}{dx} = \frac{Y(x,y)}{X(x,y)} = \frac{\alpha x + \beta y}{\alpha x + \gamma y}$$

(ii) Considerem $\underline{x} = (x, y)$ e $\underline{s} = (\xi, \eta)$

com

$$\underline{\lambda} = J_{\underline{x}} = J_{\underline{s}}$$

podemos reduzir o sistema à forma usual

$$\underline{\lambda} = \Lambda \underline{s}$$

com

$$\Lambda = \begin{bmatrix} \lambda_1 & 0 \\ 0 & \lambda_2 \end{bmatrix}$$

i.e., se

$$\xi = \alpha x + \beta y$$

$$\eta = \gamma x + \delta y$$

ou

$$\underline{s} = B \underline{x}, \quad \det B \neq 0$$

$$\underline{\lambda} = B \underline{\lambda}_{\underline{x}} = B \Lambda \underline{x} = B \Lambda \underline{s} = B \Lambda B^{-1} \underline{s}$$

Se

$$\underline{\lambda} = \Lambda \underline{s} \Rightarrow \Lambda = B \Lambda B^{-1}$$

Logo

$$B^{-1} \Lambda B = \Lambda$$

e

$$\Lambda = B \Lambda B^{-1}$$

A matriz B que diagonaliza J é formada pelos

auto-vectores de \mathbb{J} .

Explícitamente: (a menos de una constante multiplicativa)

$$\alpha(a-\lambda_1) + \beta c = 0$$

$$\alpha b + \beta(d-\lambda_1) = 0$$

e

$$\gamma(a-\lambda_2) + \delta c = 0$$

$$\gamma b + \delta(d-\lambda_2) = 0$$

definir os coeficientes da transformación no caso bi-dimensional

Obs 1 Se $b=c=0$ e $a=d$ $\rightarrow \lambda_1 = \lambda_2 = a$

por $\begin{vmatrix} a-\lambda & b \\ c & d-\lambda \end{vmatrix} = 0 \Rightarrow \lambda^2 - (a+d)\lambda + (ad-bc) = 0$

neste caso

$$\frac{dy}{dx} = \frac{y}{x}$$

e obtém $f(x) = cx$ e cuanha na forma usual

Obs 2: Se $\Delta = \alpha\delta - \beta\gamma$

$$x = \frac{1}{\Delta} (\delta z - \beta y) ; \quad y = \frac{1}{\Delta} (-r z + \alpha y)$$

Obs 3: podemos tomar

$$\alpha = -c\Delta$$

$$\beta = (a-\lambda_1)\Delta$$

$$\gamma = c\Delta$$

$$\delta = -(a-\lambda_2)\Delta$$

e assim:

$$x = (\lambda_2 - a)z + (\lambda_1 - a)y$$

$$y = -c(z + y)$$

Teorema : Quando λ_1, λ_2 são reais e de sinal oposto o sistema

$$\dot{x} = ax + by$$

$$\dot{y} = cx + dy$$

tem um nodo em $x=y=0$

de facto ; reduzindo o sistema à forma usual

$$\dot{\xi} = \lambda_1 \xi$$

$$\dot{\eta} = \lambda_2 \eta$$

$$\frac{d\eta}{d\xi} = \frac{\lambda_2}{\lambda_1} \quad \therefore \eta = C \xi^f \quad f = \lambda_2 / \lambda_1 > 0$$

As trajetórias de ferem parábolas de grau f .

Se $f > 1$ as curvas são tangentes ao eixo ξ na origem, com excepção de $\xi=0$, curva "triangular", que corresponde a $C \rightarrow \infty$.

Se $f < 1$ as curvas são tangentes ao eixo η , exceto para $\eta=0$, que corresponde a $C=0$.

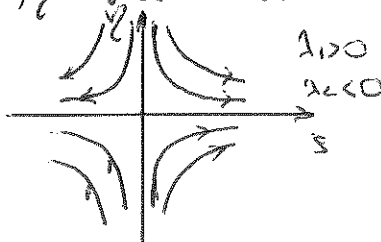
Se λ_1, λ_2 negativas : \rightarrow nodo estável

λ_1, λ_2 positivas : \rightarrow nodo instável

Teorema : Quando λ_1, λ_2 são reais e de sinal oposto o sistema tem um ponto de rele em $(0,0)$

$$\text{Sim , sim } \quad \eta = C \xi^{-f} \quad f = |\lambda_2 / \lambda_1|$$

As trajetórias são hiperbolas de grau f e os eixos ξ, η os asymptotes



Teorema

Quando os de são complexos conjugados o sistema tem um foco no origem

$\lambda = \bar{\lambda}$ fôco se x, y nais e $\lambda, \bar{\lambda}$ tel que $\lambda = \bar{\lambda}$
 $\Im = \bar{\Im}$, pris se

$$\Im = u + iv$$

$$\bar{\Im} = u - iv$$

$$\begin{aligned} u + iv &= \lambda, \Im = (A + iB)(u + iv) \\ u - iv &= \bar{\lambda}, \bar{\Im} = (A - iB)(u - iv) \end{aligned}$$

e, de mabs, $ii = Au - Bu$ e $iv = Bu + Av$, nais.

Assim

$$\frac{dv}{du} = \frac{Bu + Av}{Au - Bu}$$

que com $u = r \cos \varphi$ e $v = r \sin \varphi$ transforma-se

$$\begin{aligned} \frac{dv}{du} &= \frac{dr \sin \varphi + r \cos \varphi d\varphi}{dr \cos \varphi - r \sin \varphi d\varphi} = \frac{Bu + Av}{Au - Bu} = \\ &= \frac{B r \sin \varphi + A r \cos \varphi}{A r \cos \varphi - B r \sin \varphi} \end{aligned}$$

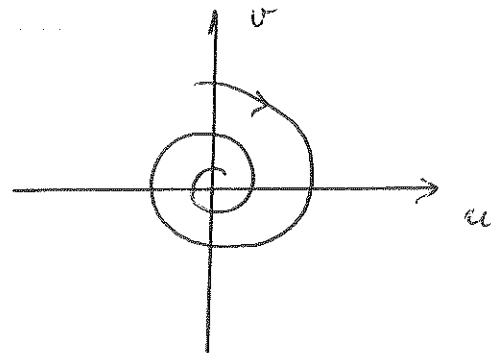
de onde

$$\frac{dr}{d\varphi} = \frac{A}{B} r$$

lojo

$$r = C e^{\frac{A}{B}\varphi} \quad z = A/B$$

No plans u, v as trajetórias sâo pontenteis exponenciais logarítmicas i.e. no origem é um foco



$$\text{Caso } r^2 = u^2 + v^2, \quad u = r \cos \theta, \quad v = r \sin \theta$$

$$\text{então: } r\dot{\theta} = u\dot{u} + v\dot{v}$$

$$\begin{aligned} \dot{r} &= \cos \theta \dot{u} + \sin \theta \dot{v} = \cos \theta (Au - Bu) + \sin \theta (Bu + Au) = \\ &= 2A\dot{r} \end{aligned}$$

$$\frac{1}{2}\dot{r} = A\dot{r} \quad A = \frac{2A\dot{r}}{\dot{r}} = k_0 e^{2At}$$

$A = \operatorname{Re}(\lambda_1) = \operatorname{Re}(\lambda_2) < 0 \Rightarrow$ ponto estável

$A = \operatorname{Re}(\lambda_1) = \operatorname{Re}(\lambda_2) > 0 \Rightarrow$ ponto instável

Se $A = 0$ (λ_1, λ_2 magnitudes pures)

$$\lambda_1 = \lambda_2 = i\omega$$

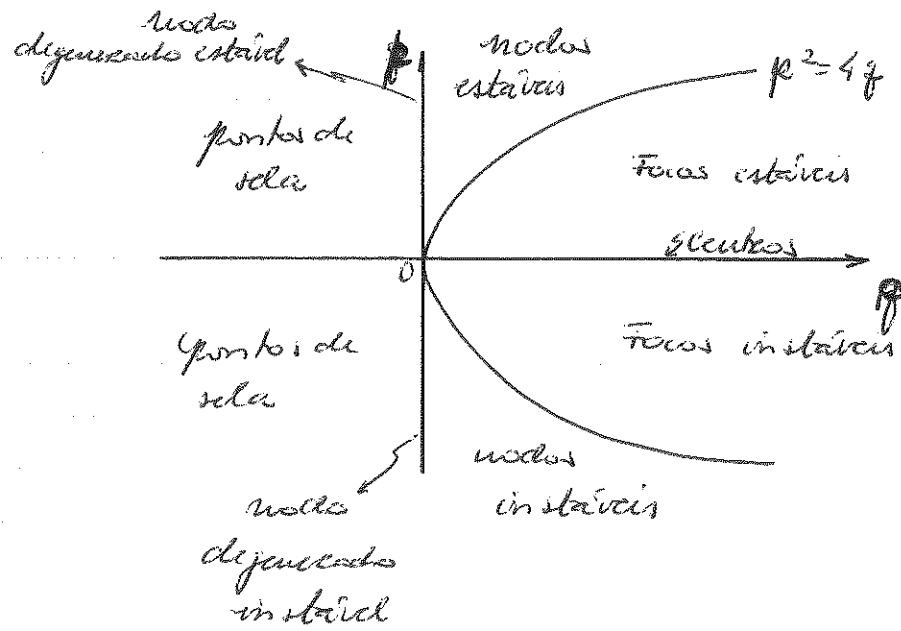
$\dot{r} = 0 \Rightarrow$ circunferências \Rightarrow centros.

Resumo: \bar{q} . características: $\lambda^2 + p\lambda + q = 0$

$$\text{com } p = -(a+d)$$

$$q = ad - bc$$

- (a) $q < 0$: λ_1, λ_2 reais, $\lambda_1, \lambda_2 < 0$: ponto de tela
- (b) $p > 0$; $p^2 < 4q$: $\lambda_1 = \bar{\lambda}_2$, $\operatorname{Re}(\lambda_1) < 0$: ponto estável
- (c) $p > 0$; $p^2 > 4q$: λ_1, λ_2 reais negativos : nôde \therefore instável
- (d) $p < 0$; $p^2 < 4q$: $\lambda_1 = \bar{\lambda}_2$, $\operatorname{Re}(\lambda_1) > 0$: ponto instável
- (e) $p < 0$; $p^2 > 4q$: λ_1, λ_2 reais, $\lambda_1, \lambda_2 > 0$: nôde instável
- (f) $p = 0$, $q > 0$: $\lambda_1 = \bar{\lambda}_2 = i\omega$, $\omega > 0$; centros



3. Testes de Estabilidade

(i) Estabilidade segundo Liapunov (ponto de equilíbrio)
 Nas vizinhanças de um ponto de equilíbrio x_0
 "O equilíbrio é estável se $\forall \epsilon > 0 \exists \delta = \delta(\epsilon) > 0$
 t. f. existe $|x(t) - x_0| < \epsilon$ para todo $t \in (t_0, \infty)$ desde
 que $|x(t_0) - x_0| < \delta$ "

(em outras palavras distâncias iniciais "pequenas"
 permanecem "pequenas")

(ii) Estabilidade assintótica segundo Liapunov:

"A solução $x(t, x_0, y_0)$ é assintoticamente estável
 se for estável e se existe um $\delta > 0$ t. f.
 $|x_0 - x_0| \leq \delta$ e $|y_0 - y_0| \leq \delta$ implica em
 $|x(t, x_0, y_0) - x(t, x_0, y_0)| \rightarrow 0$ e
 $|y(t, x_0, y_0) - y(t, x_0, y_0)| \rightarrow 0$ para $t \rightarrow \infty$ "

(iii) Estabilidade segundo Liapunov.

"Um movimento definido por $(x(t, x_0, y_0), y(t, x_0, y_0))$
 é estável se $\forall \epsilon > 0, \exists \delta > 0$ t. f. $|x_0 - x_0| \leq \delta, |y_0 - y_0| \leq \delta$

implica em $|x(t, x_0, y_0) - x(t, \bar{x}_0, \bar{y}_0)| \leq \epsilon$ e
 $|y(t, x_0, y_0) - y(t, \bar{x}_0, \bar{y}_0)| \leq \epsilon$ para todo t "

Notas:

- (i) A solução é dita limitada se $|x|, |y| < M$ para algum $M > 0$, finito.
- (ii) A solução pode ser limitada mas não estável e vice-versa.

exemplos: (a) $\dot{x} = 1 \rightarrow x = x_0 + t$ é limitada mas estável quanto

$$|x(t, x_0, y_0) - x(t, \bar{x}_0, \bar{y}_0)| = |x_0 - \bar{x}_0| \quad (\epsilon = \delta)$$

$$(b) \quad \dot{x} = -[x^2 + (x^2 + 4\dot{x}^2)^{1/2}](x/2)$$

tem solução $x = \alpha \sin(\omega t + \beta)$, limitada mas instável pois

$$\alpha = \frac{y_0}{x_0} \quad e \quad \beta = \arcsin\left(\frac{x_0}{y_0}\right)$$

pôs biquadradas nas permanecem próximas

- (iii) Sistemas lineares autônomos; sol. são estáveis se \underline{x} forem limitadas

Seja agora o sistema linear

$$\dot{x} = A(t)x + f(t, x), \quad f(t, 0) = 0$$

Teo de Liapunov.

"Se A for constante e haver raios caracteristicos todos com parte real negativa e $\|f(t,x)\| \rightarrow 0$ para $\|x\| \rightarrow 0$ uniformemente em $0 \leq t \leq \infty$ ento toda soluçao $x(t)$, com $\|x(0)\|$ suficientemente pequeno existe em $[0, +\infty)$ e = soluçao $x = 0$ e' assimeticamente estavel para $t \rightarrow \infty$."

Solucion afone

$$\begin{aligned} \dot{x} &= ax + by + f(x,y) \\ \dot{y} &= cx + dy + g(x,y) \end{aligned} \quad (*)$$

e seu linearizado

$$\begin{aligned} \dot{x} &= ax + by \\ \dot{y} &= cx + dy \end{aligned} \quad (**)$$

Teo 1.

Se a origem e' um atractor para $(**)$, tambem o e' para $(*)$

Teo 2

Se a origem e' um foco para $(**)$ ento tambem o e' para $(*)$

Teo 3

Se a origem e' um modo fristico para $(*)$ e $\|x\|, \|g\| \leq F(r)$, $F(r) = O(r)$ para $r \rightarrow 0$

e $\int_{r_0}^{\infty} r^2 F(r) dr < \infty$, ento a origem e' um modo fristico para $(*)$. Em particular, isto vale para,

$$f, g = O(t^{1+\epsilon}), \epsilon > 0.$$

Teo 4. Se o origem é um centro de (*) entre ou
e um centro ou um foco de (**)

Exemplo (i):

$$\dot{x} = -y - \lambda x$$

$$r = (x^2 + y^2)^{1/2}$$

$$\dot{y} = x - \lambda y$$

em coordenadas polares: $\dot{r} = -r^2$, $\phi = 1$
com soluções:

$$r(t) = (t + r_0^{-1})^{-1}, \phi(t) = t + \phi_0$$

$t \rightarrow \infty$, $r \rightarrow \infty$ e $\phi \rightarrow \infty$ para $t \rightarrow \infty$: o
origem é um foco.

para $\lambda = 0$ temos $\dot{r} = -r^2$, no entanto

$$\dot{x} = -y$$

$$\dot{y} = x$$

a origem é um centro.

Exemplo (ii)

Distância

$$\dot{x} = -y + x \cdot 2 \sin(\pi t)$$

$$\dot{y} = x + y \cdot 2 \sin(\pi t)$$

fora em coordenadas polares é

$$\dot{r} = r^2 \sin(\pi t)$$

$$\dot{\phi} = 1$$

temos $r = n$ (número natural) como soluções periódicas ao redor da origem.

Em pris $r^2 = x^2 + y^2$; $x = r \cos \phi$, $y = r \sin \phi$

$$rx = x\dot{x} + y\dot{y} = r \cos \phi \dot{x} + r \sin \phi \dot{y}$$

$$\begin{aligned}
 \dot{x} &= \cos\phi + r\sin\phi \dot{\theta} = \cos\phi (-y + x_2 \sin(\theta/r)) + r\sin\phi (x_1 + r^2 \cos\phi \sin\theta/r) = \\
 &= \cos\phi (-r\sin\phi + r^2 \cos\phi \tan\theta/r) + r\sin\phi (\cos\phi + r^2 \cos\phi \sin\theta/r) = \\
 &= r^2 \sin\theta/r
 \end{aligned}$$

$$\dot{x} = 0 \text{ se } \frac{\pi}{r} = n\pi, n=1, 2, \dots \text{ ent\~os}$$

$C_n : r = v_n$ s\~ao \'orbitas periódicas.

Teo 5: Se a origem \~e um nodo de (*) ent\~o \~e um nodo de (**)

Teo 6: Se a origem for um ponto de se\~o p\~eculiar (**) ent\~o tamb\'em o \~e p\~eculiar (*) desde que $p(x,y)$ e $f'(x,y)$ definidos na mesma vizinhan\~a de (**):

$$\begin{aligned}
 \dot{x} &= \lambda_1 x + p(x,y) \\
 \dot{y} &= \lambda_2 y + f'(x,y)
 \end{aligned}$$

sejam de classe C^1 .

III. TEORIA DE PONCARÉ - SÉNDEKSON

1. Ciclos-límite em sistemas Autônomos

São curvas fechadas que podem atrair ou repelir outras trajetórias. Constituem outros tipos de atração (ou repulsão). Compõem apesar disso sistemas não-conservativos.

O ciclo-límite estabil (internamente) necessariamente envolve um ponto de equilíbrio instável (não é fixo) ou um outro ciclo-límite, externamente instável.

Exemplo: 1:

$$\dot{x} = -y + x(x^2+y^2-1)$$

$$\dot{y} = x + y(x^2+y^2-1)$$

em coordenadas polares , $x=r\cos\varphi$, $y=r\sin\varphi$

debel para que

$$r\dot{r} = x\dot{x} + y\dot{y}$$

$$\dot{r} = \cos\varphi \dot{x} + \sin\varphi \dot{y} = \cos\varphi (-y + x(x^2+y^2-1)) +$$

$$+ \sin\varphi (x + y(x^2+y^2-1)) =$$

$$= \cos\varphi(-r\sin\varphi + r\cos\varphi(r^2-1)) + \sin\varphi(r\cos\varphi + r\sin\varphi(r^2-1))$$

$$\dot{r} = r(r^2-1)$$

$$r = r\cos\varphi$$

$$\dot{\varphi} = \dot{r}\cos\varphi - r\sin\varphi \frac{\ddot{\varphi}}{r}$$

$$\ddot{\varphi} = -\frac{\dot{x} - r\cos\varphi}{r\sin\varphi}$$

mas

$$\begin{aligned} \dot{x} - \dot{z} \cos \theta &= -y + x(r^2 - 1) - r(r^2 - 1) \cos \theta = \\ &= -r \sin \theta + r \cos \theta (r^2 - 1) - r \cos \theta (r^2 - 1) = -r \sin \theta \end{aligned}$$

logo

$$\dot{\theta} = +1$$

$$\text{então: } \varphi(t) = \varphi_0 + t$$

$$e \quad r = (1 - A e^{2t})^{-\frac{1}{2}}$$

$$\text{Se } r(0) = r_0$$

$$r_0 = (1 - A)^{-\frac{1}{2}} \quad \therefore \quad A = 1 - r_0^{-2} = \frac{r_0^2 - 1}{r_0^2}$$

(i) Se $r_0 < 1$, $A < 0$ então:

$$r = (1 + |A| e^{2t})^{-\frac{1}{2}} = \frac{1}{[1 + |A| e^{2t}]^{\frac{1}{2}}}$$

Logo, (i) para $r_0 < 1$, $r \rightarrow 1$ para $t \rightarrow -\infty$, e
 $r \rightarrow \infty$ para $t \rightarrow +\infty$

último, para $r_0 > 1$, $A > 0$ e

$$r = (1 - |A| e^{2t})^{-\frac{1}{2}} = \frac{1}{[1 - |A| e^{2t}]^{\frac{1}{2}}}$$

$r \rightarrow 1$, $t \rightarrow -\infty$

r cresce para $0 < t < \frac{1}{2} \ln \left(\frac{r_0^2}{r_0^2 - 1} \right)$

depois de $t^* = \frac{1}{2} \ln \left(\frac{r_0^2}{r_0^2 - 1} \right)$, valor em que

$|A| e^{2t} = 0$ não há solução real.

O ciclo-limite $r=1$ é instável circumduado por um fio estável em $r=0$.

Exemplo 2 : Oscilador de Van-der-Pol

$$\ddot{x} + \alpha(x^2-1)\dot{x} + \omega^2x = 0, \quad \alpha > 0 \quad (\text{piscar})$$

é um caso particular do sistema

$$\ddot{x} + b\dot{x} + \omega^2x + f(x, \dot{x}) = 0$$

no qual $b = -\alpha$ e $f(x, \dot{x}) = \alpha x^2 \dot{x}$

O sistema linearizado ($|x| \ll 1$)

$$\ddot{x} + b\dot{x} + \omega^2x = 0$$

é anópetido se $b > 0$ e instável (sem nulos) exponencialmente se $b < 0$. Em $b=0$ o fio estável se transforma em fio instável portanto (a configuração central é estabilmente instável). No entanto o comportamento do sistema para $x \approx 0(1)$ não pode ser previsto a priori desistindo linearizada.

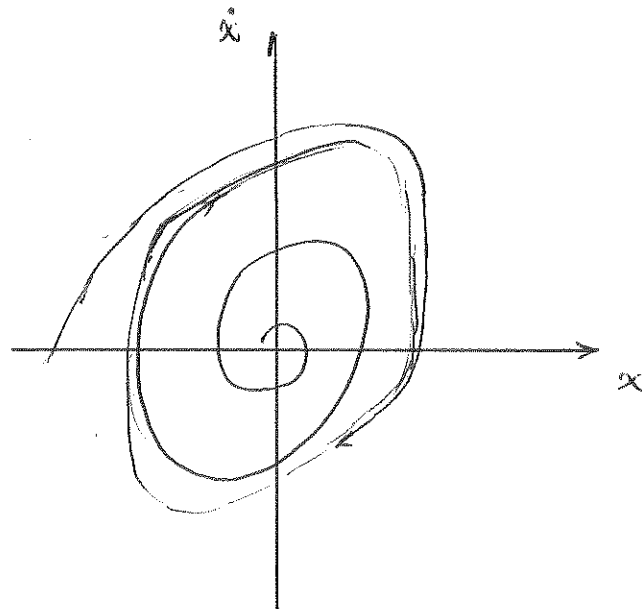
Para $\alpha > 0$ (piscar) e $x \gg 1$ o sistema de segunda-ordem é dispersível e

$$\ddot{x} + \omega^2x \approx +\alpha\dot{x} \quad ; \quad \text{comportamento instável}$$

Se x é grande suficiente ($x > 1$)

$$\ddot{x} + \omega^2x = -\alpha(x^2-1)\dot{x} \quad ; \quad \text{comportamento dissipativo.}$$

O sistema exibe pontos um círculo limitado que arounda um fóco instável.



Exemplo 3

$$\ddot{x} + (x^2 + \dot{x}^2 - 1) \dot{x} + x = 0$$

Se $x^2 + \dot{x}^2 > 1$: anárticas
 $x^2 + \dot{x}^2 < 1$: sistemas reais engria.

$$\text{com } y = \dot{x} = r \cos \varphi \quad x = r \sin \varphi$$

$$r^2 = x^2 + y^2$$

segue que

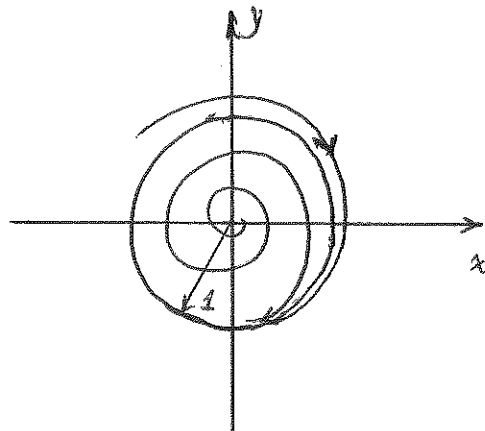
$$\begin{aligned}\ddot{x} &= r(1-r^2) \sin^2 \varphi \\ \dot{\varphi} &= (1-r^2) \sin \varphi \cos \varphi - 1\end{aligned}$$

Assim $\ddot{x} > 0$, para $r < 1$ e $\ddot{x} < 0$, se $r > 1$;

$$r=0, \text{ se } r=1$$

Se $r=1$ $\dot{\varphi} = -1$..., O círculo limitado é estável e l'

um círculo de raio unitário centrado no origem.



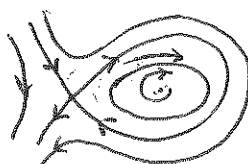
2. Ataques em fluxos planos de sistemas autônomos

Tipos:

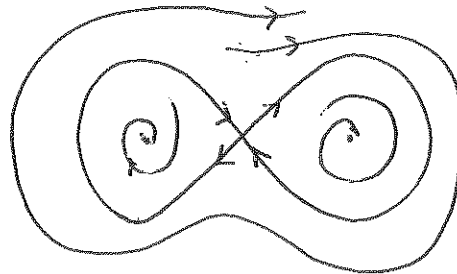
- (i) pontos fixos (ou de equilíbrio)
- (ii) órbitas fechadas (ciclos-limites)
- (iii) umas de pontos fixos e trajetórias que os ligam (anotadamente)
 - (a) órbitas heteroclínicas: dois pontos fixos distintos
 - (b) órbitas homoclínicas: ponto fixo considerado a si mesmo.
(os pontos-fixos devem ser necessariamente pontos de selo)

Exemplos:

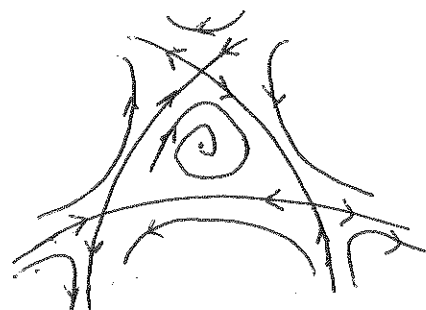
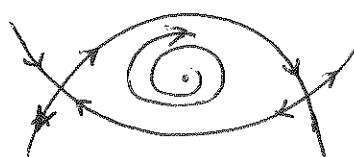
- (i) Órbita homoclínica (com ciclo-limit em seu interior)



(2) órbita homoclinica doble



(3) "Círcos" homoclínicos formados por órbitas heteroclínicas



3. Círculo Negativo de Pendular

Considero o sistema

$$\ddot{w} + (-b^2 + a^2 w^2 + c^2 \dot{w}^2) \dot{w} + d^2 w = 0$$

sejam $x = w$ e $y = \dot{w}$ ento:

$$\dot{x} = y \equiv F_1(x, y)$$

$$\dot{y} = b^2 y - (a^2 x^2 + c^2 \dot{y}^2) y - d^2 x \equiv F_2(x, y)$$

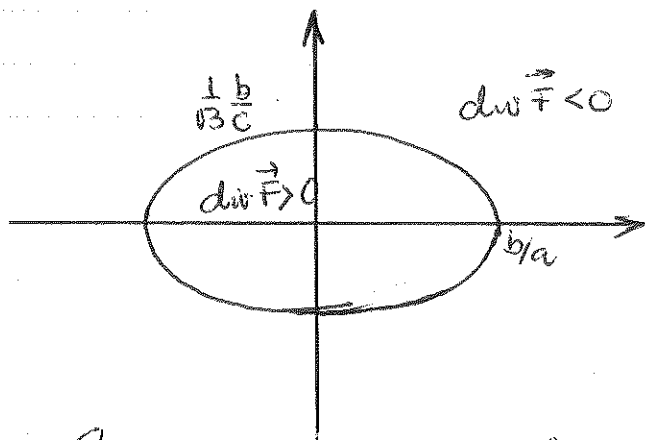
O campo vetorial $\vec{F} = F_1(x, y)\vec{i} + F_2(x, y)\vec{j}$ denove o sistema.

$$\nabla \cdot \vec{F} = \partial_w \vec{F} = \frac{\partial F_1}{\partial x} + \frac{\partial F_2}{\partial y} = b^2 - (a^2 x^2 + 3c^2 y^2)$$

O plano (x,y) pode ser considerado em dois sub-conjuntos: o interior e o exterior da elipse

$$b^2 - \alpha^2 x^2 - 3c^2 y^2 = 0$$

de semi-eixo b/a e $\sqrt{3}c$ respectivamente.



Qualquer curva fechada no interior da elipse é tal que, ao longo dela, $\text{div } \vec{F} \geq 0$.

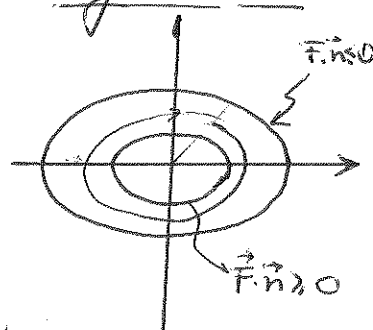
Então

$$\oint_C \vec{F} \cdot \vec{n} \, ds = \iint_D \text{div } \vec{F} \, dA > 0$$

Se este anel não pode ser um anel limitado ao longo de um anel limitado dentro $\vec{F} \cdot \vec{n} = 0$. Então é o critério negativo de Bendixson.

Considerem a família de elipses

$$b^2 x^2 + y^2 = \alpha^2 \quad \alpha > 0$$



Para α suficientemente pequeno temos $b^2 > \alpha^2 x^2 + c^2 y^2 \Leftrightarrow \vec{F} \cdot \vec{n} \geq 0$. Para α suficientemente grande $b^2 < \alpha^2 x^2 + c^2 y^2 \Leftrightarrow \vec{F} \cdot \vec{n} \leq 0$. Portanto qualquer trajetória que se move

(*) \rightarrow

se upas compreendida entre as duas elipses deve ficar compreendida entre upas e uma menor trajetória mas pode se constar que ela necessariamente deve tender a um ciclo limite quando $t \rightarrow \infty$. Este ciclo-limite é, no mínimo semi-estável. Por outro lado, se $\bar{F}_m > 0$ na elipse exterior é ≤ 0 no interior então verificam o parâmetro do tempo ($\bar{t} < \bar{T}$) concluindo que entre as duas elipses existe pelo menos um ciclo-limite que, no mínimo, é semi-estável.

4. Teorema de Poincaré-Bendixson

"Seja D um domínio finito que não contenha pontos singulares e da qual trajetórias não partem. Então D contém um ciclo-limite".

LISTA DE EXERCÍCIOS #02

(1) PROBLEMA 14, F&C-P, pg 62
(a), (c), (e)

(2) PROBLEMA 15, F&C-P, pg 62 - enolhar 4 equações

(3) PROBLEMA 16, F&C-P, pg 62

(4) Estudar o sistema

$$\dot{x} = ay + x(p - f(x^2+y^2)) (x^2+y^2)^{-1/2}$$

$$\dot{y} = -ax + y(p - f(x^2+y^2)) (x^2+y^2)^{-1/2}$$

a, p, f constantes. Determinar o caráter de estabilidade da origem e a existência de ciclos - basta em função dos parâmetros

a, p, f

(5) Aplicar o critério negativo de Bendixson à equação $\dot{x} - \mu \dot{y} + x + \dot{x}^3 = 0$. Analise em função do parâmetro μ .

5. Aspectos Topológicos Analíticos

Seja o sistema

$$\dot{x}_1 = \dot{x} = F_1(x, y) = P(x, y)$$

$$\dot{x}_2 = \dot{y} = F_2(x, y) = Q(x, y)$$

F_1 e F_2 contínuas em um aberto A de \mathbb{R}^2 , contendo a origem. Os pontos singulares, são aqueles para os quais $F_1(x, y) = F_2(x, y) = 0$, são classificados assim:

Definições:

(i)

C^+ : semi-trajetória positiva, definida em $[t_0, +\infty)$

C : trajetória completa, definida em $(-\infty, +\infty)$

C^- : semi-trajetória negativa, definida em $(-\infty, t_0]$

(ii) $(\bar{x}, \bar{y}) = (\bar{x}_n, \bar{y}_n)$ é chamado um ponto-limite de C^+ se existir uma sequência $\{t_m\}$ com $t_m \rightarrow +\infty$, tal que $x(t_m) \rightarrow \bar{x}$, $y(t_m) \rightarrow \bar{y}$ se $m \rightarrow +\infty$

(iii) $L(C^+)$ é o conjunto dos pontos-limite de C^+ em \mathbb{R}^2

(iv) analogamente

$L(C^-)$ é o conjunto dos pontos-limite de C^- em \mathbb{R}^2

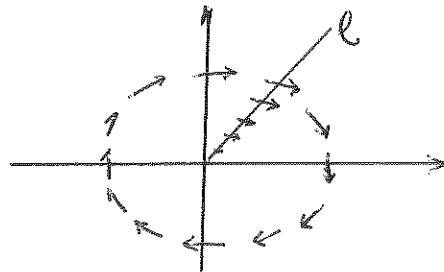
(v) $L^+(C)$, $L^-(C)$ são os conjuntos dos pontos-limite de C em \mathbb{R}^2 quando $n \rightarrow \infty$ ($t_n \rightarrow \pm\infty$)

(vi) uma trajetória periódica é aquela em que $L^+(C) = L^-(C) = C$, anulando-se as também os pontos singulares.

(note que (vi) descreve de (i)-(v))

(vii) K seja denominado um sub-objeto compacto (i.e. limitado e fechado) do objeto A .

(viii) Um segmento ℓ é denominado uma beaversal em A se todos os seus pontos P forem regulares com respeito ao sistema dinâmico e se houver direções diferentes de queles definidas pelo campo vetorial.



Lemas e Teoremas (4)

Lema 1 : Se $C^+ \subset K \subset A$ entâo $L(C^+)$ é um conjunto não-vazio, compacto e conexo e $L(C^+) \subset K$, isto é, $L(C^+)$ é um conjunto contínuo.

Lema 2 : Se $C^+ \subset K \subset A \in L(C^+)$ contém um ponto regular P_0 , entâo a trajetória P que passe por P_0 é uma trajetória completa e $P \subset L(C^+)$.

Lema 3 : (a) todos pontos regulares P de A é um ponto interno de alguma beaversal que pode ter qualquer direção diferente de $\theta(P)$ ($\theta_P = \partial \theta / \partial P$) (ou $\theta_P = f_2(P)/f_1(P)$)

(b) toda trajetória que intersecte uma beaversal a atravésa e todas as trajetórias desse tipo a cruzam no mesmo sentido

(*) ver demonstração em Giacelia, "Vibrações não-lineares"

(c) Se P_0 é um ponto qualquer interno de ℓ e $E(\ell)$ arbitrário, entre existe uma circunferência unitária Γ tal que tal que toda a trajetória passando por qualjam ponto $P \in \Gamma$ em $t=0$, cruze ℓ em algum instante t , $|t| < \epsilon$

(d) ℓ é um segmento fechado Γ de uma trajetória, cruza ℓ e foge em um número finito de pontos, (reduzindo-se a 1 único ponto se Γ for periódica)

Lema 4: Se $C^+ \subset L(C^+)$ tiverem um ponto em comum, C^+ é uma trajetória periódica.

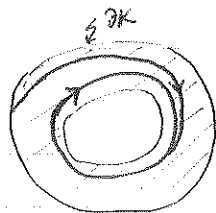
Lema 5: Se $L(C^+)$ contiver uma trajetória periódica Γ^* , então $L(C^+) = \Gamma^*$.

Teorema de Poincaré-Bendixson: Se $C^+ \subset K \subset A$ e se $L(C^+)$ consistir apenas de pontos regulares entre os $C^+ = L(C^+)$ é uma trajetória periódica ou $L(C^+)$ é uma trajetória periódica.

Dem: Com efeito, se C^+ for periódica, $C^+ = L(C^+)$. Se C^+ não for periódica, pelo Lema 2, existe uma trajetória completa $\Gamma \subset L(C^+) \subset K$. Seja $P_0 \in L^+(\Gamma)$, isto é $P_0 \in K$, pelo Lema 2, também $P_0 \in L(C^+)$. Logo P_0 é um ponto regular e podemos traçar uma báscula ℓ por P_0 . Claramente, $P_0 \in \Gamma^*$ está contido em $L(C^+)$ e ℓ só pode encontrar C^+ em P_0 . Mas P_0 é um ponto-límite de Γ^* e, portanto, ℓ deve encontrar Γ^* em algum ponto, que é uma

riamente P . Pelo Lema 4, r é perpendicular e pelo Lema 5, $r = L(P^+) = L(C^+)$.

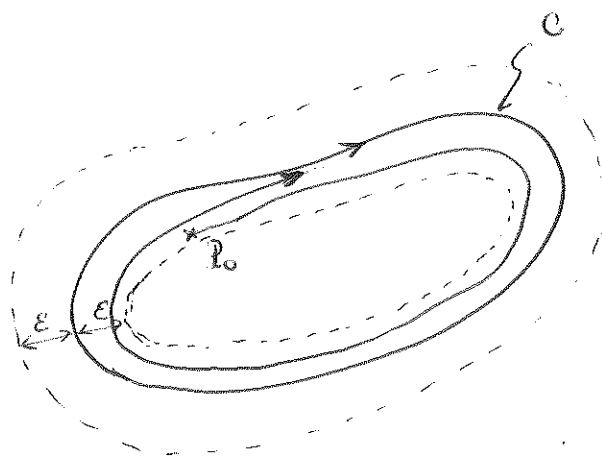
Corolário:



Se $C^+ \subset KCA$ e não existirem pontos singulares em K , então K contém uma solução periódica. Tal solução é necessariamente $L(C^+)$ e é um arco-límite.

Estabilidade Orbital

Consideremos uma trajetória completa C fechada, de período T , dada por $x = x(t)$ e $y = y(t)$. Como o sistema é autônomo $X(t-\tau) \in Y(t-\tau)$ também é solução para qualquer C . Seja $\{P, C\}$ a distância de um ponto P a curva C . A órbita C é dita estável se, dados um $\epsilon > 0$ arbitrário, existir um $\delta > 0$ tal que toda solução $x(t), y(t)$ que passa em $t = t_0$ num ponto $P_0 = (x_0, y_0)$ com $\{P_0, C\} < \delta$ tenha a propriedade $\{P(t), C\} < \epsilon$ para todos $t > t_0$.



A órbita C é dita assimptoticamente estável se

fora estável e se existir um $\epsilon_0 > 0$ tal que toda a trajetória $x(t), y(t)$ que num instante $t=0$ parte por P_0 com $\{P_0, C\} \leq \epsilon_0$, fora tal que $\{P(t), C\} \rightarrow 0$ para $t \rightarrow \infty$.

Suponhamos uma região K acicular no plano de forma retangular com as seguintes propriedades

- (a) não há pontos singulares do sistema dinâmico nem em K nem em sua fronteira ∂K
- (b) as soluções que passam por ∂K entram novamente em K .

Nestas condições vale o seguinte teorema:

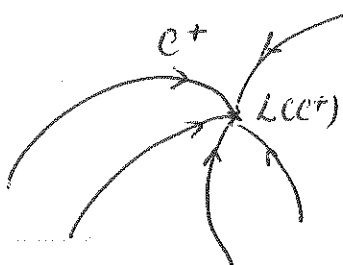
Segundo Teorema de Bendixson (ou princípio da corda)

Para toda curva- trajetória C^+ , iniciando em um ponto qualquer de ∂K , temos que $C^+ \subset K$ e portanto K contém uma solução periódica C_0 , em dezenas das formas acima. Por outro lado, se soubermos que C_0 é uma órbita em K então ela é certamente estável.

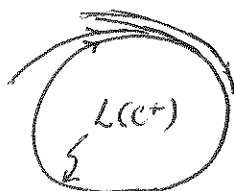
Teorema: Se $C^+ \subset K \subset A$ conter um número finito de pontos singulares estab., uma das três alternativas pode ocorrer

- (a) $L(C^+)$ é um único ponto singular e C^+ a ele tende, $t \rightarrow +\infty$.
- (b) $L(C^+)$ é uma trajetória periódica
- (c) $L(C^+)$ consiste de um número finito de pontos singulares e de um ou-

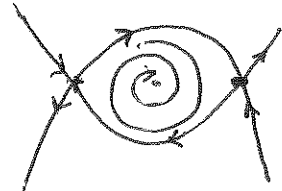
-junto de trajetórias completas ou ligadas
nesses pontos, de forma que para cada $L(C^+)$ e $L(C^-)$ são dois outros pontos
singulares



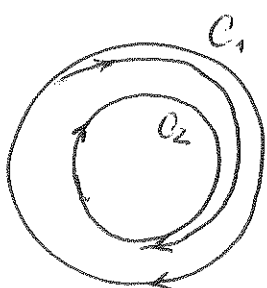
modo ou
foco
(ou reia)



círculo-limite



Teorema



Sejam C_1 e C_2 duas trajetórias periódicas num contorno no interior de outra.
Suponhamos que não haja nenhum ponto singular e nenhuma órbita
trajetória periódica na região ambar definida por C_1 e C_2 . Nestas
condições C_1 e C_2 não podem ser,
ambas, orbitalmente estéticas das
lados' internos à região ambar.

Segue que:

dois círculos-limite sucedentes e
concentricos, sem nenhum ponto
singular interior ao anel formado,são alternativamente
coberto e inscrito.

Primeros Teorema de Teodorison (ou Límite Negativo)

Seja C uma trajetória fechada de período T e R a região interior a C . Pela teorema de Gauss

$$\iint_R \operatorname{div} \vec{F} dS = \oint_C (\vec{F}_y dx - \vec{F}_x dy) =$$

$$= \oint_C (i dy - j dx) = \int_0^T (i \frac{dy}{dt} - j \frac{dx}{dt}) dt = \int_0^T (i \dot{y} - j \dot{x}) dt = 0$$

Então: em uma região simplesmente conexa onde $\operatorname{div} \vec{F}$ tiver o mesmo sinal não pode existir nenhuma trajetória perpendicular.

Exemplos de Aplicações do Segundo Teorema de Teodorison

$$(1) \quad r = 1 - r^2 \\ \theta = 1$$

$$\frac{dr}{d\theta} = 1 - r^2 \quad \begin{cases} > 0 & \text{se } r < 1 \\ = 0 & \text{se } r = 1 \\ < 0 & \text{se } r > 1 \end{cases}$$

É evidente a existência de um círculo limite que é uma confeção de dois umbelhos.

No entanto podemos ter corolário uma única região K amarrada delimitada por curvas formadas de raios $r_1 < r < r_2 > 1$ e centros em O .

Este anel satisfaz as condições da 2^a teorema pois não existem singularidades nem em K nem em suas fronteiras. Existe portanto um círculo limite no interior do anel.

$$(2) \quad \begin{aligned} \dot{x} &= -ay + x(1-x^2) & x^2 + y^2 \\ \dot{y} &= A + ax + y(1-x^2) \end{aligned}$$

para x suficientemente grande os trajetórios dirigem-se para dentro, ficando assim transformados a origem para um ponto singular ($\Rightarrow A=0$ a origem é um ponto singular) de tal forma que $\xi = x-x_0$
 $\eta = y-y_0$
o sistema fica reduzido à forma, localmente

$$\dot{\xi} = \xi - a\eta + \dots$$

$$\dot{\eta} = a\xi + \eta + \dots$$

$(\xi, \eta) = (0,0)$ é um ponto instável e, como não existe nenhuma outra singularidade o critério da menor rotação que existe uma solução periódica, portanto estável, anelada numa região finita.

Exemplos de aplicações do Critério Negativo de Bendixson

$$(1) \quad \begin{aligned} \dot{x} &= -Bx - Ay + f(x) & (\text{comum todo gerador} \\ \dot{y} &= -Ax - By + f(y) & \text{por 2 geradores em} \\ & & \text{paralelos}) \end{aligned}$$

$f(x) \neq f(y)$ são as componentes da potencial nas geradoras em função da corrente elétrica. ($f(0)=0$)

$$\frac{dy}{dx} = \frac{f(y) - Ax - By}{f(x) - Bx - Ay}$$

$$dvF = \frac{df(x)-B}{dx} + \frac{df(y)-B}{dy} > 0$$

Se $\frac{df(x)-B}{dx} > 0$ e $\frac{df(y)-B}{dy} > 0 \Rightarrow dvF > 0$ e pelo critério negativo de Bendixson no haverá círculo limitado.

Ot punts singulars són dades per

$$f(y) = Ax + By$$

$$f(x) = Bx + Ay$$

que fan una recta particular dada per $x=y$

$$f(x) = (A+B)x$$

O titanes linear amovides i' dada per

$$\dot{x} = -(B-\beta)x - Ay \quad \beta = \frac{df(0)}{dx}$$

$$\dot{y} = -Ax - (B-\beta)y$$

on ref = $\det \begin{bmatrix} B-\beta-\lambda & A \\ A & B-\beta-\lambda \end{bmatrix} = 0 \Rightarrow B-\beta-\lambda = \pm A$

on $\lambda_1 = A-B+\beta$

$$\lambda_2 = -A-B+\beta$$

A orígen són:

node instàcil : $\lambda_1, \lambda_2 > 0$

scla : $\lambda_1 > 0 < \lambda_2 < 0$

node estàbil : $\lambda_1, \lambda_2 < 0$

$\beta_2 = A+B$ i' valor crític \rightarrow node instàcil \Leftrightarrow scla

$\beta_1 = B-A$ i' valor crític \rightarrow node estàbil \Leftrightarrow scla

Per a α petit ($(\beta-\beta) > 0$) regula punts a la proximitat de horitzontal (no) - eix - límit (desde que no hi ha valors crítics més segons abixir)

$$(2) \quad \dot{x} - \mu \dot{y} + \dot{x}^3 + x = 0$$

$$\begin{aligned} x &= y &= F_1(x, y) \\ y &= -x + y(\mu - y^2) &= F_2(x, y) \end{aligned}$$

punto fijo: 0

$$\operatorname{div} \vec{F} = \mu - 3y^2$$

(i) sistema linearizado

$$\dot{x} = y$$

$$\dot{y} = -x + \mu y$$

$$\lambda_{1,2} = \frac{1}{2} \left(\mu \pm \sqrt{\mu^2 - 4} \right)$$

$\mu < -2$: $\lambda_1, \lambda_2 < 0$: no estable

$\mu = -2$: $\lambda_1 = \lambda_2 = -1$

$0 > \mu > -2$: $\lambda_1 = \bar{\lambda}_2$, $\operatorname{Re}(\lambda_1) < 0$: foco estable

$\mu = 0$: bifurcación de Hopf.

$0 < \mu < 2$: $\lambda_1 = \bar{\lambda}_2$, $\operatorname{Re}(\lambda_1) > 0$: foco instable

$\mu > 2$: $\lambda_1, \lambda_2 > 0$: no estable.

(ii) O análogamente é' possível para $\dot{x} = y$ suficientemente grande

Se $\mu < 0$: $\operatorname{div} \vec{F} < 0$ sempre : não existe ciclo limite pós-estável negativo de Bendixson

$$\mu > 0 : \operatorname{div} \vec{F} \begin{cases} < 0 & : y^2 > \mu/3 \\ = 0 & : y^2 = \mu/3 \\ > 0 & : y^2 < \mu/3 \end{cases}$$

existe a possibilidade de aparecer um ciclo limite estável circundando um foco $(0, 0)$ ($\mu < 0$) ou no instável ($\mu > 2$).

$\mu = 0$ é ponto de bifurcação (de Hopf no caso)

6. Índice de uma singularidade

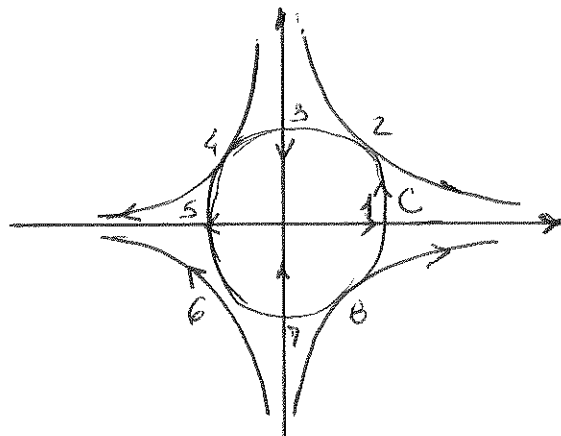
Considere uma curva C fechada em torno de um ponto de equilíbrio de um sistema plano

$$\dot{x}_1 = \dot{x} = F_1(x, y) = F_1(x_c, y_c)$$

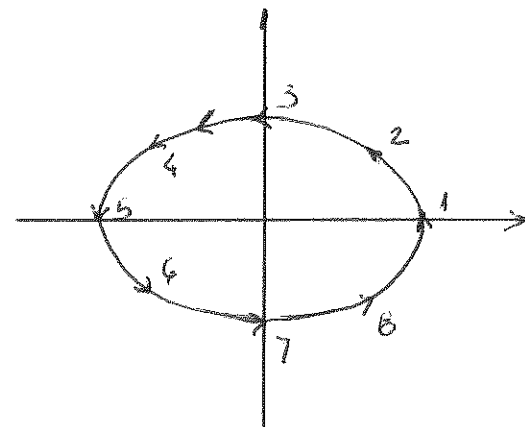
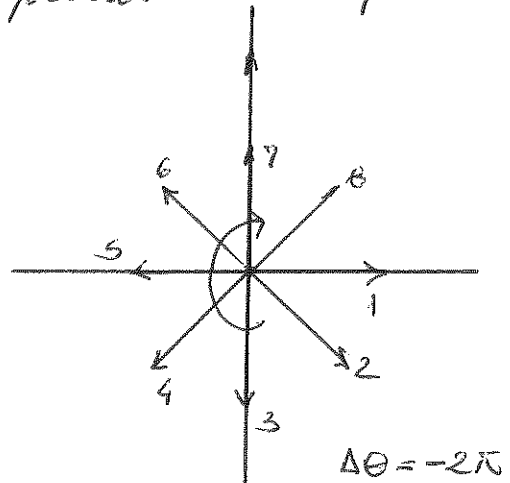
$$\dot{x}_2 = \dot{y} = F_2(x, y) = F_2(x_c, y_c)$$

A medida que a curva C é percorrida no sentido anti-horário (positivo) desenhamos o diagrama polar do campo vetorial \vec{F} .

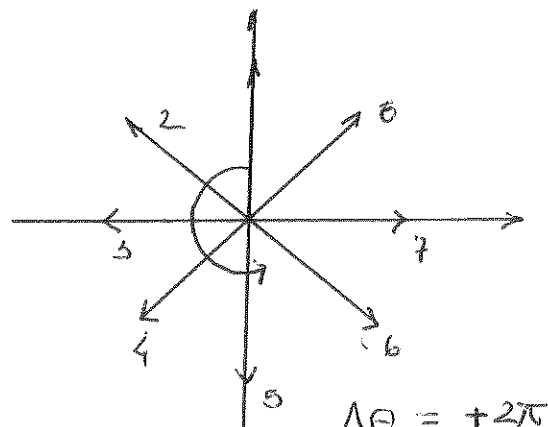
As figuras abaixo ilustram curvas em torno de (a) ponto de vórtex (b) centro e seus respectivos diagramas polares do campo \vec{F}



(a)



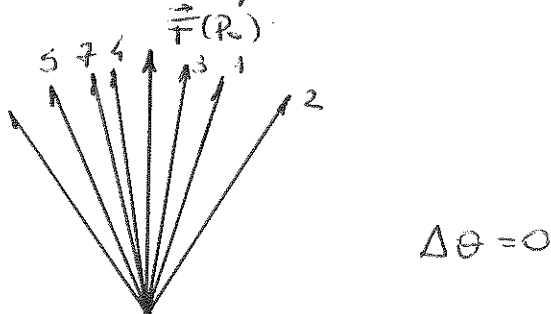
(b)



Com regras $\Delta\theta = -2\pi$ para o fluxo entre os portos de saída e $\Delta\theta = +2\pi$ no caso dos entrados. O comportamento no caso de um ou dois é idêntico ao dos vetores.

Se, por outro lado C for fechado em forma de um ponto regular, i.e. $\vec{F}(P_0) \neq \vec{0}$, o diagrama sobre do campo não completa uma volta completa.

Exemplo



Pode-se imaginar uma volta do vetor \vec{F} retornando à posição original sem completar uma volta. Neste caso $\Delta\theta = 0$

Estas regras motivam a definição do índice de uma curva fechada C em relação ao campo vetorial \vec{F} .

Seja entre $\theta(s)$ o ângulo que $\vec{F}(s)$ faz com o eixo $x_1 = x$ quando C é percorrida. Queremos:

$$\operatorname{tg} \theta = \frac{\vec{F}_2(s)}{\vec{F}_1(s)}$$

Logo

$$\frac{d\theta}{ds} = \frac{\vec{F}_2' \vec{F}_1 - \vec{F}_1' \vec{F}_2}{\vec{F}_1^2 + \vec{F}_2^2}$$

para

$$\frac{d}{ds}(\operatorname{tg} \theta) = \frac{\vec{F}_2' \vec{F}_1 - \vec{F}_1' \vec{F}_2}{\vec{F}_1^2}$$

$$(1 + \bar{F}'\theta) \frac{d\theta}{ds} = \frac{\bar{F}_2' \bar{F}_1 - \bar{F}_1' \bar{F}_2}{\bar{F}_1^2}$$

$$\frac{d\theta}{ds} = \frac{\bar{F}_2' \bar{F}_1 - \bar{F}_1' \bar{F}_2}{\bar{F}_1^2 (1 + (\frac{\bar{F}_2}{\bar{F}_1})^2)} = \frac{\bar{F}_1 \bar{F}_2' - \bar{F}_1' \bar{F}_2}{\bar{F}_1^2 + \bar{F}_2^2}$$

Definimos o índice $I(C; \vec{F})$

$$I(C; \vec{F}) = \frac{1}{2\pi} \oint_C \frac{d\theta}{ds} ds = \frac{1}{2\pi} \oint_C \frac{\bar{F}_1 \bar{F}_2'(s) \bar{F}_1(s) - \bar{F}_1'(s) \bar{F}_2(s)}{\bar{F}_1^2(s) + \bar{F}_2^2(s)} ds$$

Termos presentes

- (i) $I(C; \vec{F}) = 0$: (se no intersecta a curva C os pontos forem regulares)
- (ii) $I(C; \vec{F}) = +1$: (se no intersecta de C existe somente um centro, ou não um foco)
- (iii) $I(C; \vec{F}) = -1$; (se no intersecta de C existe somente um ponto de foco)

Sé a curva C circundar mais de uma singularidade teremos:

$$I(C; \vec{F}) = \sum_{i=1}^N I(C_i; \vec{F})$$

onde C_i indicam curvas que encerram cada uma das singularidades, isoladamente.

Este resultado é análogo ao teorema da

sendo, em função analítica de uma variável complexa.

Se $\vec{F} = \vec{F}(x, y; \lambda)$, a um parâmetro, os pontos de equilíbrio dependem de λ .

I indica $\tilde{I}(C, \vec{F})$ permanece invariante se, ao variares λ , nenhum ponto de equilíbrio entre a curva C (ou seja $F_x = F_y = 0$ implicaria em uma singularidade no definido de I).

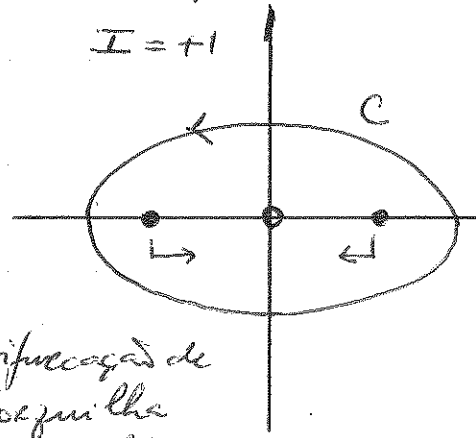
Segue, portanto, que:

- (1) I indica de uma curva fechada não contendo singularidades é zero
- (2) $I(C, \vec{F}) = \sum_{i=1}^N I(C_i, \vec{F}) = \sum_i I_i(C, \vec{F})$
- (3) I indica de uma trajetória periódica é +1
- (4) I indica de uma curva fechada em etapas e para as quais as regras do campo estão dirigidas ou todos para pra ou para dentro é +1
- (5) Uma trajetória periódica contém em seu interior ao menos uma singularidade cujo índice é +1.
- (6) Uma trajetória fechada pode ter n vértices ($n \geq 3$) singularidades sendo, então, a soma algébrica de seus índices +1.
- (7) Uma trajetória fechada pode ter, em seu interior um único vértice, um vértice fuso ou um vértice cunha, mas nunca

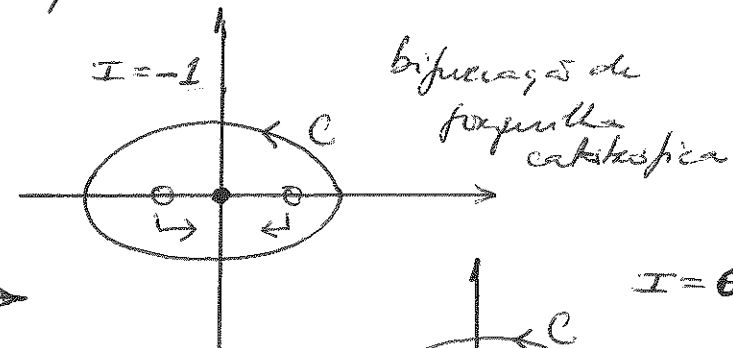
um único ponto de sela

- (8) Uma trajetória fechada somente pode conter em seu interior um número ímpar de pontos singulares: n pontos de sela e $(n+1)$ pontos de qualquer outro tipo.
- (9) Não podem existir trajetórias periódicas num sistema que não apresente singularidades.
- (10) Se um sistema tem uma única singularidade e seu índice é $\epsilon + 1$, as trajetórias periódicas são impossíveis.
- (11) Se um sistema tem um número finito de singularidades tal que a soma algébrica de seus índices não é $\epsilon + 1$, trajetórias fechadas que incluem em seu interior todas as singularidades não são possíveis.
- (12) Em um sistema tendo uma única singularidade de índice $\epsilon + 1$ e à qual tendam trajetórias, vindas do infinito, movimentos periódicos são impossíveis.

C :唯 e trajetórias

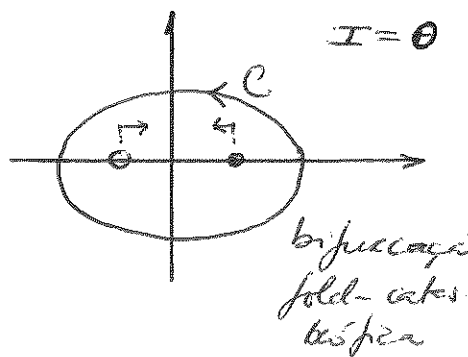


bifurcação de
forquilha este



• sela
• contos

bifurcação de
forquilha
catástrofia



bifurcação
fold-cata-
cástrofia

IV. ELEMENTOS DA TEORIA DE SIFURCAÇÕES

Um sistema dinâmico é dito estruturalmente estável se para qualquer perturbação suficientemente pequena o fluxo imediatamente é equivalente ao do sistema original.

Vamos anteriormente o conceito de sistemas dinâmicos dependentes de um parâmetro de controle.

Considere o sistema bidimensional

$$\dot{x} = f_\mu(x, y)$$

$$\dot{y} = g_\mu(x, y)$$

μ : parâmetros de controle

A pergunta é: welche das pontos de equilíbrio podem depender dos parâmetros μ . Se em um certo μ_0 existe alterações topológicas do espaço de fase dizeremos que este é um ponto de bifurcação. O conceito de bifurcação foi introduzido por Poncaré.

Exceto em casos simples de variação de estabilidade de pontos de equilíbrio, o fenômeno de bifurcação somente se verifica em sistemas não-lineares.

Considere o sistema linear

$$\dot{x} = -y + \lambda x$$

$$\dot{y} = x + \lambda y$$

$$\lambda > 0$$

λ é o parâmetro de controle

Sé $\lambda = 0$ o sistema fica reduzido a

$$\dot{x} = -y$$

$$\dot{y} = x$$

com trajetórias de foco $x^2 + y^2 = a^2$, a origem é um círculo. Para qualquer alargamento arbitráriamente pequeno em torno de $\lambda = 0$ a origem se transforma em um foco (estável se $\lambda > 0$). $\lambda = 0$ é portanto um ponto de bifurcação. O sistema é estacionário instável nas vizinhanças de $\lambda = 0$.

1. Panorama Geral

1.1 Bifurcações de dobra ("fold") ou sela-nós

Considera

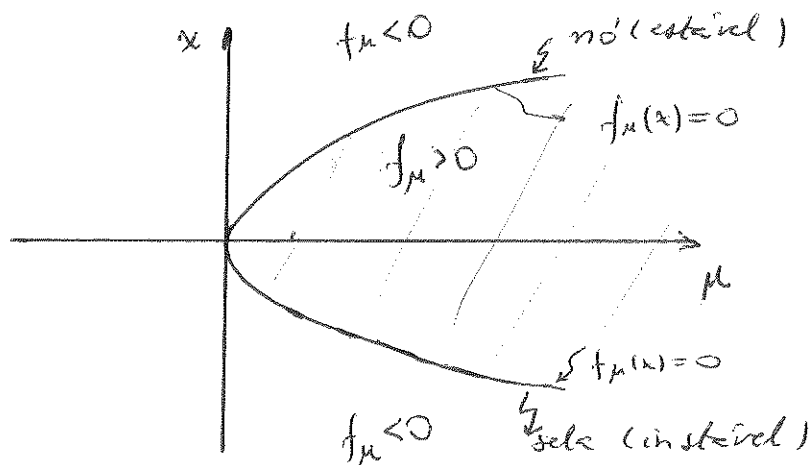
$$\dot{x} = \mu - x^2 = f_\mu(x)$$

$f_\mu(x) = 0$ define $(\mu, x) = (0, 0)$ como ponto crítico. Só nisso

$$f_\mu(x) = \mu - x^2 = 0$$

tem soluções reais se $\mu \geq 0$, $x = \pm\sqrt{\mu}$.

Sé fizermos o diagrama (μ, x)



podemos aplicar o "criterio de Poincaré" visto anteriormente (páginas 26-27)

A condição de estabilidade dos pontos de equilíbrio pode ser escrita da forma

$$\left(\frac{df_\mu}{dx} \right)_{x=\bar{x}} < 0$$

No presente caso $\frac{df_\mu}{dx} = -2x$ de tal forma que

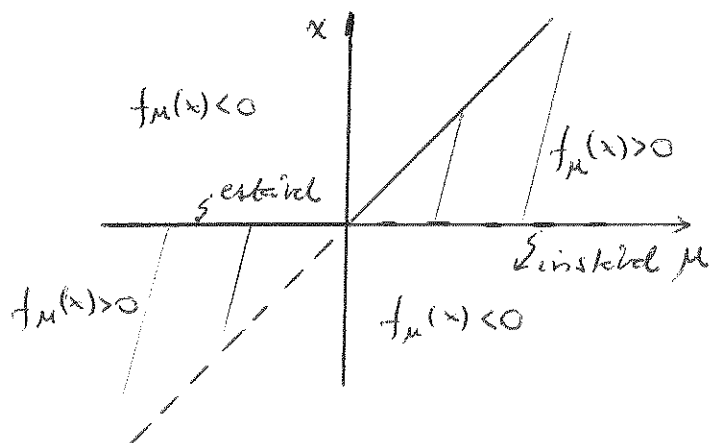
$$\left(\frac{df_\mu}{dx} \right)_{x=\pm\sqrt{\mu}} \leq 0 \quad \text{e o ramo superior é instável}$$

sendo instável o inferior.

1.2 Bifurcação Transcritica

Considerem $\dot{x} = \mu x - x^2 = f_\mu(x)$. Temos pontos de equilíbrio $x=0$ e $x=\mu$. São ramos portanto. No entanto $\frac{df_\mu}{dx} = \mu - 2x$ e assim $\left(\frac{df_\mu}{dx} \right)_0 = \mu$, negativo se $\mu < 0$, também

$\left(\frac{df_\mu}{dx} \right)_\mu = -\mu$, positivo se $\mu < 0$. Os ramos "trocam" de estabilidade quando $\mu = 0$



1.3 Bifurcações de Foco-núcleo (Pitch-fork)

(a) Superestável (liso)

Em $\dot{x} = \mu x - x^3 = f_\mu(x)$, $\mu > 0$ ($x, \mu \in (0, \infty)$) temos pontos de bifurcação. Os pontos de equilíbrio são dados por $x=0$ e $x = \pm\sqrt{\mu}$. Temos

$$\frac{df_\mu}{dx} = \mu - 3x^2$$

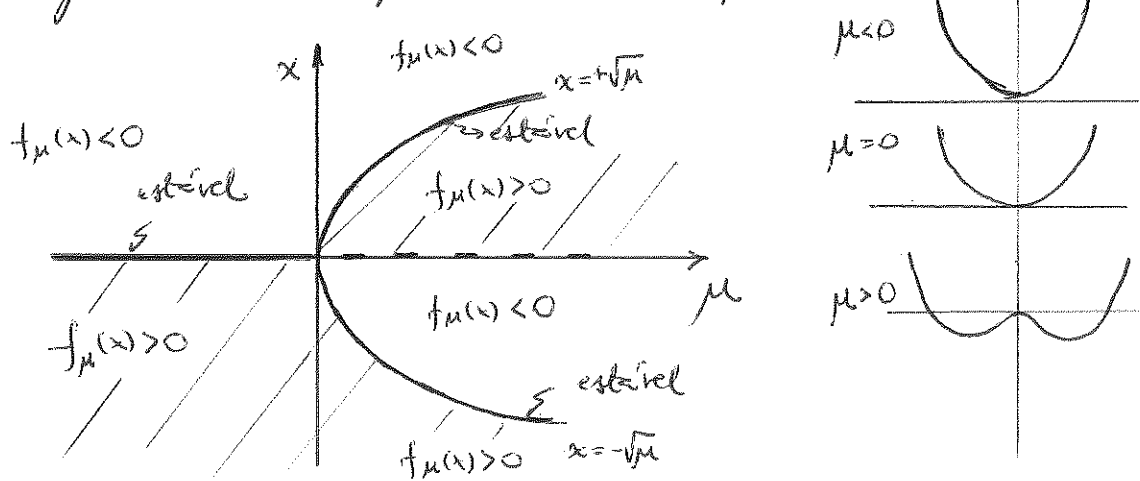
e portanto

$$\left(\frac{df_\mu}{dx}\right)_0 = \mu, \text{ negativo (positivo) para } \mu < 0 (\mu > 0).$$

e

$$\left(\frac{df_\mu}{dx}\right)_{\pm\sqrt{\mu}} = -2\mu, \text{ positivo (negativo) se } \mu < 0 (\mu > 0)$$

O diagrama correspondente é portanto



No caso de um oscilador cúbico (soft)

$$\ddot{x} + \alpha_1 x + \alpha_3 x^3 = 0 \quad (\alpha_1, \alpha_3 < 0)$$

ou

$$\dot{x} = y$$

$$\dot{y} = -\alpha_1 x - \alpha_3 x^3$$

Os pontos de equilíbrio são: $(0, 0)$ e $(\pm\sqrt{-\alpha_3}, 0)$

Podemos resumir a figura 5 como

$$\dot{x} + \mu x + x^3 = 0$$

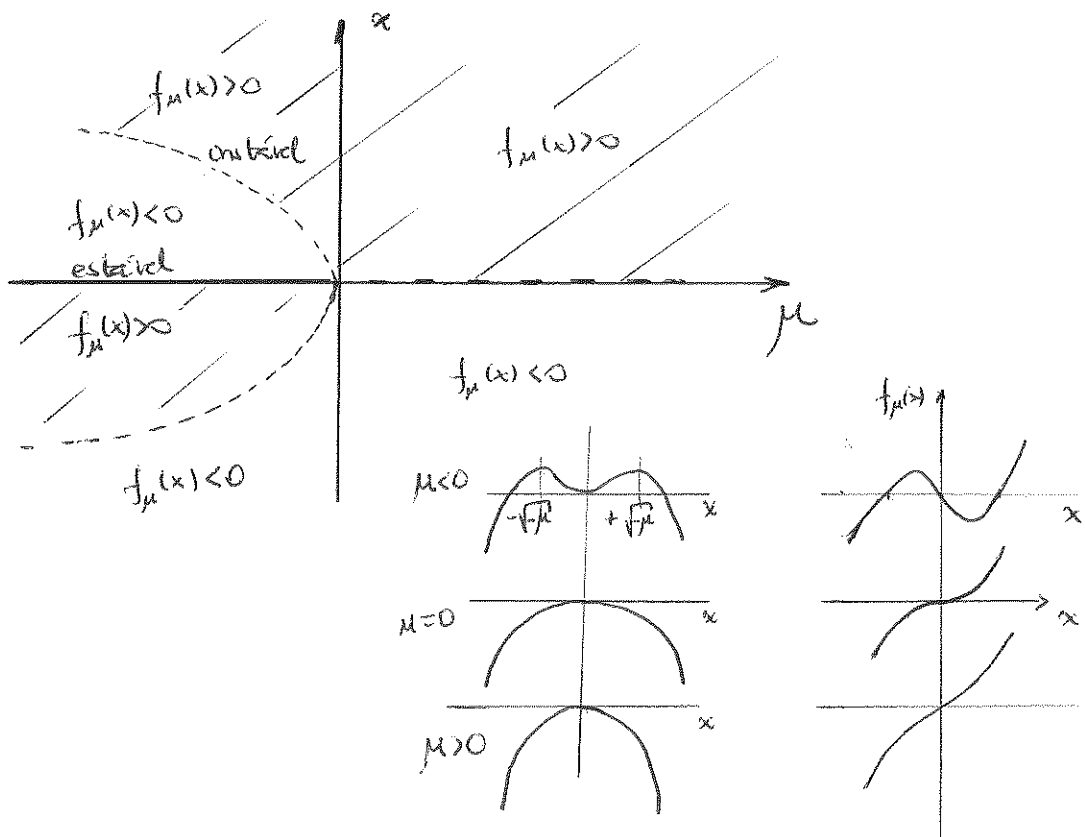
com $\mu = -\alpha_1 x_3$ e $x = x_1 x_3$. Os pontos de equilíbrio são $(0, 0)$ e $(\pm\sqrt{\mu}, 0)$ e para $\alpha_1 x_3 < 0$, o que implica $\mu > 0$ temos estabilidade dos ramos $\dot{x} = \pm\sqrt{\mu}$. O diagrama anterior em (μ, x) se aplica (com $\dot{x} = 0$).

(b) Subcritica (catastófica)

Em $\dot{x} = \mu x + x^3 = f_\mu(x)$ $\dot{x} = 0$ é ponto de equilíbrio. No entanto $\dot{x} = \pm\sqrt{\mu}$ são pontos de equilíbrio apenas se $\mu < 0$. Temos

$$\left(\frac{df_\mu}{dx}\right)_0 = \mu, \text{ negativo para } \mu < 0$$

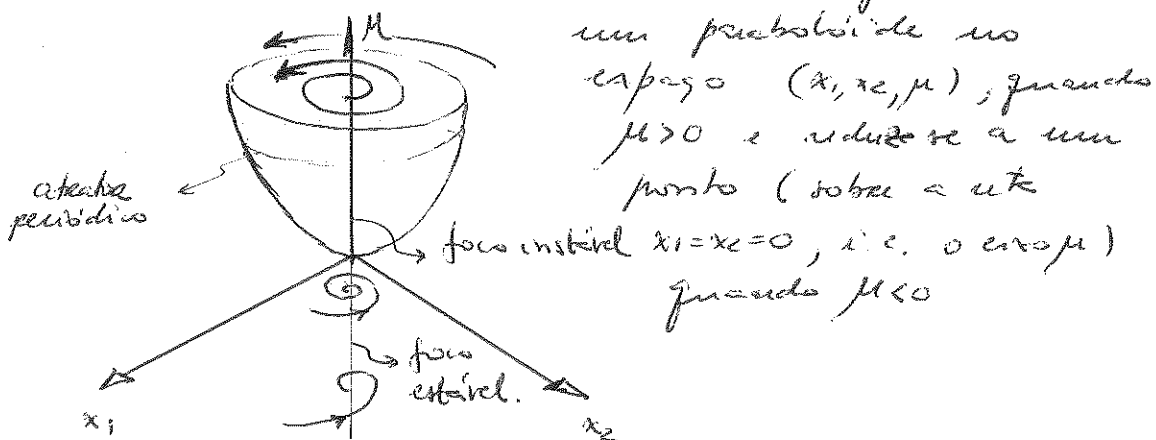
$$\left(\frac{df_\mu}{dx}\right)_{\pm\sqrt{\mu}} = -2\mu, \text{ negativo se } \mu > 0$$



1.4 Bifurcações de Hopf

É "ponto que dá origem a um círculo limitado". Um ponto estável pode se tornar instável, por exemplo, dando origem a um atorador periódico em seu entorno. Neste caso a bifurcação é dita supercritica.

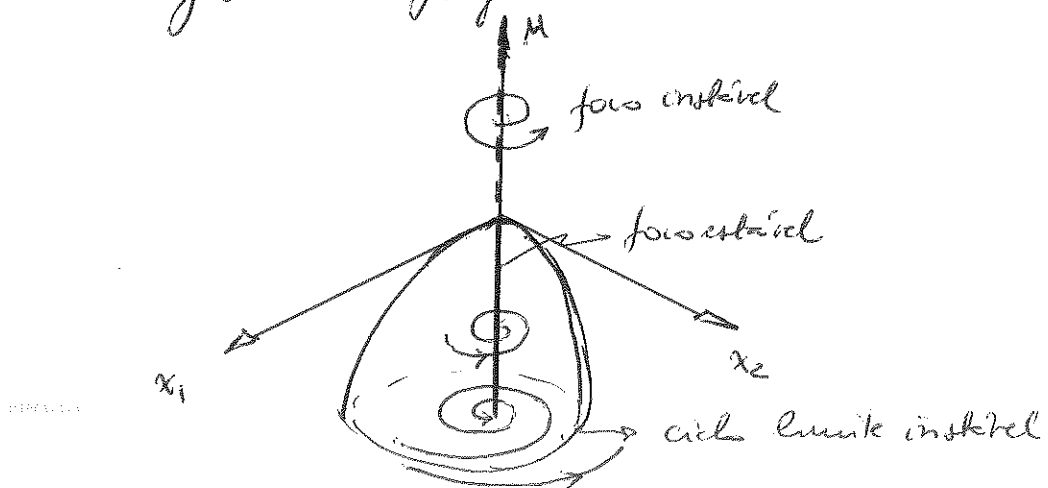
O diagrama qualitativo correspondente pode ser visualizado abaixo. O atorador está sobre um parabólico no espelho (x_1, x_2, μ) , quando $\mu > 0$ e reduz-se a um ponto (sobre o eixo $x_1 = x_2 = 0$, i.e. o espelho) quando $\mu < 0$.



O ponto $(0, 0, 0)$ no espelho (x_1, x_2, μ) é dito um ponto de Hopf. O resultado anotado com anotações círculos, deserto na página 62, é um exemplo típico de instabilidade estrutural grande $\mu = 0$.

Note que o atorador muda de dimensão.

A bifurcação de Hopf pode ser subcritica, de forma análoga à de foquinho.

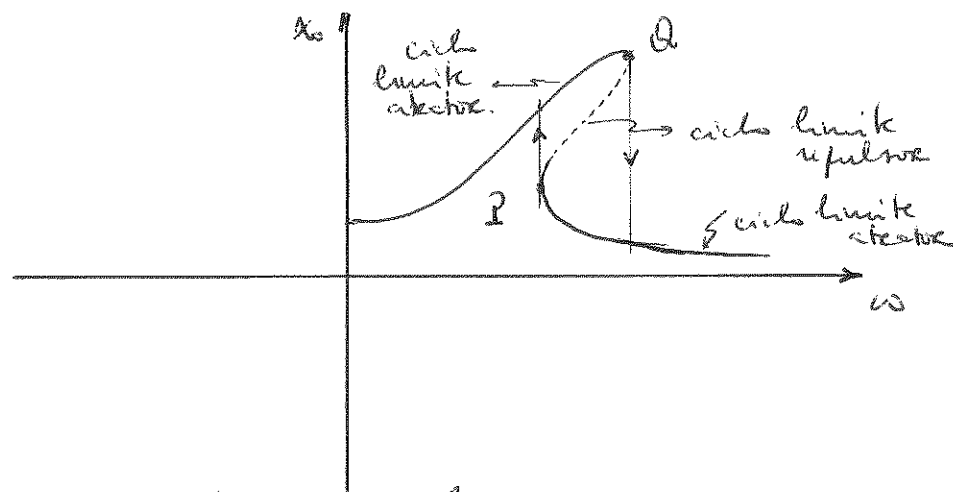


1.5 Bifurcações de dobra cíclica

A equação de Duffing (oscilador elástico amassado forçado)

$$\ddot{x} + d\dot{x} + x + \alpha x^3 = f_0 \cos \omega t$$

exibe, em função dos parâmetros da onda ω , bifurcações de dobra-cíclica. Seguimos agora os parâmetros d, α constantes (fixos). Seja x_0 a amplitude da resposta a uma dada excitação de amplitude f_0 e frequência ω . O diagrama de resposta em frequência típico é dado por



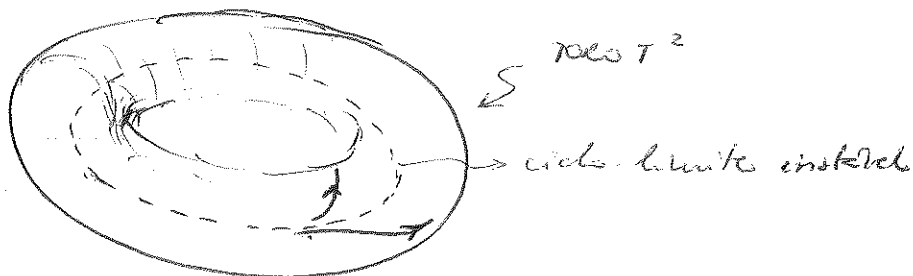
que é um "círculo de hysteresis". Ocurre um salto nos pontos P e Q.

1.6 Bifurcações "Flip" ou de Duplicações de Período

Ocorre em espacos de fase de dimensão maior ou igual a 3. Um exemplo é a frequência que transpõe um período estrado em um círculo limite, através de uma bifurcação de Hopf e, em seguida, o círculo limite se bifurca sobre uma "fita de Möbius", duplicando assim o período de permuta.

1.7 Bifurcações Scindáticas de Hopf (ou de Neimark)

Exige um espaço de fase de dimensão maior ou igual a 3. Um círculo limite pode se estabilizar, bidimensionalmente, dando origem a um atractor sobre um toro bidimensional (T^2).



Poderemos dizer que T^2 está para o círculo limite que o originou assim como o círculo límite está para o pôlo que o originou na bifurcação de Hopf.

LISTA DE EXERCÍCIOS #03

- (1) Exercício (15) pg. 62 - Ferrara & C. Pecado
 (a), (c), (g), (h), (i), (j)

(2) Dado o sistema

$$\dot{x} = -x - (x + \gamma)y + \delta$$

$$\dot{y} = -y + (x + \gamma)x$$

estudar a evolução das trajetórias de fase para

$$\gamma > 0 \text{ e } \delta > 0$$

(3) Mostrar que a equação de Van der Pol

$$\ddot{x} - \mu(1-x^2)\dot{x} + x = 0$$

tem, se $\mu \neq 0$, uma e uma única solução periódica.

Estudar o sistema nas vizinhanças de $\mu = 0$

Estudar o sistema

IV - MAPAS

Considera um sistema dinâmico contínuo não-linear e seu fluxo Φ_t . Este fluxo pode originar um mapa

$$\tilde{x}_{i+1} = \tilde{\Phi}_\mu(\tilde{x}_i)$$

onde i designa as passagens sucessivas por uma superfície (hiper-superfície) que restringe o fluxo.

Pode-se dizer que mapa é um sistema dinâmico que evoluí no tempo de forma discinta.

O mapa será liso se o fluxo que o originou for liso (classe C^k) (diz-se cubo que tratamos de um difeomorfismo).

A seção gerada pelo mapa é constituída por um número de pontos $(x_i)_n$, constituída a partir de seções de diferenças acima.

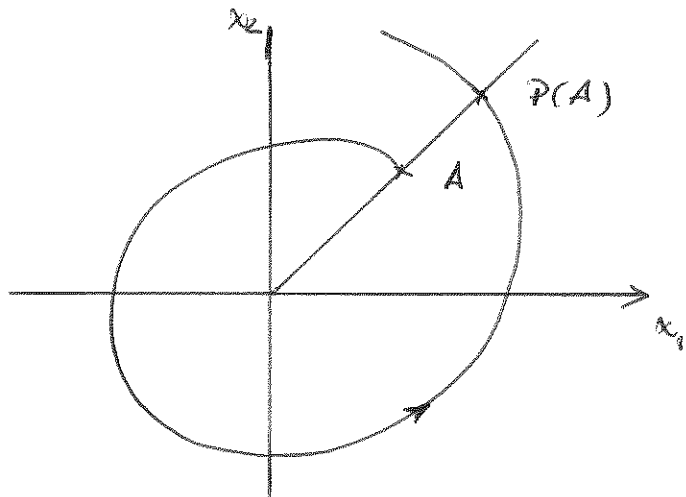
1. O mapa de Poincaré

O mapa de Poincaré (ou aplicação) é umas das formas de construir um mapa liso a partir de um fluxo liso. Isto é feito identificando-se, em um espaço $(n-1)$ dimensional do espaço de fase os mesmos pontos de intersecção de um fluxo. Observe-se, se a trajetória austral é periódica (um ciclo-límite, por exemplo)

O mapa reduz-se a um número finito de pontos fixos.

Vejamos um exemplo em planos bi-dimensionais.

Suponha a origem um ponto de equilíbrio com índice +1 (foco, no centro) e tecemos uma reta, pela origem, com orientação arbitrária.

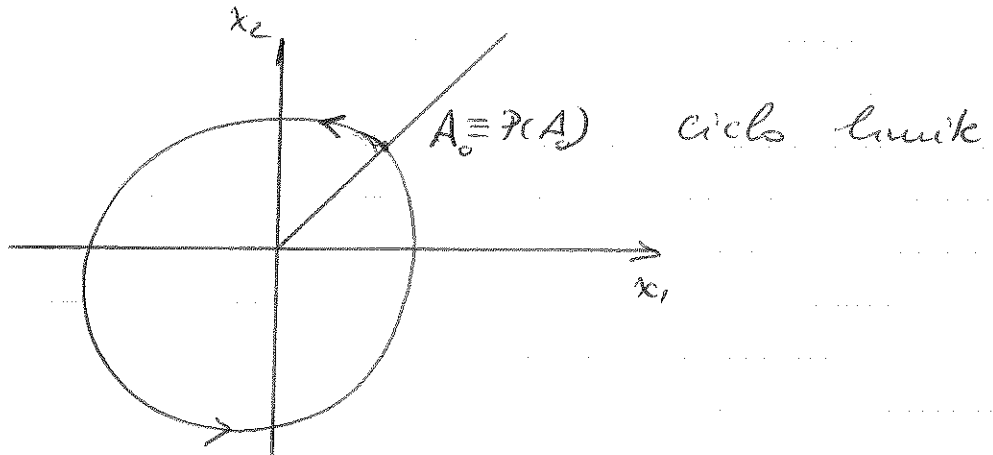


Seja A um ponto arbitrário desta (semreta) e $P(A)$ o ponto onde a beira da semreta intercepta a semi-reta pela segunda vez.

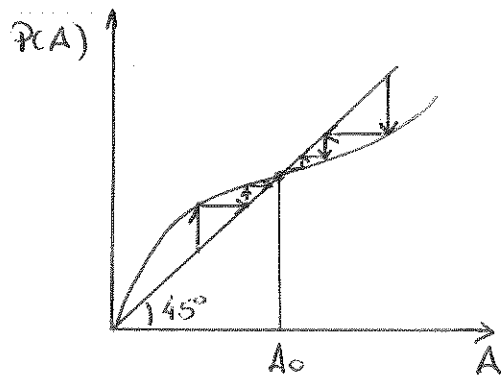
A função $P(A)$ é a "aplicação de Poincaré".

Um ciclo limite não definido por

$$P(A_0) = A_0$$

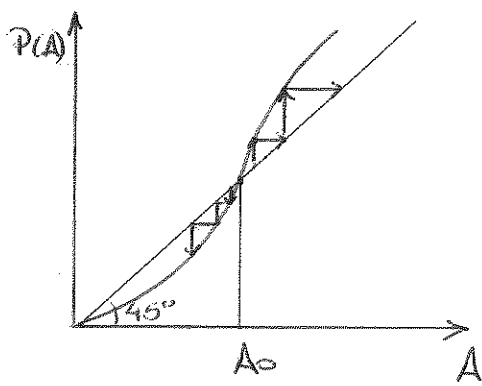


A natureza dos ciclos-limite, quanto à sua estabilidade, pode ser estudada através da derivada $P'(A)$, em A_0 .



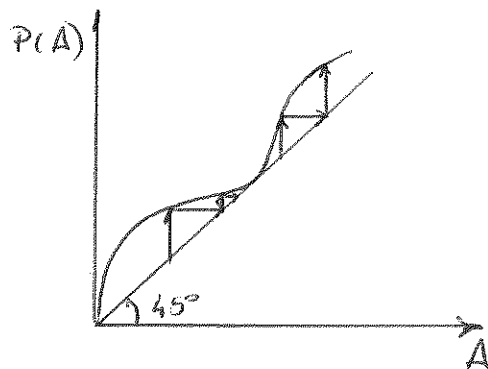
$$P'(A_0) < 1$$

ciclo-limite estável



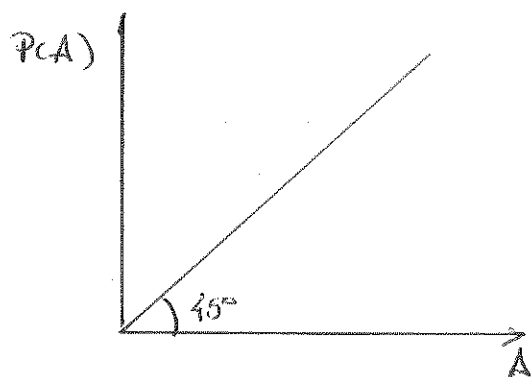
$$P'(A_0) > 1$$

ciclo-limite instável



$$P'(A_0) = 1$$

ciclo-limite
semi-estável



"ciclos-limite
degenerados"

$$P'(A) \equiv 1, \forall A$$

(centro)

Consideremos sistemas formados (bi-dimensional) ou

$$\dot{x} + g(x, \dot{x}) = f(t), \quad f(t) \text{ de período } T$$

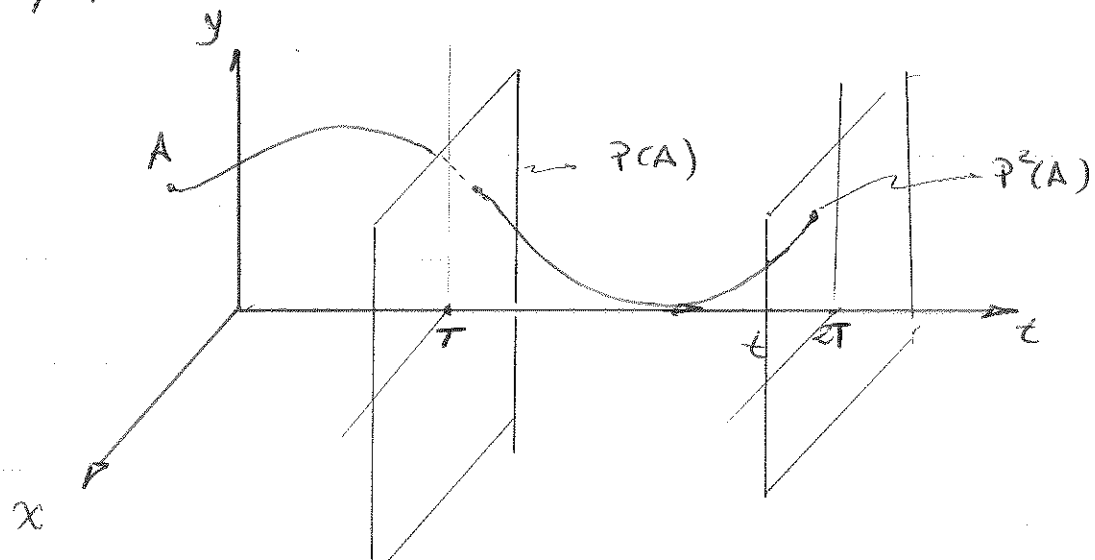
ou

$$\dot{x} = y$$

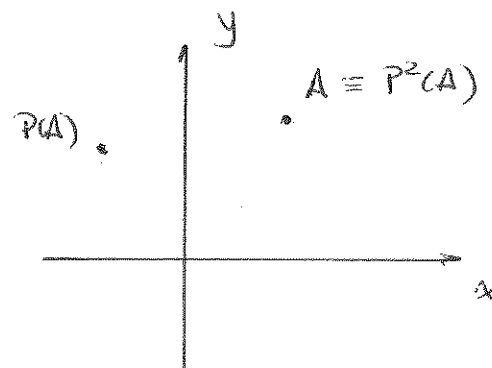
$$\dot{y} = -g(x, y) + f(t)$$

$$\dot{t} = 1$$

O estado é representado por (x, y, t) no espaço bi-dimensional.



$$P^2(A) = P(P(A))$$



Considerar o sistema dinâmico (autônomo) n -dimensional, com soluções periódicas,

$$\dot{\bar{x}} = \bar{f}(\bar{x})$$

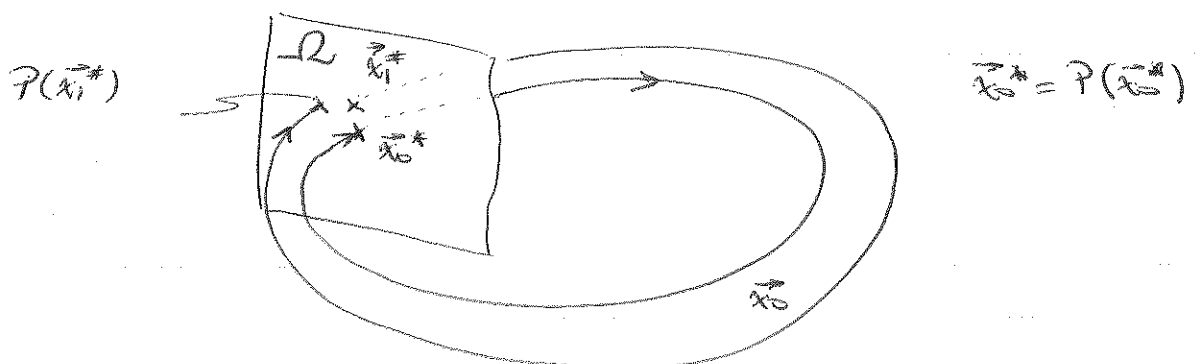
$$\bar{x} = (x_1, x_2, \dots, x_n)$$

$\bar{f}(x)$ é um campo vetorial não-linear.
Se \bar{x}_0 for uma órbita periódica (de período T) associada ao fluxo $\varphi(t)$ e à uma hiper superfície $\Omega \subset \mathbb{R}^n$ ($n-1$)-dimensional, transversal ao fluxo, isto é

$$\bar{f}(\bar{x}) \cdot \bar{n}(\bar{x}) \neq 0, \quad \forall \bar{x} \in \Omega$$

Se \bar{x}_0^* é o ponto onde a órbita \bar{x}_0 intercepta Ω o estudo da estabilidade desse órbita pode ser realizado analisando-se em uma vizinhança de \bar{x}_0^* o mapa.

Seja $U \subseteq \Omega$ este vizinho e \bar{x}_1^* um ponto próximo a \bar{x}_0^* . Seja $C = C(\bar{x}_1^*)$ o tempo necessário para o retorno da trajetória por \bar{x}_1^* à região de Poincaré. Como o fluxo é liso $C \rightarrow T$ com $\bar{x}_1^* \rightarrow \bar{x}_0^*$.



É evidente, mas não é, que uma órbita periódica corresponde a um ponto fixo \bar{x}_0^* da aplicação $P: U \rightarrow \Omega$.

A estabilidade de \vec{x}^* relativamente a \vec{r} reflete a estabilidade da órbita \vec{r}_0 , com iterações as fases $\phi(t)$.

O mapa de Poincaré é constituído pela sequência de pontos desenhados da intersecção das fases com a "seção de Poincaré".

Exemplo (FFEC-7)

$$\begin{aligned}\dot{x} &= x - y - x(x^2 + y^2) \\ \dot{y} &= x + y - y(x^2 + y^2)\end{aligned}$$

ou em coordenadas polares, $x = r \cos \theta$, $y = r \sin \theta$:

$$\begin{aligned}\dot{r} &= r(1 - r^2) \\ \dot{\theta} &= 1\end{aligned}$$

Obtivemos um ciclo-límite estável ouroco para $r \equiv 1$, ou $(r, \theta) = (1, t)$. Se $\mathcal{L} = \{x, x > 0\}$ (ou ainda $\mathcal{L} = \{t > 0, \theta = 0\}$), e com a solução geral da sistema é dada por

$$r = \left\{ 1 + \left(\frac{1}{r_0^2} - 1 \right) e^{-2t} \right\}^{-1/2} = r(r_0, t)$$

$$\theta = t + \theta_0 = \theta(\theta_0, t)$$

$$(c.i. r=r_0, \theta=\theta_0)$$

e' notável que $T = 2\pi$ e o período de oscilação a \mathcal{L} .

A aplicação de Poincaré fixa, para qualquer ponto \bar{x} de Ω , de modo que

$$\mathcal{P}(\bar{x}) = \bar{x} (\bar{x}, \bar{\omega})$$

ou seja

$$\mathcal{P}(\bar{x}) = \left\{ 1 + \left(\frac{1}{\bar{x}^2} - 1 \right) e^{-\frac{4\pi}{\bar{x}}} \right\}^{-\frac{1}{2}}$$

Note que

$$\mathcal{P}(1) = 1$$

isto é, $\bar{x}=1$ é um ponto fixo da aplicação $\mathcal{P}(\bar{x})$.

Se $\bar{x} = 10^{-4}$, p.e.,

$$\mathcal{P}(10^{-4}) = 0.05347$$

$$\mathcal{P}^2(10^{-4}) = \mathcal{P}(\mathcal{P}(10^{-4})) = \mathcal{P}(0.05347) = 0.99939$$

⋮

e $\bar{x}=1$ é um ponto fixo estável.

Em sistemas n -dimensionais com Ω $(n-1)$ -dimensional, se \bar{x}^* for um ponto fixo da aplicação de Poincaré, a estabilidade de \bar{x}^* dará informações sobre a ação da estabilidade de órbita \bar{x} .

2. Mapas unidimensionais

Considera-se um mapa unidimensional

$$x_{i+1} = F(x_i)$$

O ponto x^* é dito um ponto fixo do mapa se

$$x^* = F(x^*)$$

Tome um ponto x_i , próximo de x^* da forma que

$$x_i = x^* + \epsilon_i$$

A dependência

$$x_{i+1} = F(x_i) = F(x^* + \epsilon_i) = x^* + \epsilon_{i+1} \quad (\circ)$$

$$x_{i+2} = F(x_{i+1}) = F(x^* + \epsilon_{i+1}) = x^* + \epsilon_{i+2}$$

⋮

é o mapa de Poincaré associado. Seu comportamento permitirá qualificar o ponto fixo x^* no que concerne à sua estabilidade.

Expanhindo-se (\circ) em série de Taylor em torno de x^* tem-se:

$$\begin{aligned} x^* + \epsilon_{i+1} &= F(x^* + \epsilon_i) = F(x^*) + \frac{\partial F}{\partial x} \Big|_{x=x^*} \epsilon_i + \frac{1}{2} \frac{\partial^2 F}{\partial x^2} \Big|_{x=x^*} \epsilon_i^2 \\ &\quad + O(3). \end{aligned}$$

Mas $F(x^*) = x^*$, por hipótese, e retendo-se apenas o termo da primeira-ordem:

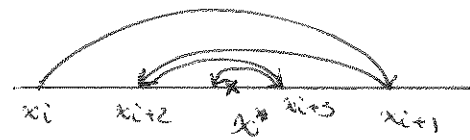
$$\epsilon_{i+1} = \frac{dF}{dx} \Big|_{x=x^*} \epsilon_i = C \epsilon_i$$

Notar que $|\epsilon_{i+1}| < |\epsilon_i|$ se $|C| < 1$.
Neste caso temos estabilidade assintótica.

- Se $0 < C < 1$ a aproximação assintótica é monotônica
- Se $-1 < 0 < C$ a aproximação assintótica é oscilatória



$$0 < C = \left. \frac{dF}{dx} \right|_{x^*} < 1$$



$$-1 < C = \left. \frac{dF}{dx} \right|_{x^*} < 0$$

Por outro lado, se $|C| > 1$ as sucessivas iterações afastam-se cada vez mais do ponto fixo, que neste caso é dito instável.

- Se $C > 1$: afastamento monotônico
- Se $C < -1$: afastamento oscilatório,

No caso critico, em que $C = \left. \frac{dF}{dx} \right|_{x^*} = 1$, mas fazendo conclusões a partir da informação unicamente da primeira derivada, a saber, que o mapa $x \mapsto F(x)$ é linear, caso em que $\frac{dF}{dx} = 0$, $\forall x \in \mathbb{R}$. Neste caso particular $C = 1$ define um centro.

Alein de pontos fixos identificam-se muitas vezes, óbitas periódicas de período k (periódicas de período k) no mapa, definidas por um número finito k de pontos fixos que

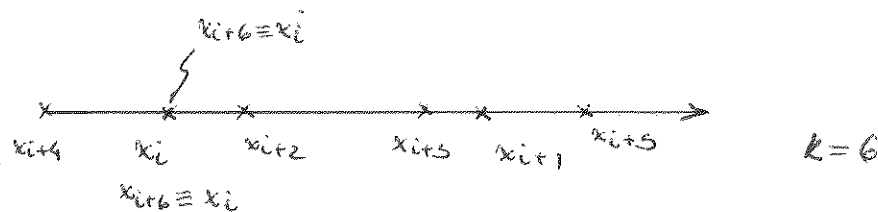
$$x_{i+1} = F(x_i)$$

$$x_{i+2} = F(F(x_i)) = F^2(x_i)$$

$$x_{i+3} = F^3(x_i)$$

$$\vdots$$

$$x_{i+k} = F^k(x_i) \equiv x_i$$



Considere uma órbita de periodicidade 2

$$x_{i+1} = F(x_i)$$

$$x_{i+2} = F^2(x_i) = T(x_i) = x_i$$

Definimos $T(x_i) = F^2(x_i)$. A estabilidade de órbita do mapa F pode ser estudada através da estabilidade do ponto fixo $x^* = x_i$ do mapa $T(\cdot) = F^2(\cdot) = F(F(\cdot))$. Generalizamos estes resultados para periodicidade k , tal que $T(\cdot) = F^k(\cdot)$.

3. Mapas Bidimensionais

Seja

$$x_{i+1} = F_1(x_i, y_i)$$

$$y_{i+1} = F_2(x_i, y_i)$$

com ponto fixo $Q^* = (x^*, y^*)$, tal que

$$x^* = F_1(x^*, y^*)$$

$$y^* = F_2(x^*, y^*)$$

Se Q_i for um ponto próximo de Q^* com

$$Q_i = (x_i + \xi_i, y_i + \eta_i), \quad \xi_i, \eta_i \text{ pequenas}$$

teremos:

$$x_{i+1} = F_1(x_i + \xi_i, y_i + \eta_i) \approx F_1(x^*, y^*) + \left. \frac{\partial F_1}{\partial x} \right|_{Q^*} \xi_i + \left. \frac{\partial F_1}{\partial y} \right|_{Q^*} \eta_i$$

$$y_{i+1} = F_2(x_i + \xi_i, y_i + \eta_i) \approx F_2(x^*, y^*) + \left. \frac{\partial F_2}{\partial y} \right|_{Q^*} \eta_i + \left. \frac{\partial F_2}{\partial x} \right|_{Q^*} \xi_i$$

mas

$$x_{i+1} = x^* + \xi_{i+1}$$

$$y_{i+1} = y^* + \eta_{i+1}$$

então:

$$\xi_{i+1} \approx \left. \frac{\partial F_1}{\partial x} \right|_{Q^*} \xi_i + \left. \frac{\partial F_2}{\partial y} \right|_{Q^*} \eta_i$$

$$\eta_{i+1} \approx \left. \frac{\partial F_2}{\partial y} \right|_{Q^*} \xi_i + \left. \frac{\partial F_2}{\partial x} \right|_{Q^*} \eta_i$$

$$\text{ou } \pi \quad \vec{E}_i = (\xi_i, \eta_i) = \vec{e}_i$$

$$\vec{E}_{i+1} = J^* \vec{E}_i$$

com

$$J^* = \left. \frac{\partial(F_1, F_2)}{\partial(x, y)} \right|_{Q^*} = \begin{bmatrix} \frac{\partial F_1}{\partial x_j} \\ \frac{\partial F_2}{\partial x_j} \end{bmatrix}_{Q^*}$$

a matriz Jacobiana do mapa calculada no ponto fixo Q^* .

A estabilidade dos pontos fixos Q^* depende dos autovalores de J^* .

Sejam λ_1 e λ_2 os autovalores de J^* .

Se $\lambda_1 < \lambda_2$ são reais, sempre é possível encontrar uma transformação que diagonalize o sistema.

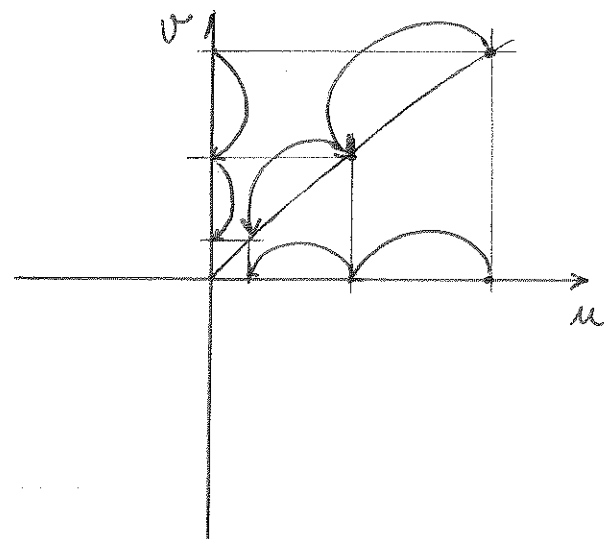
$$u_{i+1} = \lambda_1 u_i$$

$$v_{i+1} = \lambda_2 v_i$$

Descomponemos o problema reduzindo o estudo do mapa bidimensional ao estudo de dois mapas unidimensionais.

O sistema será, obviamente, assimétricamente instável se $|\lambda_1| < 1$ e instável se pelo menos um deles for instável, ou seja, se $|\lambda_1| > 1$ (ou $|\lambda_2| > 1$).

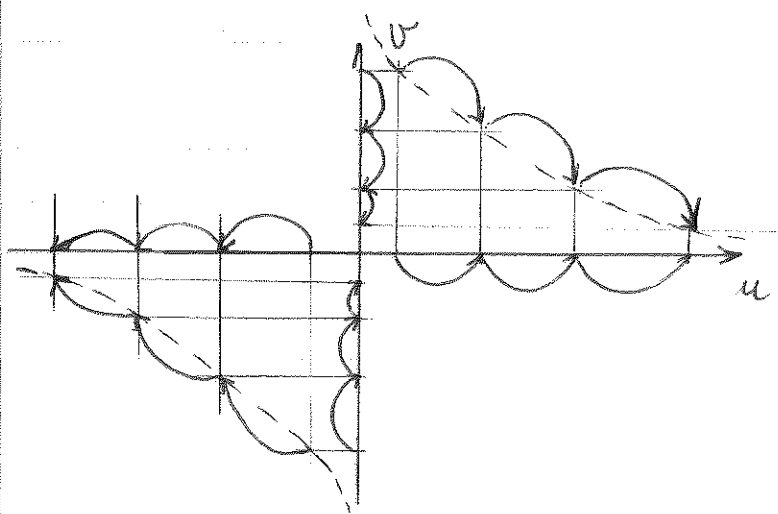
No caso em que $|\lambda_{1,2}| < 1$ tem-se um atrator. Se $|\lambda_{1,2}| > 1$ tem-se um repulsor. Se apenas um deles forre um dos membros da que, i.e. ($|\lambda_1| > 1$ ou $|\lambda_2| > 1$) tem-se de um ponto de tecla



$$\lambda_{1,2} \in \mathbb{R}$$

$$|\lambda_{1,2}| < 1$$

$$0 < \lambda_{1,2} < 1$$

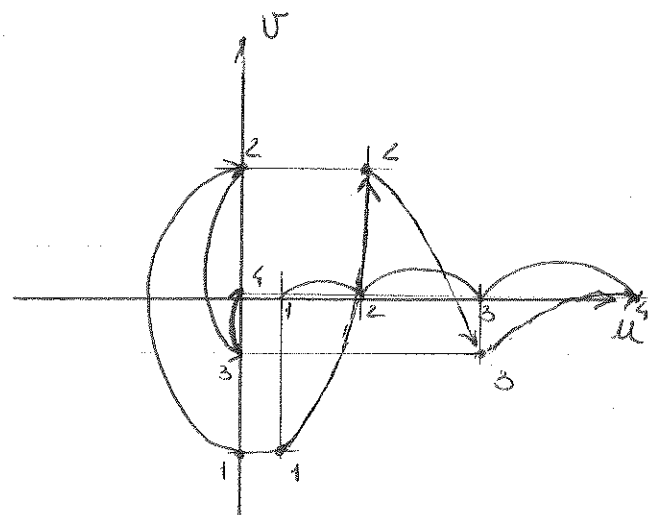


$$\lambda_{1,2} \in \mathbb{R}$$

$$|\lambda_1| > 1$$

$$|\lambda_2| < 1$$

$$\lambda_{1,2} > 0$$



$$\lambda_{1,2} \in \mathbb{R}$$

$$|\lambda_2| < 1, -1 < \lambda_2 < 0$$

$$|\lambda_1| > 1, \lambda_2 > 1$$

Os critérios de estabilidade de pontos fixos de mapas bidimensionais podem ser resumidos em termos de um círculo de raio unitário no plano complexo dos autovalores, portanto:

- (i) Se os dois autovalores estiverem no interior do círculo, o sistema é assimeticamente estável; (ponto fixo estável)
- (ii) se ao menos um dos autovalores estiver fora do círculo o ponto fixo é instável
- (iii) o limite de estabilidade é o círculo unitário.
- (iv) quando $\lambda_1 = 1$ e $|\lambda_2| < 1$, por exemplo, o estado é de divergência insígnificante
- (v) quando $\lambda_1 = -1$ e $|\lambda_2| < 1$, p.ex., o estado é de oscilação insígnificante.

Nos casos (iv) e (v) termos de ordem superior na expansão em série de Taylor devem ser considerados.

- Se $\lambda_1 = \bar{\lambda}_2 = \alpha + i\beta$ são autovalores complexos da J^* a transformação de estabilidade é dada por

$$\begin{bmatrix} u_{i+1} \\ v_{i+1} \end{bmatrix} = \begin{bmatrix} \alpha & -\beta \\ \beta & \alpha \end{bmatrix} \begin{bmatrix} u_i \\ v_i \end{bmatrix}$$

$$\text{Seja } z_i = u_i + i v_i = r_i e^{i\theta_i}$$

então,

$$z_{i+1} = \lambda_i z_i$$

com $\lambda_i = \alpha + i\beta$, ou $\lambda_i = |\lambda_i| e^{i \arctan(\beta/\alpha)}$

com $\rho = |\lambda_i| = (\alpha^2 + \beta^2)^{1/2}$ e $\psi = \arctan \beta/\alpha$

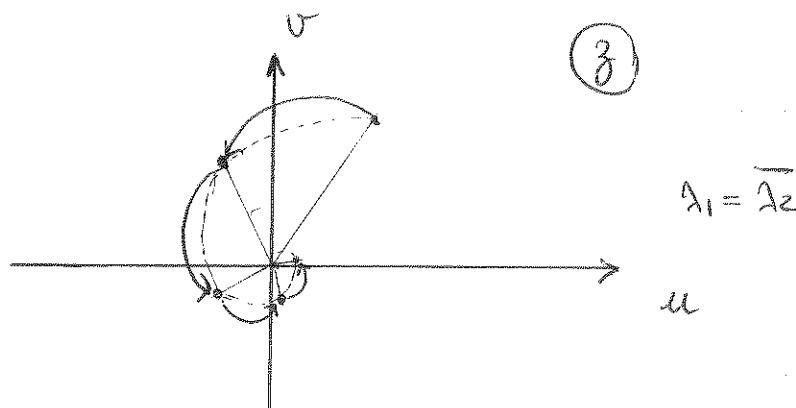
temos

$$\lambda_i = \rho e^{i\psi}$$

Mas

$$z_{i+1} = \lambda_i z_i = \rho e^{i\psi} z_i = \rho z_i e^{i(\theta_i + \psi)}$$

e a transformação (conforme) pode ser interpretada como uma expansão ($\rho > 1$) ou contração ($\rho < 1$) associada a uma rotação de ψ . Observe que se $\rho = 1$ o ponto fixo é um antigo

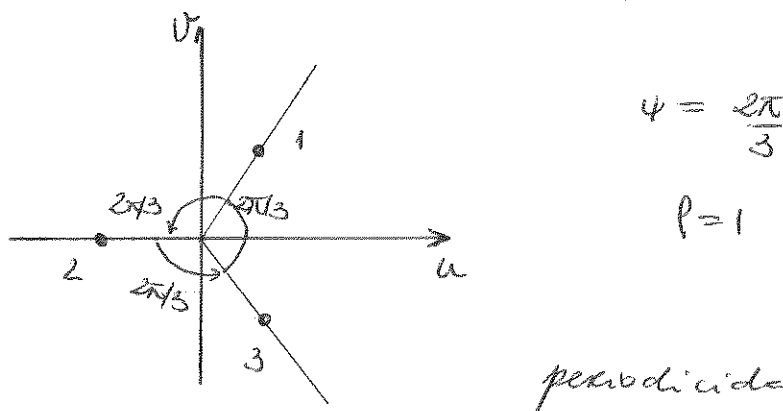


$$|\lambda_1| = |\lambda_2| = \rho < 1$$

Foco estrelado

Se $\rho = 1$ (centro) e $k\psi = \frac{2\pi}{3}$ para todos os pontos do plano (u, v) se é um ponto periódico de período 3. Se $\frac{\psi}{2\pi}$ for irracional as iterações sucessivas

do mapa ψ descreve um círculo em torno de (x^*, y^*) (diferenças, se o mapa for não-linear, exibem estes traços de ordem superior).



Nota: (1) Se, sob o comando de um parâmetro de controle, os autovalores, complexos, cubram o círculo de raio unitário teremos uma bifuração secundária de Hopf ou de Neimark, na qual o círculo brinca para cima e para baixo, um bico?

(2) Mapas n-dimensionais

$$\text{a matriz Jacobiana } M = \left[\frac{\partial F_i(\vec{x})}{\partial x_j} \right]_{\vec{x}^*}$$

e' determinada matrix de Floquet e suas autovalores são os multiplicadores de Floquet.

4. Estabilidade Estatística e Bifurcação

Seja o sistema dinâmico bidimensional

$$\dot{x}_1 = F_1(x_1, x_2)$$

$$\dot{x}_2 = F_2(x_1, x_2)$$

Erros de modelagem conduzem à necessidade de considerar perturbações do sistema.

Seja o sistema perturbado

$$\dot{\tilde{x}}_1 = \tilde{F}_1(\tilde{x}_1, \tilde{x}_2) + \epsilon f_1(\tilde{x}_1, \tilde{x}_2) = \tilde{F}_1(\tilde{x}_1, \tilde{x}_2; \epsilon)$$

$$\dot{\tilde{x}}_2 = \tilde{F}_2(\tilde{x}_1, \tilde{x}_2) + \epsilon f_2(\tilde{x}_1, \tilde{x}_2) = \tilde{F}_2(\tilde{x}_1, \tilde{x}_2; \epsilon)$$

onde $\tilde{f}(x, x_2)$ é suposta contínua.

O ponto de equilíbrio \tilde{x}_e (ou sebito fechado C), é estaticamente estável se o sistema perturbado tiver um ponto de equilíbrio (ou sebito fechado) em uma vizinhança de \tilde{x}_e (ou de C).

Se \tilde{x}_e é um ponto de equilíbrio estab.

$$\tilde{F}_1(\tilde{x}_e, \tilde{x}_2) = \tilde{F}_2(\tilde{x}_e, \tilde{x}_2) = 0 \quad \text{e, portanto,}$$

$$\tilde{F}_1(\tilde{x}_e, \tilde{x}_2; \epsilon=0) = \tilde{F}_2(\tilde{x}_e, \tilde{x}_2; \epsilon=0) = 0$$

essa \tilde{x}_e só é estaticamente estável entre

$$\tilde{x} = \tilde{x}_e + \epsilon \Delta \tilde{x} ; \quad |\Delta \tilde{x}| \approx O(1)$$

e portanto,

$$\hat{F}_1(x_{e_1} + \epsilon \Delta x_1; x_{e_2} + \epsilon \Delta x_2; \epsilon) = 0$$

$$\hat{F}_2(x_{e_1} + \epsilon \Delta x_1; x_{e_2} + \epsilon \Delta x_2; \epsilon) = 0$$

Desenvolvendo em série de Taylor em torno de $x_{e_1} < x_{e_2}$:

$$\begin{aligned}\hat{F}_1(\hat{x}_{e_1}, \hat{x}_{e_2}; \epsilon) &= \hat{F}_1(x_{e_1}, x_{e_2}; 0) + \frac{\partial \hat{F}_1}{\partial x_1}(x_{e_1}, x_{e_2}; 0) \epsilon \Delta x_1 \\ &\quad + \frac{\partial \hat{F}_1}{\partial x_2}(x_{e_1}, x_{e_2}; 0) \epsilon \Delta x_2 + \frac{\partial \hat{F}_1}{\partial \epsilon}(x_{e_1}, x_{e_2}; 0) \epsilon = \\ &= 0\end{aligned}$$

mas, $\hat{F}_1(x_{e_1}, x_{e_2}; 0) = 0$ logo

$$\frac{\partial \hat{F}_1}{\partial x_1}(x_{e_1}, x_{e_2}; 0) \Delta x_1 + \frac{\partial \hat{F}_1}{\partial x_2}(x_{e_1}, x_{e_2}; 0) \Delta x_2 = - \frac{\partial \hat{F}_1}{\partial \epsilon}(x_{e_1}, x_{e_2}; 0)$$

Analogamente

$$\frac{\partial \hat{F}_2}{\partial x_1}(x_{e_1}, x_{e_2}; 0) \Delta x_1 + \frac{\partial \hat{F}_2}{\partial x_2}(x_{e_1}, x_{e_2}; 0) \Delta x_2 = - \frac{\partial \hat{F}_2}{\partial \epsilon}(x_{e_1}, x_{e_2}; 0)$$

porem $\frac{\partial \hat{F}_1}{\partial \epsilon}(x_1, x_2; \epsilon) = f_1(x_1, x_2)$ e

$$\frac{\partial \hat{F}_2}{\partial \epsilon}(x_1, x_2; \epsilon) = f_2(x_1, x_2)$$

e, assim,

$$\sum_e \Delta \vec{x} = - \vec{f}(x_1, x_2) \Big|_{\vec{x} = \vec{x}_e} \quad (*)$$

com

$$\mathcal{J}_e = \begin{bmatrix} \frac{\partial \tilde{F}_1}{\partial x_1} & \frac{\partial \tilde{F}_1}{\partial x_2} \\ \frac{\partial \tilde{F}_2}{\partial x_1} & \frac{\partial \tilde{F}_2}{\partial x_2} \end{bmatrix}_{\tilde{x}_e}$$

a matriz Jacobiana em \tilde{x}_e .

Note que

$$\frac{\partial \tilde{F}_1}{\partial x_i}(x_e, x_{e2}; \epsilon) = \frac{\partial F_1}{\partial x_i}(x_e, x_{e2}) + \epsilon \frac{\partial f_1}{\partial x_i}(x_e, x_{e2})$$

e, analogamente, para os outros termos:

$$\frac{\partial \tilde{F}_2}{\partial x_j}(x_e, x_{e2}; \epsilon) = \frac{\partial F_2}{\partial x_j}(x_e, x_{e2}) + \epsilon \frac{\partial f_2}{\partial x_j}(x_e, x_{e2})$$

então:

$$\frac{\partial \tilde{F}_k}{\partial x_j}(x_e, x_{e2}; 0) = \frac{\partial F_k}{\partial x_j}(x_e, x_{e2}) \quad \text{e portanto}$$

$$\hat{\mathcal{J}}(\tilde{x}_e) = \mathcal{J}(x_e) \quad (\epsilon=0)$$

Como o lado direito de (*) é arbitrário, a c.n.s. para existência de solução é que

$$\det \mathcal{J}_e \neq 0$$

e \tilde{x}_e será um ponto de sela se $\det \mathcal{J}_e < 0$ ou um nó (enfoco, ou centro) se $\det \mathcal{J}_e > 0$, como visto anteriormente.

Se $\det J_{\bar{x}} \equiv 0$ o ponto de equilíbrio degenera. Esta situação corresponde à bifurcação.

Considere, como exemplo,

$$\begin{aligned} \dot{x}_1 &= x_2 \\ \dot{x}_2 &= \lambda x_1 - x_1^3 \end{aligned}$$

que é o clássico modelo citrino das amoreiras.

Se $\lambda > 0$ existem três pontos de equilíbrio como visto anteriormente: $\bar{x}_c = (0, 0)$ e $\bar{x}_c = (\pm\sqrt{\lambda}, 0)$

$$J = \begin{bmatrix} 0 & 1 \\ \lambda - 3x_1^2 & 0 \end{bmatrix}$$

e assim

$$\det J_c = \det J(\bar{x}_c) = \begin{cases} -\lambda & ; (\bar{x}_c = (0, 0)) \\ +2\lambda & ; (\bar{x}_c = (\pm\sqrt{\lambda}, 0)) \end{cases}$$

A condição $\det J(\bar{x}_c) = \det J_c = 0$ ocorre quando $\lambda = 0$, ou seja, no "ponto de bifurcação".

"Bifurcação", portanto é uma característica estatística do sistema"

No caso de órbitas fechadas, em ciclos-limite, a análise de estabilidade estacional pode ser conduzida através da aplicação do Poincaré.

Considere C uma órbita fechada do sistema original

$$\begin{aligned}\dot{x}_1 &= F_1(x_1, x_2) \\ \dot{x}_2 &= F_2(x_1, x_2)\end{aligned}$$

Suje $\hat{P}(A; \epsilon)$ a aplicação de Poincaré para o sistema perturbado. Assim:

$$\hat{P}(A_0; 0) = A_0$$

onde A_0 é um ponto fixo da aplicação de Poincaré do sistema original, tal que $P(A_0) = A_0$.

Se a órbita C for estacionária no estrelado entre existir um cuto $A(\epsilon)$ tal que

$$\begin{aligned}A(\epsilon) &= A_0 + \epsilon \Delta A \\ \hat{P}(A(\epsilon); \epsilon) &= A(\epsilon)\end{aligned}$$

Assim,

$$\hat{P}(A_0 + \epsilon \Delta A; \epsilon) = A_0 + \epsilon \Delta A$$

desenvolvendo a expressão acima no parâmetro ϵ

$$\cancel{\hat{P}(A_0; 0)} + \frac{\partial \hat{P}}{\partial \epsilon}(A_0; 0)\epsilon + \frac{\partial \hat{P}}{\partial A}(A_0; 0)\epsilon \Delta A = \cancel{A_0} + \epsilon \Delta A$$

então:

$$\frac{\partial \hat{P}}{\partial E}(A_0; 0) + \frac{\partial \hat{P}}{\partial A}(A_0; 0) \Delta A = \Delta A$$

e portanto:

$$\frac{\partial \hat{P}}{\partial E}(A_0; 0) + \left(\frac{\partial \hat{P}}{\partial A} \Big|_{(A_0; 0)} - 1 \right) \Delta A = 0$$

condizendo a

$$\Delta A = - \frac{\frac{\partial \hat{P}}{\partial E}(A_0; 0)}{\frac{\partial \hat{P}}{\partial A}(A_0; 0) - 1}$$

A óbita sera' estavel se e somente se

$$\frac{\partial \hat{P}}{\partial A}(A_0; 0) \neq 1$$

ou, despendo $\frac{\partial \hat{P}}{\partial A}(A_0; 0) = \frac{dP}{dA} = P'(A_0)$

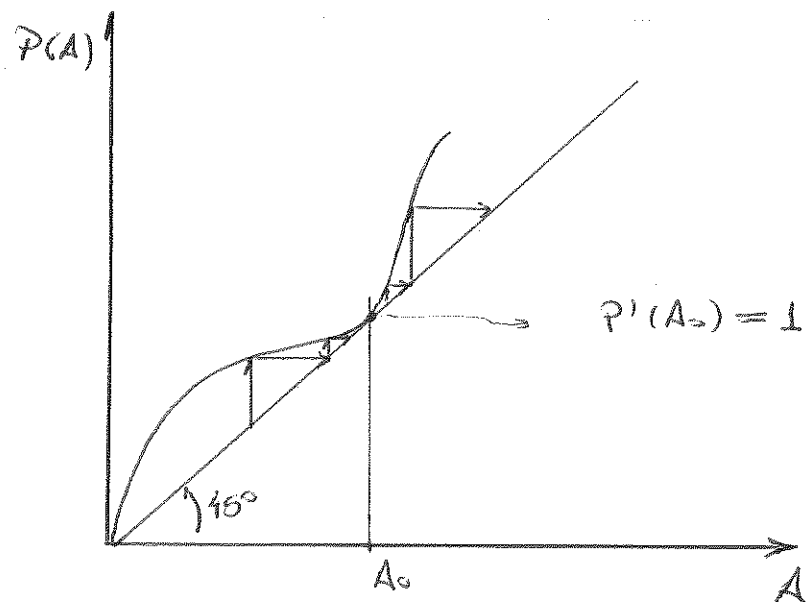
teremos como condição necessária

$$P'(A_0) \neq 1$$

Os ciclos-limite estabilis e instáveis sôs, portanto, estruturalmente estáveis. No primeiro caso, $P'(A_0) < 1$ e, no segundo caso, $P'(A_0) > 1$.

faz os ciclos-limite semi-estáveis sôs estruturalmente instáveis.

cicks-limite
xun-estavel



VI. CICLOS-UNITE E ESCALAS MÚLTIPLES

Uma técnica de matemática aplicada que permite resolver de forma análoga uma série de problemas em oscilações não-lineares é a técnica conhecida como de escala-múltiplas de tempo.

Este método surge como alternativa ao clássico método da perturbação que podem dar origem, diante de perturbações removíveis, a termos oscilantes, i.e., termos que crescem com t (ou mais rapidamente). Embora termos oscilantes acabam por se anular (quando o sistema tem soluções limitadas), à medida em que a soma dos termos de série de perturbação é realizada, este é um processo que demais exausto.

Dai a adequabilidade da técnica de "escala-múltiplas".

O procedimento formal consiste em considerar uma segunda escala de tempo $\tau = Et$ que derá origem a termos do tipo $\cos(\tau)$, lentamente variando quando comparado a termos típicos da forma const. Esta escala adicional é um artifício e upassante a soluções como funções de duas "variáveis" independentes, t e E , tem apenas o objetivo de permitir a associação de termos oscilantes.

Amin seja um oscilador de tipo

$$\ddot{x} + g(x, \dot{x}) = 0 \quad (*)$$

Assuma uma expansão na forma:

$$x(t) = x_0(t, \epsilon) + \epsilon x_1(t, \epsilon) + \dots$$

então:

$$\dot{x}(t) = \left(\frac{\partial x_0}{\partial t} + \frac{\partial x_0}{\partial \epsilon} \frac{d\epsilon}{dt} \right) + \epsilon \left(\frac{\partial x_1}{\partial t} + \frac{\partial x_1}{\partial \epsilon} \frac{d\epsilon}{dt} \right) + \dots$$

mas, como $\epsilon = \epsilon t$ então $d\epsilon/dt = \epsilon$ e portanto:

$$\dot{x}(t) = \frac{\partial x_0}{\partial t} + \epsilon \left(\frac{\partial x_0}{\partial \epsilon} + \frac{\partial x_1}{\partial t} \right) + O(\epsilon^2) \quad (\text{a})$$

Derivando novamente em relação a t obtemos:

$$\ddot{x}(t) = \frac{\partial^2 x_0}{\partial t^2} + \epsilon \left(\frac{\partial^2 x_0}{\partial \epsilon \partial t} + \frac{\partial^2 x_1}{\partial t^2} \right) + 2 \frac{\partial x_0}{\partial \epsilon} \frac{d\epsilon}{dt} \frac{d\epsilon}{dt} + O(\epsilon^2)$$

logo

$$\ddot{x}(t) = \frac{\partial^2 x_0}{\partial t^2} + \epsilon \left(2 \frac{\partial^2 x_0}{\partial \epsilon \partial t} + \frac{\partial^2 x_1}{\partial t^2} \right) + O(\epsilon^2) \quad (\text{b})$$

Substituindo (a) e (b) em (*) e coligando termos de mesma ordem de magnitude em ϵ é possível impor condições para as expansões de termos suínos.

Este procedimento final é muito usualizado através de exemplos.

Ex 1. Tomemos um oscilador, cujo movimento, na forma

$$\ddot{x} + x + \epsilon(\dot{x})^3 = 0 \quad ; \quad x(0) = 1; \quad \dot{x}(0) = 0$$

Se $\epsilon > 0$ a primeira integral de energia

$$\frac{d}{dt} \left\{ \frac{1}{2} (\dot{x})^2 + \frac{1}{2} x^2 \right\} = -\epsilon(\dot{x})^4 \leq 0$$

mostra que o origem é um ponto estavel.

A teoria de escala multipla sera utilizada para estudar o comportamento de $x(t)$ para t grande.

Tomando

$$x(t) \approx x_0(t, \epsilon) + \epsilon x_1(t, \epsilon), \quad \epsilon \rightarrow 0+$$

com $c = \epsilon t$ temos, de (a) e (b)

$$\dot{x}(t) \approx \frac{\partial x_0}{\partial t} + \epsilon \left(\frac{\partial x_0}{\partial c} + \frac{\partial x_1}{\partial \epsilon} \right)$$

$$\ddot{x}(t) \approx \frac{\partial^2 x_0}{\partial t^2} + \epsilon \left(\frac{\partial^2 x_0}{\partial c \partial t} + \frac{\partial^2 x_1}{\partial \epsilon^2} \right)$$

entao:

$$\frac{\partial^2 x_0}{\partial t^2} + \epsilon \left(\frac{\partial^2 \dot{x}_0}{\partial c \partial t} + \frac{\partial^2 x_1}{\partial \epsilon^2} \right) + x_0 + \epsilon x_1 +$$

$$+ 3\epsilon \left(\frac{\partial x_0}{\partial t} \right)^2 \left(\frac{\partial x_0}{\partial c} + \frac{\partial x_1}{\partial t} \right) + \epsilon \left(\frac{\partial x_0}{\partial t} \right)^3 = O(\epsilon^3)$$

e portanto:

$$\frac{\partial^2 x_0}{\partial t^2} + x_0 = 0 \quad (i)$$

$$\frac{\partial^2 x_1}{\partial t^2} + x_1 = -2 \frac{\partial^2 x_0}{\partial t \partial c} - \left(\frac{\partial x_0}{\partial t} \right)^3 \quad (ii)$$

A solução real mais geral de (i) dada por:

$$x_0(t, c) = A(c) e^{it} + A^*(c) e^{-it}$$

de onde obtemos

$$\frac{\partial x_0}{\partial t} = i A(c) e^{it} - i A^*(c) e^{-it}$$

$$\begin{aligned} \left(\frac{\partial x_0}{\partial t} \right)^3 &= -i A^3(c) e^{3it} + 3i |A|^2 A e^{it} + 3i |A|^2 A^* e^{-it} + \\ &\quad + i A^{*3}(c) e^{-3it} \end{aligned}$$

$$\frac{\partial^2 x_0}{\partial t \partial c} = i \frac{dA}{dc} e^{it} - i \frac{dA^*}{dc} e^{-it}$$

então:

$$\begin{aligned} \frac{\partial^2 x_1}{\partial t^2} + x_1 &= -2 i \frac{dA}{dc} e^{it} + 2 i \frac{dA^*}{dc} e^{-it} + \\ &\quad + i A^3(c) e^{3it} - i A^{*3}(c) e^{-3it} + \\ &\quad + 3i |A|^2 A e^{it} + 3i |A|^2 A^* e^{-it} = \\ &= -e^{it} \left\{ 2i \frac{dA}{dc} + 3i |A|^2 A \right\} - e^{-it} \left\{ -2i \frac{dA^*}{dc} - 3i |A|^2 A^* \right\} \\ &\quad + i A^3 e^{3it} - i A^{*3} e^{-3it} \end{aligned}$$

Os termos reais e somente reais
envolvidos são

$$2i \frac{dA}{dc} + 3i |A|^2 A = 0$$

e

$$-2i \frac{dA^*}{dc} - 3i |A|^2 A^* = 0$$

que são equivalentes

$$\text{Seja } A(c) = R(c) e^{i\theta(c)}$$

então:

$$2i \left\{ \frac{dR}{dc} e^{i\theta(c)} + iR(c) e^{i\theta(c)} \frac{d\theta}{dc} \right\} + \\ + 3i R^3(c) e^{i\theta(c)} = 0$$

ou seja

$$\frac{dR}{dc} = -\frac{3}{2} R^3(c)$$

e

$$\frac{d\theta}{dc} = 0$$

com plugar

$$\theta(c) = \theta(0) = \theta_0$$

e

$$\int \frac{dR}{R^3} = -\frac{3}{2} c$$

$$-\frac{1}{2} \frac{1}{R^2} + C = -\frac{3}{2} c \Rightarrow C = \frac{1}{2} \frac{1}{R^2(0)}$$

então:

$$-\frac{1}{2} \left(\frac{1}{\ell^2(c)} - \frac{1}{\ell^2(0)} \right) = -\frac{3}{2} c$$

$$\frac{1}{\ell^2(c)} = \frac{1}{\ell^2(0)} + 3c$$

$$\frac{1}{\ell^2(c)} = \frac{1 + 3c \ell^2(0)}{\ell^2(0)}$$

$$\ell(c) = \frac{\ell(0)}{\sqrt{1 + 3c \ell^2(0)}} = \frac{\ell_0}{\sqrt{1 + 3c \ell_0^2}}$$

As condições iniciais exigem:

$$x(0) = 1 \quad \text{e} \quad \dot{x}(0) = 0 \quad \text{vêm da}$$

$$x_0(0,0) = 1 \quad , \quad \frac{\partial x_0}{\partial t}(0,0) = 0 \quad \text{então:}$$

$$\ell_0 = \ell(0) = \frac{1}{2} \quad \text{e} \quad \theta_0 = \theta(0) = 0 \Rightarrow A(c) = \ell(c) = \frac{1}{\sqrt{1 + 3c \ell_0^2}}$$

Portanto, em primeiro ordenamento em c ,

$$x(t) = x_0(t)c + c x_1(t,c) =$$

$$= \frac{2}{\sqrt{1 + 3c \ell_0^2}} \cos t + c x_1(t,ct)$$

ou

$$x(t) \approx \frac{\cos t}{\sqrt{1 + \frac{3}{4} ct^2}}$$

Note que $x(t) \sim t^{-1/2}$, $t \rightarrow \infty$, $\epsilon > 0$

$$x(t) \rightarrow \infty, t \rightarrow -\frac{4}{5}\epsilon, \epsilon < 0$$

Exemplo 2: Aproximação de um círculo-unitário
"Oscilação de Rayleigh"

$$\ddot{x} + x = \epsilon \left(x - \frac{1}{3} (\dot{x})^3 \right)$$

$$\begin{aligned} x(0) &= 0 \\ \dot{x}(0) &= 2a \end{aligned}$$

Tomemos

$$x(t) \sim x_0(t, \epsilon) + \epsilon x_1(t, \epsilon) + \dots, \epsilon \gg 0, \epsilon = \epsilon t$$

procedendo da forma análoga obtémos:

$$\frac{\partial^2 x_0}{\partial t^2} + x_0 = 0$$

$$\frac{\partial^2 x_1}{\partial t^2} + x_1 = -2 \frac{\partial^2 x_0}{\partial t^2 \epsilon} + \frac{\partial x_0}{\partial t} - \frac{1}{3} \left(\frac{\partial x_0}{\partial t} \right)^3 \quad (\#)$$

postando

$$x_0(t, \epsilon) = A(\epsilon) e^{it} + A^*(\epsilon) e^{-it}$$

que substituída em (<#>) e dividida termo a termo resulta

$$-2i \frac{dA}{d\epsilon} + iA - i|A|^2 A = 0$$

termos, notadamente, $A(\epsilon) = R(\epsilon) e^{i\theta(\epsilon)}$

ven

$$2 \frac{dR}{dc} = R - R^3$$

$$\frac{d\theta}{dc} = 0$$

com soluçāo: $\theta(c) = \theta(0) = \theta_0$ e

$$2 \int \frac{dc}{R(1-R^2)} = 0$$

que condut a

$$R(c) = \alpha \left\{ e^{-c} + \alpha^2 (1-e^{-c}) \right\}^{-1/2}$$

A condiçāo inicial $x(0) = 0$, $\dot{x}(0) = 2a$
refere que

$\alpha = a$ e $\theta_0 = -\pi/2$ e finalmente
 $x(t) \sim 2R(c)$ sent

$$x(t) \sim \frac{2a \operatorname{sen} t}{\sqrt{e^{-\epsilon t} + a^2(1-e^{-\epsilon t})}}, \epsilon \rightarrow 0^+, Et \approx 0(1)$$

Pela qualque valor de a a soluçāo
aproximativa da cicle-límite $x(t) = 2 \operatorname{sen} t$.

Se $a < 1$ a spiral, no plano de fase, é
divergente. Se $a > 1$, é convergente. O cicle-
limite é estabil. e é um círculo de
raio 2 no plano de fase.

Note, por outro lado que o eixo-união
está atingindo se.

$$\frac{de}{dc} = \rho(c) = \frac{1}{2} R(1-R^2) = 0$$

o que resulta $\bar{R} = 1$ e como $\theta_0 = -\pi/2$

$$A(c) = R(c) e^{-i\pi/2} \quad \text{Logo}$$

$$x_1(b, c) = e^{i(t-\pi/2)} + e^{-i(t-\pi/2)} = 2\cos t$$

conforme já demonstrado.

Também, o mapa de Rincan' pode ser construído explicitamente. De fato,
tornando um mapa de Rincan' no
plano x, z tal que $OA =$

que?

$$x(t) = 2R(c) \cos t - 2c(Et) \sin t$$

$$\dot{x}(t) = \frac{d}{dt} [2R(c) \cos t + 2c(Et) \sin t]$$

$$OA = \sqrt{x^2 + z^2} = \sqrt{4R^2(c) + 8E \cos t \sin t + 4E^2 \left(\frac{dc}{dc}\right)^2 \sin^2 t}$$

$$OA \approx 2R \sqrt{1 + 2E \frac{dc}{dc} \sin t + \frac{E^2}{R^2} \left(\frac{dc}{dc}\right)^2 \sin^2 t}$$

$$\approx 2R \left(1 - \frac{E \frac{dc}{dc} \sin t}{R}\right) = 2R \left(1 - \frac{E \frac{dc}{dc} \sin t}{2E \frac{dc}{dc}}\right)$$

$$P(A) = 2R \left(1 - \frac{e}{2R} \frac{dR}{dc} \text{ sen } t\right) \quad (t = \pi, c = 2\pi e)$$

$$P(A) = 2R (2\pi e)$$

mas $\frac{dR}{dc} = p(R)$

$$\int_0^{2\pi e} \frac{dR}{dc} dc = \int_0^{2\pi e} p(c) dc = \int_0^{2\pi e} p(c(c)) dc$$

$$R(2\pi e) - R_0 = \int_0^{2\pi e} p(c(c)) dc$$

$$= \int_0^{2\pi e} \frac{1}{2} (R(c) - R^3(c)) dc =$$

$$= \int_0^{2\pi e} \left\{ \frac{R_0}{(e^{-c} + R_0^2(1-e^{-c}))^{1/2}} - \frac{R^3}{(e^{-c} + R_0^2(1-e^{-c}))^{3/2}} \right\} dc$$

aproximadamente, no embut,

$$P(A) = A + 2\pi e \cdot 2p(A) = A + 4\pi e p(A)$$

$$P'(A) = 1 + 4\pi e p'(A)$$

$$p'(R) = \frac{1}{2} (1 - 3R^2)$$

Equações de Van der Pol

$$\ddot{x} - \mu(1-x^2)\dot{x} + x = 0 \quad \mu \neq 0$$

Se $\mu \ll \epsilon$ pequeno: $\mu = \epsilon$

$$\ddot{x} - \epsilon(1-x^2)\dot{x} + x = 0$$

Escalas múltiplas $c = \epsilon t$

$$x(t) = x_0(t) + \epsilon x_1(t) + \dots$$

$$\ddot{x}(t) = \frac{\partial x_0}{\partial t} + \epsilon \left(\frac{\partial x_0}{\partial c} + \frac{\partial x_1}{\partial t} \right) + O(\epsilon^2)$$

$$\ddot{x} = \frac{\partial^2 x_0}{\partial t^2} + \epsilon \left(2 \frac{\partial^2 x_0}{\partial c \partial t} + \frac{\partial^2 x_1}{\partial t^2} \right) + O(\epsilon^2)$$

$$x^2(t) = x_0^2 + 2\epsilon x_0 x_1$$

entas:

$$\frac{\partial^2 x_0}{\partial t^2} + \epsilon \left(2 \frac{\partial^2 x_0}{\partial c \partial t} + \frac{\partial^2 x_1}{\partial t^2} \right) - \epsilon(1-x_0^2) \left(\frac{\partial x_0}{\partial t} + \epsilon \left(\frac{\partial x_0}{\partial c} + \frac{\partial x_1}{\partial t} \right) \right) + x_0 + \epsilon x_1 = O(\epsilon^2)$$

$$\frac{\partial^2 x_0}{\partial t^2} + \epsilon \left(2 \frac{\partial^2 x_0}{\partial c \partial t} + \frac{\partial^2 x_1}{\partial t^2} \right) - \epsilon(1-x_0^2) \frac{\partial x_0}{\partial t} + x_0 + \epsilon x_1 = O(\epsilon^2)$$

$$\frac{\partial^2 x_0}{\partial t^2} + x_0 = 0$$

$$\frac{\partial^2 x_1}{\partial t^2} + x_1 = -2 \frac{\partial^2 x_0}{\partial c \partial t} + \frac{\partial x_0}{\partial t} (1-x_0^2)$$

$$x_0(t, c) = A(c) e^{it} + A^*(c) e^{-it}$$

$$\frac{dx_0}{dt} = i A(c) e^{it} - i A^* e^{-it}$$

$$\frac{d^2 x_0}{dt^2} = i \frac{dA}{dc} e^{it} - i \frac{dA^*}{dc} e^{-it}$$

$$x_0'' = A^2(c) e^{2it} + 2|A|^2 + A^{*2}(c) e^{-2it}$$

entfernen:

$$\frac{d^2 x_1}{dt^2} + x_1 = - i \frac{dA}{dc} e^{it} + 2 \frac{dA^*}{dc} e^{-it} +$$

$$+ (i A e^{it} - i A^* e^{-it}) [A^2 e^{2it} + 2|A|^2 + A^{*2} e^{-2it}] =$$

$$= - i \frac{dA}{dc} e^{it} + 2 \frac{dA^*}{dc} e^{-it} + i A e^{it} - i A^* e^{-it} +$$

$$+ i A^3 e^{3it} - i A^{*3} e^{-3it} +$$

$$+ (2i|A|^2 A e^{it} + i|A|^2 A^* e^{-it} + i|A|^2 A^{*2} e^{it} - 2i|A|^2 A^* e^{-it})$$

$$= e^{it} \left\{ -2i \frac{dA}{dc} + iA + i|A|^2 A \right\} +$$

$$+ e^{-it} \left\{ 2i \frac{dA^*}{dc} - iA^* + i|A|^2 A^* \right\} + (iA^3 e^{3it} - iA^{*3} e^{-3it})$$

entfernen konkreter aus:

$$- i \frac{dA}{dc} + iA - i|A|^2 A = 0 \quad (\text{eigentlich } (*) = 0)$$

$$\text{Sei } A(c) = R(c) e^{i\theta(c)}$$

$$\frac{dA}{dc} = \frac{dR}{dc} e^{i\theta(c)} + i R(c) e^{i\theta(c)} \frac{d\theta}{dc} = e^{i\theta(c)} \left(\frac{dR}{dc} + i R(c) \frac{d\theta}{dc} \right)$$

$$|A|^2 = R^2(c) \quad : \quad |A|^2 A = -R^3(c) e^{i\theta(c)}$$

entos:

$$-2i e^{i\theta(c)} \left(\frac{dR}{dc} + i \ell(c) \frac{d\theta}{dc} \right) + i e^{i\theta(c)} R(c) - i R^3(c) e^{i\theta(c)} = 0$$

assim:

$$\left(-2i \frac{dR}{dc} + 2R(c) \frac{d\theta}{dc} + i \ell(c) - i R^3(c) \right) = 0$$

e, portanto,

$$\ell(c) \frac{d\theta}{dc} = 0 \quad \therefore \quad \theta(c) = \theta(0) = \theta_0$$

$$2 \frac{dR}{dc} - R + R^3 = 0$$

$$\frac{dR}{dc} = -\frac{1}{2} (R^3 - R) = -\frac{1}{2} R(R^2 - 1) = \frac{R}{2} (1 - R^2)$$

ciclo limite: $R = 1$ (~~de la cual es simple~~)

logo o ciclo-limite elíptico (para $\mu = \epsilon \ll 1$)

$$\ell(c) = \omega \left(c^{-c} + \omega^2 (1 - e^{-c}) \right)^{-1/2}$$

ROTEIRO PARA O TRABALHO

1. Estabeleça o modelo físico de forma a reduzir o número de graus de liberdade a um nível que permita o tratamento do problema.
2. Recorre modelar as principais características dinâmicas de forma simples, sem contudo perder de vista o comportamento não-linear do sistema estudado.
3. Adimensionalize o equipamento, de forma a identificar parâmetros de controle de forma unida e cuja interpretação física seja simples.
4. Tendo em mente os critérios analíticos do problema tenta reduzir o sistema estudado a um sistema bidimensional autônomo.
5. Analise o sistema bidimensional autônomo no que diz respeito à topologia do seu espaço de fase, identificando pontos de equilíbrio, atractores periódicos e bifurações possíveis ocorrentes.
6. Tenta estocar o plano de fase e construir-se a partir analiticamente as condições feixe-o numéricamente exemplificando diferentes cenários emergentes de variações de(s) parâmetro(s) de controle. Tenta construir o mapaamento de Poincaré.

7. Discute os resultados obtidos para o sistema autônomo bidimensional.
8. Admita o sistema bidimensional ampliado para que haja freqüência constante (grande para o cato).
9. Através de tratamentos numéricos constate o comportamento estroboscópico, exemplificando-se por meio das oscilações de multiplicidade de períodos.
10. Investigue efeitos de comportamento dinâmico emergentes sob a variação das pressões de controle. Note que a amplitude e frequência da freqüência periódica de controle.